

Eingabe: Farbmetrisches Offset-Reflektiv-System ORS18

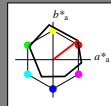
für Buntton $h^* = lab^*h = 38/360 = 0.105$

lab^*ch und lab^*nch

D65: Buntton O

LCH*Ma: 48 83 38

olv*Ma: 1.0 0.0 0.0

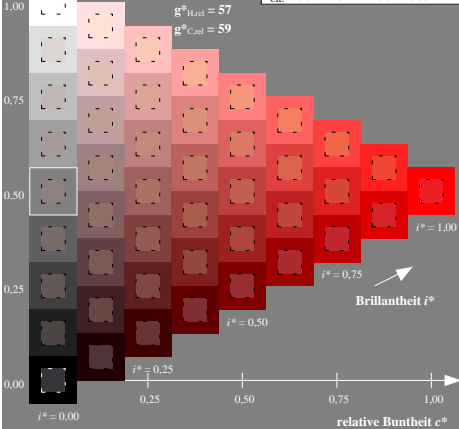


Dreiecks-Helligkeit r^*

%Umfang
 $u^*_{rel} = 93$
%Regularität
 $g^*_{H,rel} = 57$
 $g^*_{C,rel} = 59$

ORS18; adaptierte CIELAB-Daten

	$L^* = L^*_a$	a^*_a	b^*_a	$C^*_{ab,a}$	$h^*_{ab,a}$
O _{Ma}	47.94	65.39	50.52	82.63	38
Y _{Ma}	90.37	-10.26	91.75	92.32	96
L _{Ma}	50.9	-62.83	34.96	71.91	151
C _{Ma}	58.62	-30.34	-45.01	54.3	236
V _{Ma}	25.72	31.1	-44.4	54.22	305
M _{Ma}	48.13	75.28	-8.36	75.74	354
N _{Ma}	18.01	0.0	0.0	0	0
W _{Ma}	95.41	0.0	0.0	0.0	0
R _{CIE}	39.92	58.66	26.98	64.57	25
J _{CIE}	81.26	-2.16	67.76	67.79	92
G _{CIE}	52.23	-42.25	11.76	43.87	164
B _{CIE}	30.57	1.15	-46.84	46.86	271



Ausgabe: Farbmetrisches Offset-Reflektiv-System ORS18

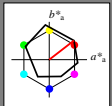
für Buntton $h^* = lab^*h = 38/360 = 0.105$

lab^*ch und lab^*nch

D65: Buntton O

LCH*Ma: 48 83 38

olv*Ma: 1.0 0.0 0.0

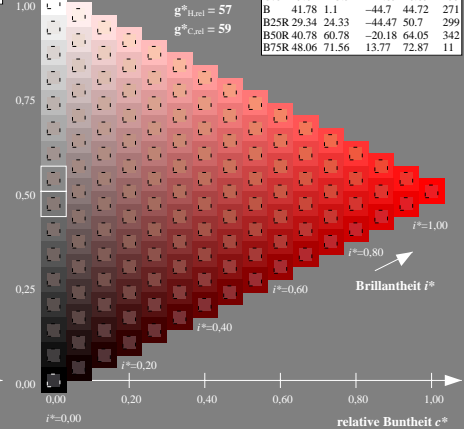


Dreiecks-Helligkeit r^*

%Umfang
 $u^*_{rel} = 93$
%Regularität
 $g^*_{H,rel} = 57$
 $g^*_{C,rel} = 59$

ORS18; adaptierte CIELAB-Daten

	$L^* = L^*_a$	a^*_a	b^*_a	$C^*_{ab,a}$	$h^*_{ab,a}$
R	48.0	68.58	31.54	75.48	25
R25J	50.11	61.52	52.63	80.96	41
R50J	62.87	38.77	65.02	75.71	59
R75J	74.87	17.37	76.69	78.63	77
J	86.19	-2.8	87.69	87.73	92
J25G	84.01	-18.73	82.6	84.7	103
J50G	71.17	-35.83	64.13	73.46	119
J75G	56.99	-54.71	43.72	70.05	141
G	52.8	-54.82	15.26	56.92	164
G25B	54.69	-46.87	-4.31	47.08	185
G50B	57.25	-36.1	-30.82	47.48	220
G75B	49.61	-13.51	-44.85	46.85	253
B	41.78	1.1	-44.7	44.72	271
B25R	29.34	24.33	-44.47	50.7	299
B50R	40.78	60.78	-20.18	64.05	342
B75R	48.06	71.56	13.77	72.87	411



ZG620-7N, 9stufige Reihen für konstanten CIELAB Buntton 38/360 = 0.105 (links)

ZG620-7N, 16stufige Reihen für konstanten CIELAB Buntton 38/360 = 0.105 (rechts)

BAM-Prüfvorlage ZG62; Farbmetrik-Systeme, Seite 1/60
D65: 9 und 16stufige Farbreihen für 10 Bunttöne

Eingabe: $rgb / cmy0$ set($rgb/cmyk$)color
Ausgabe: keine Eingabeänderung

Siehe ähnliche Dateien: <http://www.ps.bam.de/ZG62/>; www.ps.bam.de/ZG62/HTM
Technische Information: <http://www.ps.bam.de> Version 2.1, 10-1.1

BAM-Registrierung: 20071001-ZG62/L62G00N1.PS/.TXT
BAM-Material-Code=matda
Anwendung für Beurteilung und Messung von Drucker- oder Monitorsystemen

Eingabe: Farbmetrisches Offset-Reflektiv-System ORS18

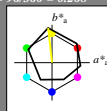
für Buntton $h^* = lab^*h = 96/360 = 0.268$

lab^*ich und lab^*nch

D65: Buntton Y

LCH*Ma: 90 92 96

olv*Ma: 1.0 1.0 0.0



Dreiecks-Helligkeit i^*

%Umfang
 $u^*_{rel} = 93$
%Regularität
 $g^*_{H,rel} = 57$
 $g^*_{C,rel} = 59$

ORS18; adaptierte CIELAB-Daten

	$L^* = L^*_a$	a^*_a	b^*_a	$C^*_{ab,a}$	$h^*_{ab,a}$
O _{Ma}	47.94	65.39	50.52	82.63	38
Y _{Ma}	90.37	-10.26	91.75	92.32	96
L _{Ma}	50.9	-62.83	34.96	71.91	151
C _{Ma}	58.62	-30.34	-45.01	54.3	236
V _{Ma}	25.72	31.1	-44.4	54.22	305
M _{Ma}	48.13	75.28	-8.36	75.74	354
N _{Ma}	18.01	0.0	0.0	0	0
W _{Ma}	95.41	0.0	0.0	0.0	0
R _{CIE}	39.92	58.66	26.98	64.57	25
J _{CIE}	81.26	-2.16	67.76	67.79	92
G _{CIE}	52.23	-42.25	11.76	43.87	164
B _{CIE}	30.57	1.15	-46.84	46.86	271

Ausgabe: Farbmetrisches Offset-Reflektiv-System ORS18

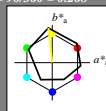
für Buntton $h^* = lab^*h = 96/360 = 0.268$

lab^*ich und lab^*nch

D65: Buntton Y

LCH*Ma: 90 92 96

olv*Ma: 1.0 1.0 0.0

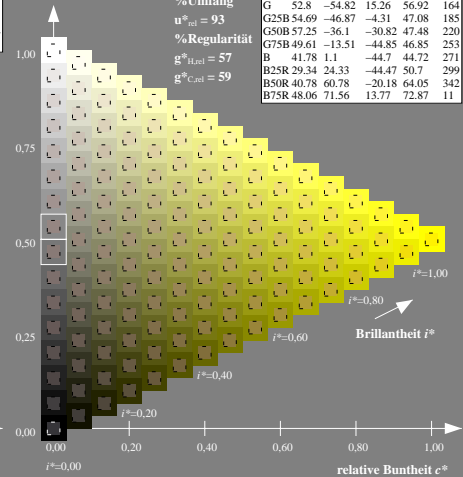
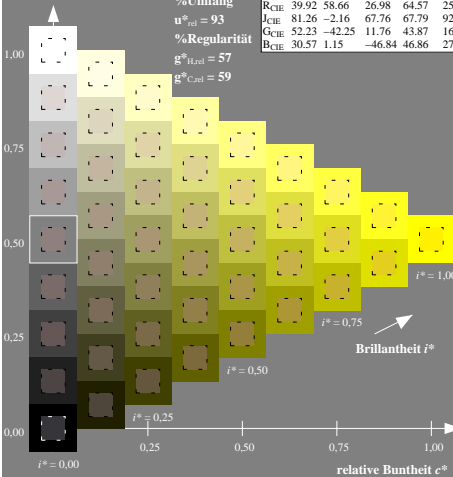


Dreiecks-Helligkeit i^*

%Umfang
 $u^*_{rel} = 93$
%Regularität
 $g^*_{H,rel} = 57$
 $g^*_{C,rel} = 59$

ORS18; adaptierte CIELAB-Daten

	$L^* = L^*_a$	a^*_a	b^*_a	$C^*_{ab,a}$	$h^*_{ab,a}$
R	48.0	68.58	31.54	75.48	25
R25J	50.11	61.52	52.63	80.96	41
R50J	62.87	38.77	65.02	75.71	59
R75J	74.87	17.37	76.69	78.63	77
J	86.19	-2.8	87.69	87.73	92
J25G	84.01	-18.73	82.6	84.7	103
J50G	71.17	-35.83	64.13	73.46	119
J75G	56.99	-54.71	43.72	70.05	141
G	52.8	-54.82	15.26	56.92	164
G25B	54.69	-46.87	-4.31	47.08	185
G50B	57.25	-36.1	-30.82	47.48	220
G75B	49.61	-13.51	-44.85	46.85	253
B	41.78	1.1	-44.7	44.72	271
B25R	29.34	24.33	-44.47	50.7	299
B50R	40.78	60.78	-20.18	64.05	342
B75R	48.06	71.56	13.77	72.87	411



ZG620-7N, 9stufige Reihen für konstanten CIELAB Buntton 96/360 = 0.268 (links) Seite 2/60

BAM-Prüfvorlage ZG62; Farbmetrik-Systeme, Seite 2/60
D65: 9 und 16stufige Farbreihen für 10 Bunttöne

ZG620-7N, 16stufige Reihen für konstanten CIELAB Buntton 96/360 = 0.268 (rechts)

Eingabe: $rgb / cmy0$ set($rgb/cmyk$)color
Ausgabe: keine Eingabeänderung

Siehe ähnliche Dateien: <http://www.ps.bam.de/ZG62/>; <http://www.ps.bam.de/ZG62.HTM>
Technische Information: <http://www.ps.bam.de> Version 2.1, 10-1.1

BAM-Registrierung: 20071001-ZG62/L62G00N1.PS/.TXT
BAM-Material-Code=matda
Anwendung für Beurteilung und Messung von Drucker- oder Monitorsystemen

Eingabe: Farbmetrisches Offset-Refektiv-System ORS18

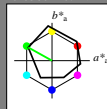
für Buntton $h^* = lab^*h = 151/360 = 0.419$

lab^*ich und lab^*nch

D65: Buntton L

LCH*Ma: 51 72 151

olv*Ma: 0.0 1.0 0.0



Dreiecks-Helligkeit i^*

%Umfang

$u^*_{rel} = 93$

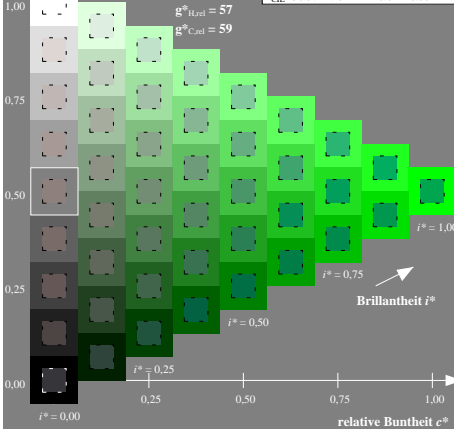
%Regularität

$g^*_{H,rel} = 57$

$g^*_{C,rel} = 59$

ORS18; adaptierte CIELAB-Daten

	$L^* = L^*_a$	a^*_a	b^*_a	$C^*_{ab,a}$	$h^*_{ab,a}$
O _{Ma}	47.94	65.39	50.52	82.63	38
Y _{Ma}	90.37	-10.26	91.75	92.32	96
L _{Ma}	50.9	-62.83	34.96	71.91	151
C _{Ma}	58.62	-30.34	-45.01	54.3	236
V _{Ma}	25.72	31.1	-44.4	54.22	305
M _{Ma}	48.13	75.28	-8.36	75.74	354
N _{Ma}	18.01	0.0	0.0	0	0
W _{Ma}	95.41	0.0	0.0	0.0	0
R _{CIE}	39.92	58.66	26.98	64.57	25
J _{CIE}	81.26	-2.16	67.76	67.79	92
G _{CIE}	52.23	-42.25	11.76	43.87	164
B _{CIE}	30.57	1.15	-46.84	46.86	271



Brillantheit i^*

relative Bunttheit c^*

Ausgabe: Farbmetrisches Offset-Refektiv-System ORS18

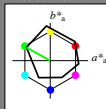
für Buntton $h^* = lab^*h = 151/360 = 0.419$

lab^*ich und lab^*nch

D65: Buntton L

LCH*Ma: 51 72 151

olv*Ma: 0.0 1.0 0.0



Dreiecks-Helligkeit i^*

%Umfang

$u^*_{rel} = 93$

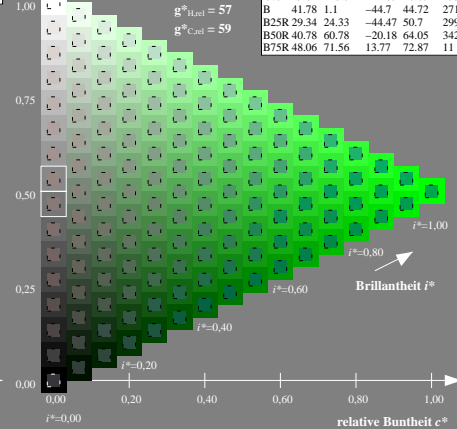
%Regularität

$g^*_{H,rel} = 57$

$g^*_{C,rel} = 59$

ORS18; adaptierte CIELAB-Daten

	$L^* = L^*_a$	a^*_a	b^*_a	$C^*_{ab,a}$	$h^*_{ab,a}$
R	48.0	68.58	31.54	75.48	25
R25J	50.11	61.52	52.63	80.96	41
R50J	62.87	38.77	65.02	75.71	59
R75J	74.87	17.37	76.69	78.63	77
J	86.19	-2.8	87.69	87.73	92
J25G	84.01	-18.73	82.6	84.7	103
J50G	71.17	-35.83	64.13	73.46	119
J75G	56.99	-54.71	43.72	70.05	141
G	52.8	-54.82	15.26	56.92	164
G25B	54.69	-46.87	-4.31	47.08	185
G50B	57.25	-36.1	-30.82	47.48	220
G75B	49.61	-13.51	-44.85	46.85	253
B	41.78	1.1	-44.7	44.72	271
B25R	29.34	24.33	-44.47	50.7	299
B50R	40.78	60.78	-20.18	64.05	342
B75R	48.06	71.56	13.77	72.87	411



Brillantheit i^*

relative Bunttheit c^*

ZG620-7N, 9stufige Reihen für konstanten CIELAB Buntton 151/360 = 0.419 (links) Seite 3/60

BAM-Prüfvorlage ZG62; Farbmetrik-Systeme, Seite 3/60
D65: 9 und 16stufige Farbreihen für 10 Bunttöne

ZG620-7N, 16stufige Reihen für konstanten CIELAB Buntton 151/360 = 0.419 (rechts)

Eingabe: $rgb / cmy0$ set($rgb/cmyk$)color
Ausgabe: keine Eingabeänderung

Siehe ähnliche Dateien: <http://www.ps.bam.de/ZG62/>; <http://www.ps.bam.de/ZG62L62G00N1.PS.TXT>
Technische Information: <http://www.ps.bam.de> Version 2.1, 10-1.1

BAM-Registrierung: 20071001-ZG62L62G00N1.PS.TXT
Anwendung für Beurteilung und Messung von Drucker- oder Monitorsystemen
BAM-Material-Code=na4a

Eingabe: Farbmetrisches Offset-Reflektiv-System ORS18

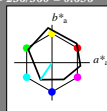
für Buntton $h^* = lab^*h = 236/360 = 0.656$

lab^*ich und lab^*nch

D65: Buntton C

LCH*Ma: 59 54 236

olv*Ma: 0.0 1.0 1.0

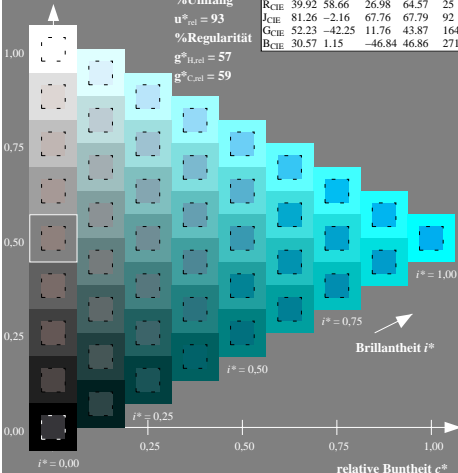


Dreiecks-Helligkeit i^*

%Umfang
 $u^*_{rel} = 93$
%Regularität
 $g^*_{H,rel} = 57$
 $g^*_{C,rel} = 59$

ORS18; adaptierte CIELAB-Daten

	$L^* = L^*_a$	a^*_a	b^*_a	$C^*_{ab,a}$	$h^*_{ab,a}$
O _{Ma}	47.94	65.39	50.52	82.63	38
Y _{Ma}	90.37	-10.26	91.75	92.32	96
L _{Ma}	50.9	-62.83	34.96	71.91	151
C _{Ma}	58.62	-30.34	-45.01	54.3	236
V _{Ma}	25.72	31.1	-44.4	54.22	305
M _{Ma}	48.13	75.28	-8.36	75.74	354
N _{Ma}	18.01	0.0	0.0	0	0
W _{Ma}	95.41	0.0	0.0	0.0	0
R _{CIE}	39.92	58.66	26.98	64.57	25
J _{CIE}	81.26	-2.16	67.76	67.79	92
G _{CIE}	52.23	-42.25	11.76	43.87	164
B _{CIE}	30.57	1.15	-46.84	46.86	271



Ausgabe: Farbmetrisches Offset-Reflektiv-System ORS18

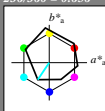
für Buntton $h^* = lab^*h = 236/360 = 0.656$

lab^*ich und lab^*nch

D65: Buntton C

LCH*Ma: 59 54 236

olv*Ma: 0.0 1.0 1.0

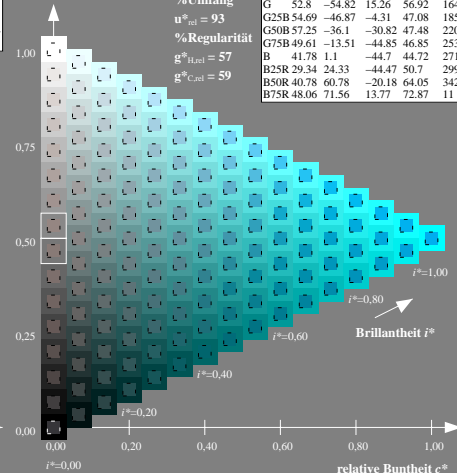


Dreiecks-Helligkeit i^*

%Umfang
 $u^*_{rel} = 93$
%Regularität
 $g^*_{H,rel} = 57$
 $g^*_{C,rel} = 59$

ORS18; adaptierte CIELAB-Daten

	$L^* = L^*_a$	a^*_a	b^*_a	$C^*_{ab,a}$	$h^*_{ab,a}$
R	48.0	68.58	31.54	75.48	25
R25J	50.11	61.52	52.63	80.96	41
R50J	62.87	38.77	65.02	75.71	59
R75J	74.87	17.37	76.69	78.63	77
J	86.19	-2.8	87.69	87.73	92
J25G	84.01	-18.73	82.6	84.7	103
J50G	71.17	-35.83	64.13	73.46	119
J75G	56.99	-54.71	43.72	70.05	141
G	52.8	-54.82	15.26	56.92	164
G25B	54.69	-46.87	-4.31	47.08	185
G50B	57.25	-36.1	-30.82	47.48	220
G75B	49.61	-13.51	-44.85	46.85	253
B	41.78	1.1	-44.7	44.72	271
B25R	29.34	24.33	-44.47	50.7	299
B50R	40.78	60.78	-20.18	64.05	342
B75R	48.06	71.56	13.77	72.87	411



ZG620-7N, 9stufige Reihen für konstanten CIELAB Buntton 236/360 = 0.656 (links)

BAM-Prüfvorlage ZG62; Farbmetrik-Systeme, Seite 4/60

D65: 9 und 16stufige Farbreihen für 10 Bunttöne

ZG620-7N, 16stufige Reihen für konstanten CIELAB Buntton 236/360 = 0.656 (rechts)

Eingabe: $rgb / cmy0$ set($rgb/cmyk$)color

Ausgabe: keine Eingabeänderung

Siehe ähnliche Dateien: <http://www.ps.bam.de/ZG62/>; <http://www.ps.bam.de/ZG62L62G00N1.PS/TXT>
Technische Information: <http://www.ps.bam.de> Version 2.1, 10-1.1

BAM-Registrierung: 20071001-ZG62L62G00N1.PS/TXT
Anwendung für Beurteilung und Messung von Drucker- oder Monitorsystemen

BAM-Material-Code=na14a

Eingabe: Farbmetrisches Offset-Reflektiv-System ORS18

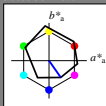
für Buntton $h^* = lab^*h = 305/360 = 0.847$

lab^*ich und lab^*nch

D65: Buntton V

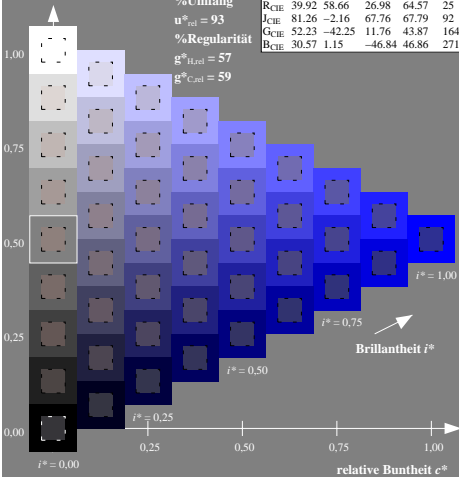
LCH*Ma: 26 54 305

olv*Ma: 0.0 0.0 1.0



Dreiecks-Helligkeit i^*

%Umfang
 $u^*_{rel} = 93$
%Regularität
 $g^*_{H,rel} = 57$
 $g^*_{C,rel} = 59$



ORS18; adaptierte CIELAB-Daten

	$L^* = L^*_a$	a^*_a	b^*_a	$C^*_{ab,a}$	$h^*_{ab,a}$
O _{Ma}	47.94	65.39	50.52	82.63	38
Y _{Ma}	90.37	-10.26	91.75	92.32	96
L _{Ma}	50.9	-62.83	34.96	71.91	151
C _{Ma}	58.62	-30.34	-45.01	54.3	236
V _{Ma}	25.72	31.1	-44.4	54.22	305
M _{Ma}	48.13	75.28	-8.36	75.74	354
N _{Ma}	18.01	0.0	0.0	0	0
W _{Ma}	95.41	0.0	0.0	0.0	0
R _{CIE}	39.92	58.66	26.98	64.57	25
J _{CIE}	81.26	-2.16	67.76	67.79	92
G _{CIE}	52.23	-42.25	11.76	43.87	164
B _{CIE}	30.57	1.15	-46.84	46.86	271

Ausgabe: Farbmetrisches Offset-Reflektiv-System ORS18

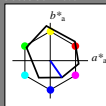
für Buntton $h^* = lab^*h = 305/360 = 0.847$

lab^*ich und lab^*nch

D65: Buntton V

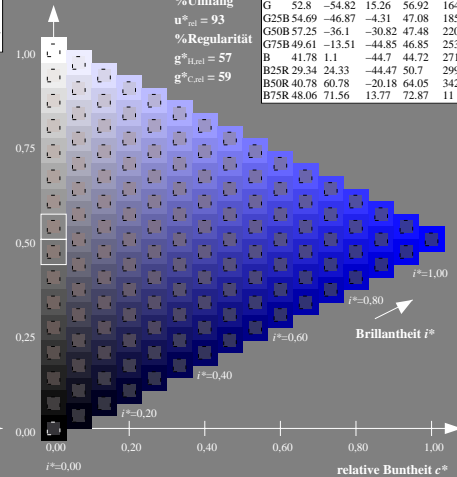
LCH*Ma: 26 54 305

olv*Ma: 0.0 0.0 1.0



Dreiecks-Helligkeit i^*

%Umfang
 $u^*_{rel} = 93$
%Regularität
 $g^*_{H,rel} = 57$
 $g^*_{C,rel} = 59$



ORS18; adaptierte CIELAB-Daten

	$L^* = L^*_a$	a^*_a	b^*_a	$C^*_{ab,a}$	$h^*_{ab,a}$
R	48.0	68.58	31.54	75.48	25
R25J	50.11	61.52	52.63	80.96	41
R50J	62.87	38.77	65.02	75.71	59
R75J	74.87	17.37	76.69	78.63	77
J	86.19	-2.8	87.69	87.73	92
J25G	84.01	-18.73	82.6	84.7	103
J50G	71.17	-35.83	64.13	73.46	119
J75G	56.99	-54.71	43.72	70.05	141
G	52.8	-54.82	15.26	56.92	164
G25B	54.69	-46.87	-4.31	47.08	185
G50B	57.25	-36.1	-30.82	47.48	220
G75B	49.61	-13.51	-44.85	46.85	253
B	41.78	1.1	-44.7	44.72	271
B25R	29.34	24.33	-44.47	50.7	299
B50R	40.78	60.78	-20.18	64.05	342
B75R	48.06	71.56	13.77	72.87	411

ZG620-7N, 9stufige Reihen für konstanten CIELAB Buntton 305/360 = 0.847 (links) Seite 5/60

BAM-Prüfvorlage ZG62; Farbmetrik-Systeme, Seite 5/60
D65: 9 und 16stufige Farbreihen für 10 Bunttöne

ZG620-7N, 16stufige Reihen für konstanten CIELAB Buntton 305/360 = 0.847 (rechts)

Eingabe: $rgb / cmy0$ set($rgb/cmyk$)color
Ausgabe: keine Eingabeänderung

Eingabe: Farbmetrisches Offset-Reflektiv-System ORS18

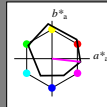
für Buntton $h^* = lab^*h = 354/360 = 0.982$

lab^*ich und lab^*nch

D65: Buntton M

LCH*Ma: 48 76 354

olv*Ma: 1.0 0.0 1.0

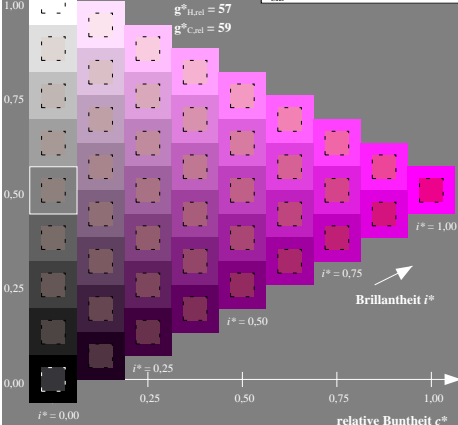


Dreiecks-Helligkeit i^*

%Umfang
 $u^*_{rel} = 93$
%Regularität
 $g^*_{H,rel} = 57$
 $g^*_{C,rel} = 59$

ORS18; adaptierte CIELAB-Daten

	$L^* = L^*_a$	a^*_a	b^*_a	$C^*_{ab,a}$	$h^*_{ab,a}$
O _{Ma}	47.94	65.39	50.52	82.63	38
Y _{Ma}	90.37	-10.26	91.75	92.32	96
L _{Ma}	50.9	-62.83	34.96	71.91	151
C _{Ma}	58.62	-30.34	-45.01	54.3	236
V _{Ma}	25.72	31.1	-44.4	54.22	305
M _{Ma}	48.13	75.28	-8.36	75.74	354
N _{Ma}	18.01	0.0	0.0	0	0
W _{Ma}	95.41	0.0	0.0	0.0	0
R _{CIE}	39.92	58.66	26.98	64.57	25
J _{CIE}	81.26	-2.16	67.76	67.79	92
G _{CIE}	52.23	-42.25	11.76	43.87	164
B _{CIE}	30.57	1.15	-46.84	46.86	271



Ausgabe: Farbmetrisches Offset-Reflektiv-System ORS18

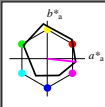
für Buntton $h^* = lab^*h = 354/360 = 0.982$

lab^*ich und lab^*nch

D65: Buntton M

LCH*Ma: 48 76 354

olv*Ma: 1.0 0.0 1.0

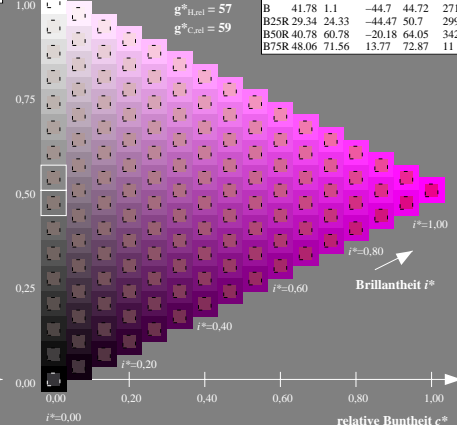


Dreiecks-Helligkeit i^*

%Umfang
 $u^*_{rel} = 93$
%Regularität
 $g^*_{H,rel} = 57$
 $g^*_{C,rel} = 59$

ORS18; adaptierte CIELAB-Daten

	$L^* = L^*_a$	a^*_a	b^*_a	$C^*_{ab,a}$	$h^*_{ab,a}$
R	48.0	68.58	31.54	75.48	25
R25J	50.11	61.52	52.63	80.96	41
R50J	62.87	38.77	65.02	75.71	59
R75J	74.87	17.37	76.69	78.63	77
J	86.19	-2.8	87.69	87.73	92
J25G	84.01	-18.73	82.6	84.7	103
J50G	71.17	-35.83	64.13	73.46	119
J75G	56.99	-54.71	43.72	70.05	141
G	52.8	-54.82	15.26	56.92	164
G25B	54.69	-46.87	-4.31	47.08	185
G50B	57.25	-36.1	-30.82	47.48	220
G75B	49.61	-13.51	-44.85	46.85	253
B	41.78	1.1	-44.7	44.72	271
B25R	29.34	24.33	-44.47	50.7	299
B50R	40.78	60.78	-20.18	64.05	342
B75R	48.06	71.56	13.77	72.87	411



ZG620-7N, 9stufige Reihen für konstanten CIELAB Buntton 354/360 = 0.982 (links) Seite 6/60

BAM-Prüfvorlage ZG62; Farbmetrik-Systeme, Seite 6/60
D65: 9 und 16stufige Farbreihen für 10 Bunttöne

ZG620-7N, 16stufige Reihen für konstanten CIELAB Buntton 354/360 = 0.982 (rechts)

Eingabe: $rgb / cmy0$ set($rgb/cmyk$)color
Ausgabe: keine Eingabeänderung

Eingabe: Farbmetrisches Offset-Reflektiv-System ORS18

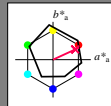
für Buntton $h^* = lab^*h = 25/360 = 0.069$

lab^*ch und lab^*nch

D65: Buntton R

LCH*Ma: 48 75 25

ol*Ma: 1.0 0.0 0.32



Dreiecks-Helligkeit i^*

%Umfang

$u^*_{rel} = 93$

%Regularität

$g^*_{H,rel} = 57$

$g^*_{C,rel} = 59$

ORS18; adaptierte CIELAB-Daten

	$L^* = L^*_a$	a^*_a	b^*_a	$C^*_{ab,a}$	$h^*_{ab,a}$
O _{Ma}	47.94	65.39	50.52	82.63	38
Y _{Ma}	90.37	-10.26	91.75	92.32	96
L _{Ma}	50.9	-62.83	34.96	71.91	151
C _{Ma}	58.62	-30.34	-45.01	54.3	236
V _{Ma}	25.72	31.1	-44.4	54.22	305
M _{Ma}	48.13	75.28	-8.36	75.74	354
N _{Ma}	18.01	0.0	0.0	0	0
W _{Ma}	95.41	0.0	0.0	0.0	0
R _{CIE}	39.92	58.66	26.98	64.57	25
J _{CIE}	81.26	-2.16	67.76	67.79	92
G _{CIE}	52.23	-42.25	11.76	43.87	164
B _{CIE}	30.57	1.15	-46.84	46.86	271

Ausgabe: Farbmetrisches Offset-Reflektiv-System ORS18

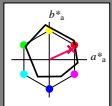
für Buntton $h^* = lab^*h = 25/360 = 0.069$

lab^*ch und lab^*nch

D65: Buntton R

LCH*Ma: 48 75 25

ol*Ma: 1.0 0.0 0.32



Dreiecks-Helligkeit i^*

%Umfang

$u^*_{rel} = 93$

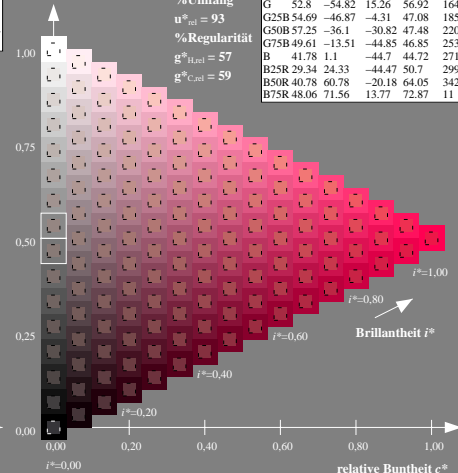
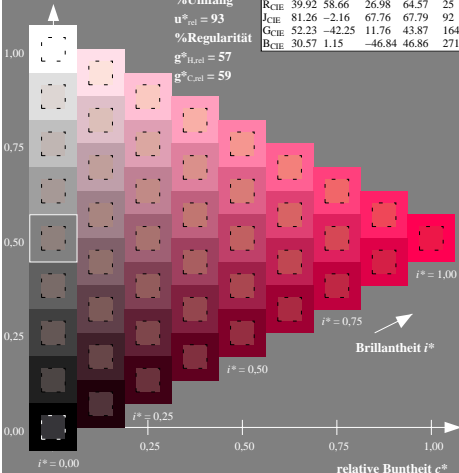
%Regularität

$g^*_{H,rel} = 57$

$g^*_{C,rel} = 59$

ORS18; adaptierte CIELAB-Daten

	$L^* = L^*_a$	a^*_a	b^*_a	$C^*_{ab,a}$	$h^*_{ab,a}$
R	48.0	68.58	31.54	75.48	25
R25J	50.11	61.52	52.63	80.96	41
R50J	62.87	38.77	65.02	75.71	59
R75J	74.87	17.37	76.69	78.63	77
J	86.19	-2.8	87.69	87.73	92
J25G	84.01	-18.73	82.6	84.7	103
J50G	71.17	-35.83	64.13	73.46	119
J75G	56.99	-54.71	43.72	70.05	141
G	52.8	-54.82	15.26	56.92	164
G25B	54.69	-46.87	-4.31	47.08	185
G50B	57.25	-36.1	-30.82	47.48	220
G75B	49.61	-13.51	-44.85	46.85	253
B	41.78	1.1	-44.7	44.72	271
B25R	29.34	24.33	-44.47	50.7	299
B50R	40.78	60.78	-20.18	64.05	342
B75R	48.06	71.56	13.77	72.87	411



ZG620-7N, 9stufige Reihen für konstanten CIELAB Buntton 25/360 = 0.069 (links)

ZG620-7N, 16stufige Reihen für konstanten CIELAB Buntton 25/360 = 0.069 (rechts)

BAM-Prüfvorlage ZG62; Farbmetrik-Systeme, Seite 7/60
D65: 9 und 16stufige Farbreihen für 10 Bunttöne

Eingabe: $rgb / cmy0$ set($rgb/cmyk/color$)
Ausgabe: keine Eingabeänderung

Siehe ähnliche Dateien: <http://www.ps.bam.de/ZG62/>; <http://www.ps.bam.de/ZG62.HTM>
Technische Information: <http://www.ps.bam.de> Version 2.1, 10-1.1

BAM-Registrierung: 20071001-ZG62/L62G00N1.PS.TXT
BAM-Material-Code=matda
Anwendung für Beurteilung und Messung von Drucker- oder Monitorsystemen

Eingabe: Farbmetrisches Offset-Reflektiv-System ORS18

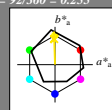
für Buntton $h^* = lab^*h = 92/360 = 0.255$

lab^*ich und lab^*nch

D65: Buntton J

LCH*Ma: 86 88 92

olv*Ma: 1.0 0.9 0.0



Dreiecks-Helligkeit i^*

%Umfang
 $u^*_{rel} = 93$
%Regularität
 $g^*_{H,rel} = 57$
 $g^*_{C,rel} = 59$

ORS18; adaptierte CIELAB-Daten

	$L^* = L^*_a$	a^*_a	b^*_a	C^*_{aba}	h^*_{aba}
O _{Ma}	47.94	65.39	50.52	82.63	38
Y _{Ma}	90.37	-10.26	91.75	92.32	96
L _{Ma}	50.9	-62.83	34.96	71.91	151
C _{Ma}	58.62	-30.34	-45.01	54.3	236
V _{Ma}	25.72	31.1	-44.4	54.22	305
M _{Ma}	48.13	75.28	-8.36	75.74	354
N _{Ma}	18.01	0.0	0.0	0	0
W _{Ma}	95.41	0.0	0.0	0.0	0
R _{CIE}	39.92	58.66	26.98	64.57	25
J _{CIE}	81.26	-2.16	67.76	67.79	92
G _{CIE}	52.23	-42.25	11.76	43.87	164
B _{CIE}	30.57	1.15	-46.84	46.86	271

Ausgabe: Farbmetrisches Offset-Reflektiv-System ORS18

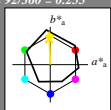
für Buntton $h^* = lab^*h = 92/360 = 0.255$

lab^*ich und lab^*nch

D65: Buntton J

LCH*Ma: 86 88 92

olv*Ma: 1.0 0.9 0.0

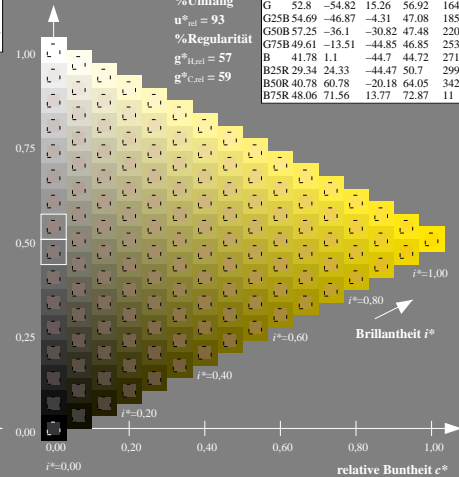
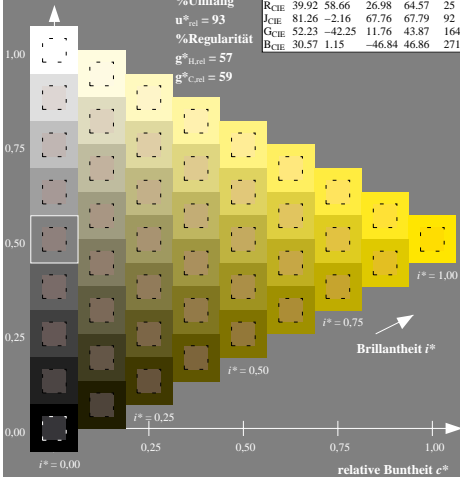


Dreiecks-Helligkeit i^*

%Umfang
 $u^*_{rel} = 93$
%Regularität
 $g^*_{H,rel} = 57$
 $g^*_{C,rel} = 59$

ORS18; adaptierte CIELAB-Daten

	$L^* = L^*_a$	a^*_a	b^*_a	C^*_{aba}	h^*_{aba}
R	48.0	68.58	31.54	75.48	25
R25J	50.11	61.52	52.63	80.96	41
R50J	62.87	38.77	65.02	75.71	59
R75J	74.87	17.37	76.69	78.63	77
J	86.19	-2.8	87.69	87.73	92
J25G	84.01	-18.73	82.6	84.7	103
J50G	71.17	-35.83	64.13	73.46	119
J75G	56.99	-54.71	43.72	70.05	141
G	52.8	-54.82	15.26	56.92	164
G25B	54.69	-46.87	-4.31	47.08	185
G50B	57.25	-36.1	-30.82	47.48	220
G75B	49.61	-13.51	-44.85	46.85	253
B	41.78	1.1	-44.7	44.72	271
B25R	29.34	24.33	-44.47	50.7	299
B50R	40.78	60.78	-20.18	64.05	342
B75R	48.06	71.56	13.77	72.87	411



ZG620-7N, 9stufige Reihen für konstanten CIELAB Buntton 92/360 = 0.255 (links) Seite 8/60

BAM-Prüfvorlage ZG62; Farbmetrik-Systeme, Seite 8/60
D65: 9 und 16stufige Farbreihen für 10 Bunttöne

ZG620-7N, 16stufige Reihen für konstanten CIELAB Buntton 92/360 = 0.255 (rechts)

Eingabe: $rgb / cmy0$ set($rgb / cmyk$)color
Ausgabe: keine Eingabeänderung

Siehe ähnliche Dateien: <http://www.ps.bam.de/ZG62/>; <http://www.ps.bam.de/ZG62.HTM>
Technische Information: <http://www.ps.bam.de> Version 2.1, 10-1.1

BAM-Registrierung: 20071001-ZG62/L62G00N1.PS/.TXT
Anwendung für Beurteilung und Messung von Drucker- oder Monitorsystemen

BAM-Material-Code=na14a

Eingabe: Farbmetrisches Offset-Reflektiv-System ORS18

für Buntton $h^* = lab^*h = 164/360 = 0.457$

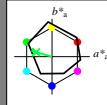
lab^*ich und lab^*nch

D65: Buntton G

LCH*Ma: 53 57 164

olv*Ma: 0.0 1.0 0.25

Dreiecks-Helligkeit i^*



%Umfang

$u^*_{rel} = 93$

%Regularität

$g^*_{H,rel} = 57$

$g^*_{C,rel} = 59$

ORS18; adaptierte CIELAB-Daten

	$L^* = L^*_a$	a^*_a	b^*_a	$C^*_{ab,a}$	$h^*_{ab,a}$
O _{Ma}	47.94	65.39	50.52	82.63	38
Y _{Ma}	90.37	-10.26	91.75	92.32	96
L _{Ma}	50.9	-62.83	34.96	71.91	151
C _{Ma}	58.62	-30.34	-45.01	54.3	236
V _{Ma}	25.72	31.1	-44.4	54.22	305
M _{Ma}	48.13	75.28	-8.36	75.74	354
N _{Ma}	18.01	0.0	0.0	0	0
W _{Ma}	95.41	0.0	0.0	0.0	0
R _{CIE}	39.92	58.66	26.98	64.57	25
J _{CIE}	81.26	-2.16	67.76	67.79	92
G _{CIE}	52.23	-42.25	11.76	43.87	164
B _{CIE}	30.57	1.15	-46.84	46.86	271

Ausgabe: Farbmetrisches Offset-Reflektiv-System ORS18

für Buntton $h^* = lab^*h = 164/360 = 0.457$

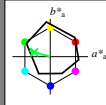
lab^*ich und lab^*nch

D65: Buntton G

LCH*Ma: 53 57 164

olv*Ma: 0.0 1.0 0.25

Dreiecks-Helligkeit i^*



%Umfang

$u^*_{rel} = 93$

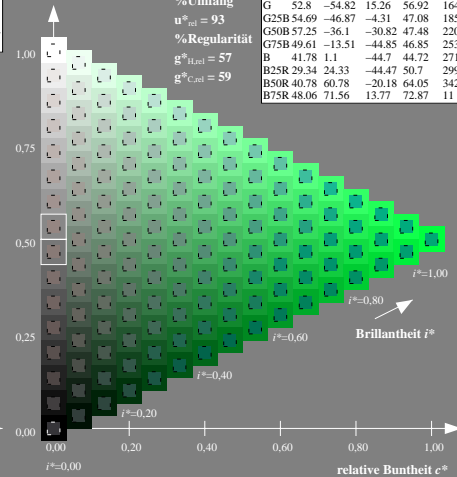
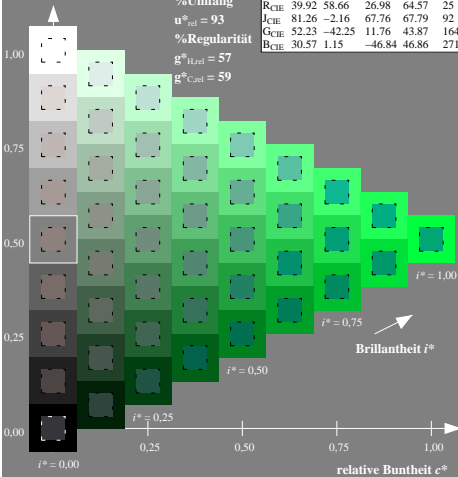
%Regularität

$g^*_{H,rel} = 57$

$g^*_{C,rel} = 59$

ORS18; adaptierte CIELAB-Daten

	$L^* = L^*_a$	a^*_a	b^*_a	$C^*_{ab,a}$	$h^*_{ab,a}$
R	48.0	68.58	31.54	75.48	25
R25J	50.11	61.52	52.63	80.96	41
R50J	62.87	38.77	65.02	75.71	59
R75J	74.87	17.37	76.69	78.63	77
J	86.19	-2.8	87.69	87.73	92
J25G	84.01	-18.73	82.6	84.7	103
J50G	71.17	-35.83	64.13	73.46	119
J75G	56.99	-54.71	43.72	70.05	141
G	52.8	-54.82	15.26	56.92	164
G25B	54.69	-46.87	-4.31	47.08	185
G50B	57.25	-36.1	-30.82	47.48	220
G75B	49.61	-13.51	-44.85	46.85	253
B	41.78	1.1	-44.7	44.72	271
B25R	29.34	24.33	-44.47	50.7	299
B50R	40.78	60.78	-20.18	64.05	342
B75R	48.06	71.56	13.77	72.87	411



ZG620-7N, 9stufige Reihen für konstanten CIELAB Buntton 164/360 = 0.457 (links) Seite 9/60

BAM-Prüfvorlage ZG62; Farbmetrische-Systeme, Seite 9/60
D65: 9 und 16stufige Farbreihen für 10 Bunttöne

ZG620-7N, 16stufige Reihen für konstanten CIELAB Buntton 164/360 = 0.457 (rechts)

Eingabe: $rgb / cmy0$ set($rgb / cmyk$)color
Ausgabe: keine Eingabeänderung

Eingabe: Farbmetrisches Offset-Reflektiv-System ORS18

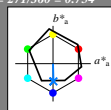
für Buntton $h^* = \text{lab}^*h = 271/360 = 0.754$

lab^*ch und lab^*nch

D65: Buntton B

LCH*Ma: 42 45 271

ol*Ma: 0.0 0.49 1.0

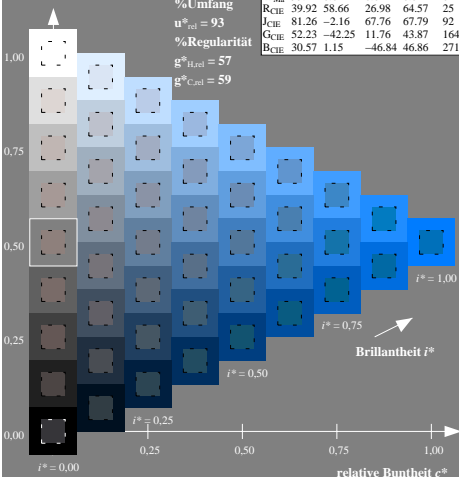


ORS18; adaptierte CIELAB-Daten

	$L^* = L^*_a$	a^*_a	b^*_a	$C^*_{ab,a}$	$h^*_{ab,a}$
O _{Ma}	47.94	65.39	50.52	82.63	38
Y _{Ma}	90.37	-10.26	91.75	92.32	96
L _{Ma}	50.9	-62.83	34.96	71.91	151
C _{Ma}	58.62	-30.34	-45.01	54.3	236
V _{Ma}	25.72	31.1	-44.4	54.22	305
M _{Ma}	48.13	75.28	-8.36	75.74	354
N _{Ma}	18.01	0.0	0.0	0	0
W _{Ma}	95.41	0.0	0.0	0.0	0
R _{CIE}	39.92	58.66	26.98	64.57	25
J _{CIE}	81.26	-2.16	67.76	67.79	92
G _{CIE}	52.23	-42.25	11.76	43.87	164
B _{CIE}	30.57	1.15	-46.84	46.86	271

%Umfang
 $u^*_{rel} = 93$
%Regularität
 $g^*_{H,rel} = 57$
 $g^*_{C,rel} = 59$

Dreiecks-Helligkeit i^*



Ausgabe: Farbmetrisches Offset-Reflektiv-System ORS18

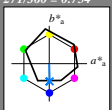
für Buntton $h^* = \text{lab}^*h = 271/360 = 0.754$

lab^*ch und lab^*nch

D65: Buntton B

LCH*Ma: 42 45 271

ol*Ma: 0.0 0.49 1.0

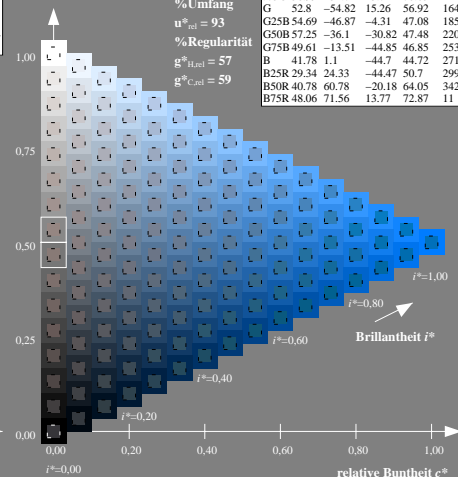


ORS18; adaptierte CIELAB-Daten

	$L^* = L^*_a$	a^*_a	b^*_a	$C^*_{ab,a}$	$h^*_{ab,a}$
R	48.0	68.58	31.54	75.48	25
R25J	50.11	61.52	52.63	80.96	41
R50J	62.87	38.77	65.02	75.71	59
R75J	74.87	17.37	76.69	78.63	77
J	86.19	-2.8	87.69	87.73	92
J25G	84.01	-18.73	82.6	84.7	103
J50G	71.17	-35.83	64.13	73.46	119
J75G	56.99	-54.71	43.72	70.05	141
G	52.8	-54.82	15.26	56.92	164
G25B	54.69	-46.87	-4.31	47.08	185
G50B	57.25	-36.1	-30.82	47.48	220
G75B	49.61	-13.51	-44.85	46.85	253
B	41.78	1.1	-44.7	44.72	271
B25R	29.34	24.33	-44.47	50.7	299
B50R	40.78	60.78	-20.18	64.05	342
B75R	48.06	71.56	13.77	72.87	411

%Umfang
 $u^*_{rel} = 93$
%Regularität
 $g^*_{H,rel} = 57$
 $g^*_{C,rel} = 59$

Dreiecks-Helligkeit i^*



ZG620-7N, 9stufige Reihen für konstanten CIELAB Buntton 271/360 = 0.754 (links)

ZG620-7N, 16stufige Reihen für konstanten CIELAB Buntton 271/360 = 0.754 (rechts)

BAM-Prüfvorlage ZG62; Farbmetrik-Systeme, Seite 10/60
D65: 9 und 16stufige Farbreihen für 10 Bunttöne

ZG620-7N, 16stufige Reihen für konstanten CIELAB Buntton 271/360 = 0.754 (rechts)
Ausgabe: keine Eingabeänderung

Siehe ähnliche Dateien: <http://www.ps.bam.de/ZG62/>; <http://www.ps.bam.de/ZG62.HTM>
Technische Information: <http://www.ps.bam.de> Version 2.1, 10-1.1

BAM-Registrierung: 20071001-ZG62/L62G00N1.PS/.TXT
Anwendung für Beurteilung und Messung von Drucker- oder Monitorsystemen
BAM-Material-Code=na14a

Eingabe: Farbmetrisches Offset-Reflektiv-System ORS18

für Buntton $h^* = lab^*h = 38/360 = 0.105$

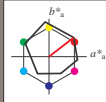
lab^*tch und lab^*nch

D65: Buntton O

LCH*Ma: 48 83 38

olv*Ma: 1.0 0.0 0.0

Dreiecks-Helligkeit r^*



%Umfang

$u^*_{rel} = 93$

%Regularität

$g^*_{H,rel} = 57$

$g^*_{C,rel} = 59$

ORS18; adaptierte CIELAB-Daten

	$L^*=L^*_a$	a^*_a	b^*_a	$C^*_{ab,a}$	$h^*_{ab,a}$
O _{Ma}	47.94	65.39	50.52	82.63	38
Y _{Ma}	90.37	-10.26	91.75	92.32	96
L _{Ma}	50.9	-62.83	34.96	71.91	151
C _{Ma}	58.62	-30.34	-45.01	54.3	236
V _{Ma}	25.72	31.1	-44.4	54.22	305
M _{Ma}	48.13	75.28	-8.36	75.74	354
N _{Ma}	18.01	0.0	0.0	0	0
W _{Ma}	95.41	0.0	0.0	0.0	0
R _{CIE}	39.92	58.66	26.98	64.57	25
J _{CIE}	81.26	-2.16	67.76	67.79	92
G _{CIE}	52.23	-42.25	11.76	43.87	164
B _{CIE}	30.57	1.15	-46.84	46.86	271

Ausgabe: Farbmetrisches Offset-Reflektiv-System ORS18

für Buntton $h^* = lab^*h = 38/360 = 0.105$

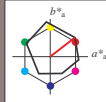
lab^*tch und lab^*nch

D65: Buntton O

LCH*Ma: 48 83 38

olv*Ma: 1.0 0.0 0.0

Dreiecks-Helligkeit r^*



%Umfang

$u^*_{rel} = 93$

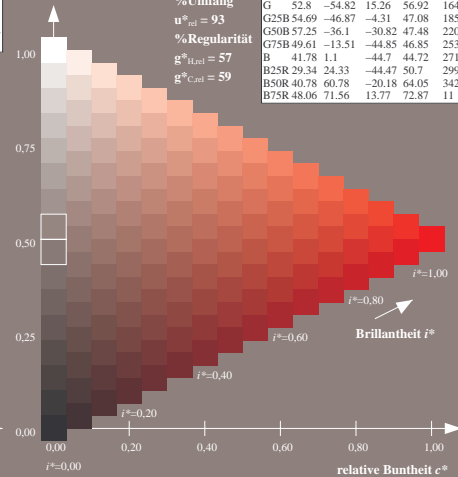
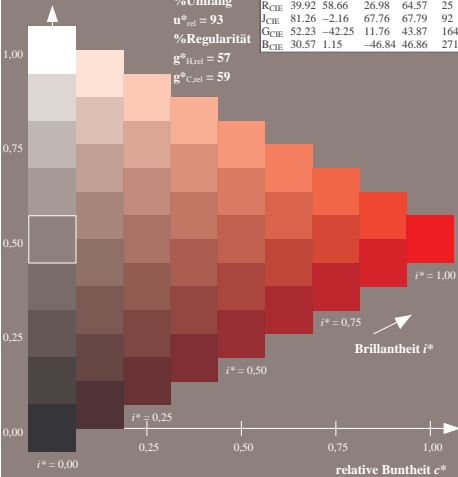
%Regularität

$g^*_{H,rel} = 57$

$g^*_{C,rel} = 59$

ORS18; adaptierte CIELAB-Daten

	$L^*=L^*_a$	a^*_a	b^*_a	$C^*_{ab,a}$	$h^*_{ab,a}$
R	48.0	68.58	31.54	75.48	25
R25J	50.11	61.52	52.63	80.96	41
R50J	62.87	38.77	65.02	75.71	59
R75J	74.87	17.37	76.69	78.63	77
J	86.19	-2.8	87.69	87.73	92
J25G	84.01	-18.73	82.6	84.7	103
J50G	71.17	-35.83	64.13	73.46	119
J75G	56.99	-54.71	43.72	70.05	141
G	52.8	-54.82	15.26	56.92	164
G25B	54.69	-46.87	-4.31	47.08	185
G50B	57.25	-36.1	-30.82	47.48	220
G75B	49.61	-13.51	-44.85	46.85	253
B	41.78	1.1	-44.7	44.72	271
B25R	29.34	24.33	-44.47	50.7	299
B50R	40.78	60.78	-20.18	64.05	342
B75R	48.06	71.56	13.77	72.87	411



ZG620-7N, 9stufige Reihen für konstanten CIELAB Buntton 38/360 = 0.105 (links) Seite 11/60

BAM-Prüfvorlage ZG62; Farbmetrik-Systeme, Seite 11/60 Eingabe: $rgb / cmy0$ set($rgb/cmyk$)color
D65: 9 und 16stufige Farbreihen für 10 Bunttöne

ZG620-7N, 16stufige Reihen für konstanten CIELAB Buntton 38/360 = 0.105 (rechts)

Ausgabe: $\rightarrow cmy0$ set($cmyk$)color

Siehe ähnliche Dateien: <http://www.ps.bam.de/ZG62/>; <http://www.ps.bam.de/ZG.HTM>
Technische Information: <http://www.ps.bam.de> Version 2.1, 10-1.1

BAM-Registrierung: 20071001-ZG62/L62G00N1.PS/.TXT
Anwendung für Beurteilung und Messung von Drucker- oder Monitorsystemen

BAM-Material-Code=na14a

Eingabe: Farbmetrisches Offset-Reflektiv-System ORS18

für Buntton $h^* = lab^*h = 96/360 = 0.268$

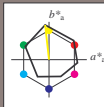
lab^*tch und lab^*nch

D65: Buntton Y

LCH*Ma: 90 92 96

olv*Ma: 1.0 1.0 0.0

Dreiecks-Helligkeit t^*



%Umfang

$u^*_{rel} = 93$

%Regularität

$g^*_{H,rel} = 57$

$g^*_{C,rel} = 59$

ORS18; adaptierte CIELAB-Daten

	$L^*=L^*_a$	a^*_a	b^*_a	$C^*_{ab,a}$	$h^*_{ab,a}$
O _{Ma}	47.94	65.39	50.52	82.63	38
Y _{Ma}	90.37	-10.26	91.75	92.32	96
L _{Ma}	50.9	-62.83	34.96	71.91	151
C _{Ma}	58.62	-30.34	-45.01	54.3	236
V _{Ma}	25.72	31.1	-44.4	54.22	305
M _{Ma}	48.13	75.28	-8.36	75.74	354
N _{Ma}	18.01	0.0	0.0	0.0	0
W _{Ma}	95.41	0.0	0.0	0.0	0
R _{CIE}	39.92	58.66	26.98	64.57	25
J _{CIE}	81.26	-2.16	67.76	67.79	92
G _{CIE}	52.23	-42.25	11.76	43.87	164
B _{CIE}	30.57	1.15	-46.84	46.86	271

Ausgabe: Farbmetrisches Offset-Reflektiv-System ORS18

für Buntton $h^* = lab^*h = 96/360 = 0.268$

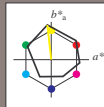
lab^*tch und lab^*nch

D65: Buntton Y

LCH*Ma: 90 92 96

olv*Ma: 1.0 1.0 0.0

Dreiecks-Helligkeit t^*



%Umfang

$u^*_{rel} = 93$

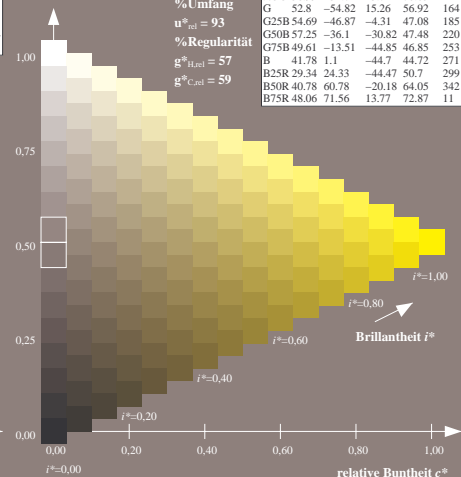
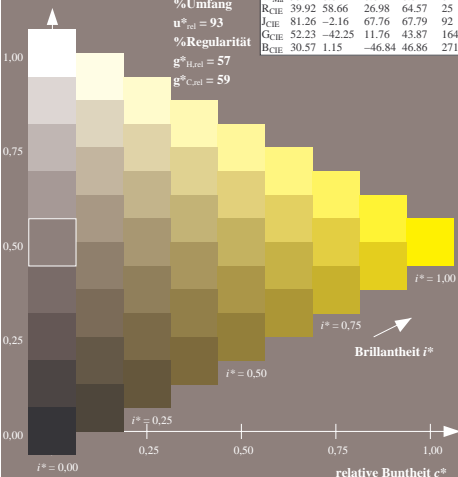
%Regularität

$g^*_{H,rel} = 57$

$g^*_{C,rel} = 59$

ORS18; adaptierte CIELAB-Daten

	$L^*=L^*_a$	a^*_a	b^*_a	$C^*_{ab,a}$	$h^*_{ab,a}$
R	48.0	68.58	31.54	75.48	25
R25J	50.11	61.52	52.63	80.96	41
R50J	62.87	38.77	65.02	75.71	59
R75J	74.87	17.37	76.69	78.63	77
J	86.19	-2.8	87.69	87.73	92
J25G	84.01	-18.73	82.6	84.7	103
J50G	71.17	-35.83	64.13	73.46	119
J75G	56.99	-54.71	43.72	70.05	141
G	52.8	-54.82	15.26	56.92	164
G25B	54.69	-46.87	-4.31	47.08	185
G50B	57.25	-36.1	-30.82	47.48	220
G75B	49.61	-13.51	-44.85	46.85	253
B	41.78	1.1	-44.7	44.72	271
B25R	29.34	24.33	-44.47	50.7	299
B50R	40.78	60.78	-20.18	64.05	342
B75R	48.06	71.56	13.77	72.87	411



ZG620-7N, 9stufige Reihen für konstanten CIELAB Buntton 96/360 = 0.268 (links) Seite 12/60

BAM-Prüfvorlage ZG62; Farbmetrik-Systeme, Seite 12/60

D65: 9 und 16stufige Farbreihen für 10 Bunttöne

ZG620-7N, 16stufige Reihen für konstanten CIELAB Buntton 96/360 = 0.268 (rechts)

Eingabe: $rgb / cmy0$ set($rgb / cmyk$)color

Ausgabe: $\rightarrow cmy0$ set($cmyk$)color

Eingabe: Farbmetrisches Offset-Reflektiv-System ORS18

für Buntton $h^* = lab^*h = 151/360 = 0.419$

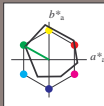
lab^*tch und lab^*nch

D65: Buntton L

LCH*Ma: 51 72 151

olv*Ma: 0.0 1.0 0.0

Dreiecks-Helligkeit t^*



%Umfang

$u^*_{rel} = 93$

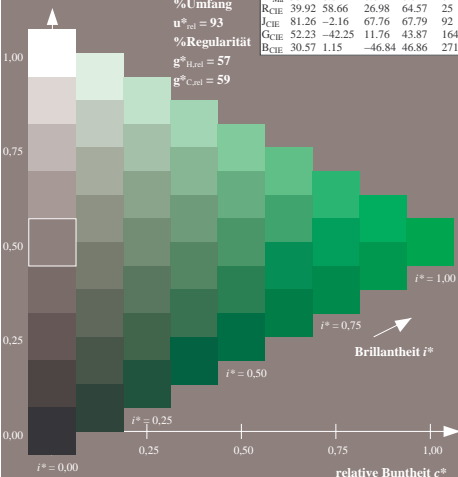
%Regularität

$g^*_{H,rel} = 57$

$g^*_{C,rel} = 59$

ORS18; adaptierte CIELAB-Daten

	$L^*=L^*_a$	a^*_a	b^*_a	$C^*_{ab,a}$	$h^*_{ab,a}$
O _{Ma}	47.94	65.39	50.52	82.63	38
Y _{Ma}	90.37	-10.26	91.75	92.32	96
L _{Ma}	50.9	-62.83	34.96	71.91	151
C _{Ma}	58.62	-30.34	-45.01	54.3	236
V _{Ma}	25.72	31.1	-44.4	54.22	305
M _{Ma}	48.13	75.28	-8.36	75.74	354
N _{Ma}	18.01	0.0	0.0	0.0	0
W _{Ma}	95.41	0.0	0.0	0.0	0
R _{CIE}	39.92	58.66	26.98	64.57	25
J _{CIE}	81.26	-2.16	67.76	67.79	92
G _{CIE}	52.23	-42.25	11.76	43.87	164
B _{CIE}	30.57	1.15	-46.84	46.86	271



Ausgabe: Farbmetrisches Offset-Reflektiv-System ORS18

für Buntton $h^* = lab^*h = 151/360 = 0.419$

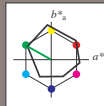
lab^*tch und lab^*nch

D65: Buntton L

LCH*Ma: 51 72 151

olv*Ma: 0.0 1.0 0.0

Dreiecks-Helligkeit t^*



%Umfang

$u^*_{rel} = 93$

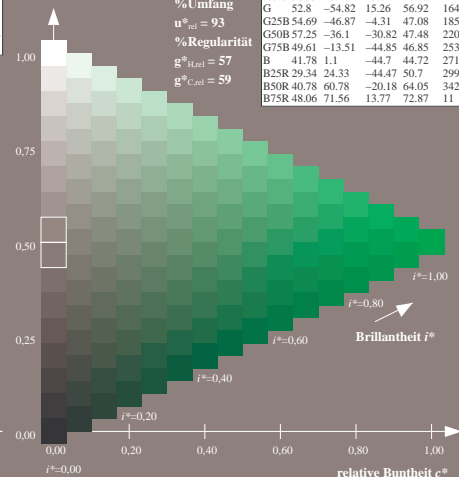
%Regularität

$g^*_{H,rel} = 57$

$g^*_{C,rel} = 59$

ORS18; adaptierte CIELAB-Daten

	$L^*=L^*_a$	a^*_a	b^*_a	$C^*_{ab,a}$	$h^*_{ab,a}$
R	48.0	68.58	31.54	75.48	25
R25J	50.11	61.52	52.63	80.96	41
R50J	62.87	38.77	65.02	75.71	59
R75J	74.87	17.37	76.69	78.63	77
J	86.19	-2.8	87.69	87.73	92
J25G	84.01	-18.73	82.6	84.7	103
J50G	71.17	-35.83	64.13	73.46	119
J75G	56.99	-54.71	43.72	70.05	141
G	52.8	-54.82	15.26	56.92	164
G25B	54.69	-46.87	-4.31	47.08	185
G50B	57.25	-36.1	-30.82	47.48	220
G75B	49.61	-13.51	-44.85	46.85	253
B	41.78	1.1	-44.7	44.72	271
B25R	29.34	24.33	-44.47	50.7	299
B50R	40.78	60.78	-20.18	64.05	342
B75R	48.06	71.56	13.77	72.87	411



ZG620-7N, 9stufige Reihen für konstanten CIELAB Buntton 151/360 = 0.419 (links) Seite 13/60

BAM-Prüfvorlage ZG62; Farbmetrik-Systeme, Seite 13/60

Eingabe: $rgb / cmy0$ set($rgb/cmyk$)color

D65: 9 und 16stufige Farbreihen für 10 Bunttöne

ZG620-7N, 16stufige Reihen für konstanten CIELAB Buntton 151/360 = 0.419 (rechts)

Eingabe: $rgb / cmy0$ set($rgb/cmyk$)color

Ausgabe: $\rightarrow cmy0$ set($cmyk$)color

Eingabe: Farbmetrisches Offset-Reflexiv-System ORS18

für Buntton $h^* = lab^*h = 236/360 = 0.656$

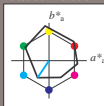
lab^*tch und lab^*nch

D65: Buntton C

LCH*Ma: 59 54 236

olv*Ma: 0.0 1.0 1.0

Dreiecks-Helligkeit t^*



%Umfang

$u^*_{rel} = 93$

%Regularität

$g^*_{H,rel} = 57$

$g^*_{C,rel} = 59$

ORS18; adaptierte CIELAB-Daten

	$L^*=L^*_a$	a^*_a	b^*_a	$C^*_{ab,a}$	$h^*_{ab,a}$
O _{Ma}	47.94	65.39	50.52	82.63	38
Y _{Ma}	90.37	-10.26	91.75	92.32	96
L _{Ma}	50.9	-62.83	34.96	71.91	151
C _{Ma}	58.62	-30.34	-45.01	54.3	236
V _{Ma}	25.72	31.1	-44.4	54.22	305
M _{Ma}	48.13	75.28	-8.36	75.74	354
N _{Ma}	18.01	0.0	0.0	0.0	0
W _{Ma}	95.41	0.0	0.0	0.0	0
R _{CIE}	39.92	58.66	26.98	64.57	25
J _{CIE}	81.26	-2.16	67.76	67.79	92
G _{CIE}	52.23	-42.25	11.76	43.87	164
B _{CIE}	30.57	1.15	-46.84	46.86	271

Ausgabe: Farbmetrisches Offset-Reflexiv-System ORS18

für Buntton $h^* = lab^*h = 236/360 = 0.656$

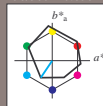
lab^*tch und lab^*nch

D65: Buntton C

LCH*Ma: 59 54 236

olv*Ma: 0.0 1.0 1.0

Dreiecks-Helligkeit t^*



%Umfang

$u^*_{rel} = 93$

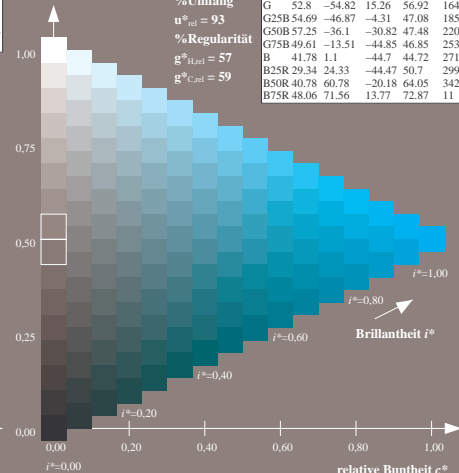
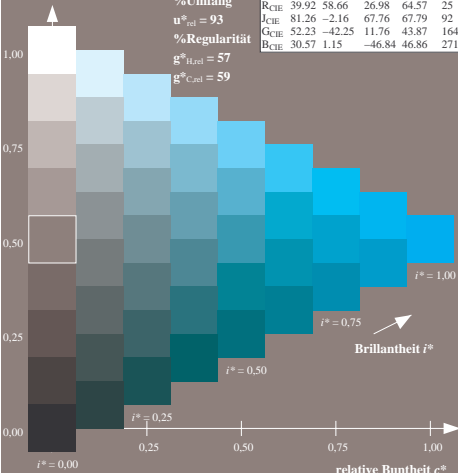
%Regularität

$g^*_{H,rel} = 57$

$g^*_{C,rel} = 59$

ORS18; adaptierte CIELAB-Daten

	$L^*=L^*_a$	a^*_a	b^*_a	$C^*_{ab,a}$	$h^*_{ab,a}$
R	48.0	68.58	31.54	75.48	25
R25J	50.11	61.52	52.63	80.96	41
R50J	62.87	38.77	65.02	75.71	59
R75J	74.87	17.37	76.69	78.63	77
J	86.19	-2.8	87.69	87.73	92
J25G	84.01	-18.73	82.6	84.7	103
J50G	71.17	-35.83	64.13	73.46	119
J75G	56.99	-54.71	43.72	70.05	141
G	52.8	-54.82	15.26	56.92	164
G25B	54.69	-46.87	-4.31	47.08	185
G50B	57.25	-36.1	-30.82	47.48	220
G75B	49.61	-13.51	-44.85	46.85	253
B	41.78	1.1	-44.7	44.72	271
B25R	29.34	24.33	-44.47	50.7	299
B50R	40.78	60.78	-20.18	64.05	342
B75R	48.06	71.56	13.77	72.87	411



ZG620-7N, 9stufige Reihen für konstanten CIELAB Buntton 236/360 = 0.656 (links)

ZG620-7N, 16stufige Reihen für konstanten CIELAB Buntton 236/360 = 0.656 (rechts)

BAM-Prüfvorlage ZG62; Farbmetrik-Systeme, Seite 14/60

D65: 9 und 16stufige Farbreihen für 10 Bunttöne

Eingabe: $rgb / cmy0$ set($rgb/cmyk$)color

Ausgabe: $\rightarrow cmy0^* setcmykcolor$

Eingabe: Farbmetrisches Offset-Reflektiv-System ORS18

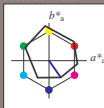
für Buntton $h^* = lab^*h = 305/360 = 0.847$

lab^*tch und lab^*nch

D65: Buntton V

LCH*Ma: 26 54 305

olv*Ma: 0.0 0.0 1.0



Dreiecks-Helligkeit r^*

%Umfang

$u^*_{rel} = 93$

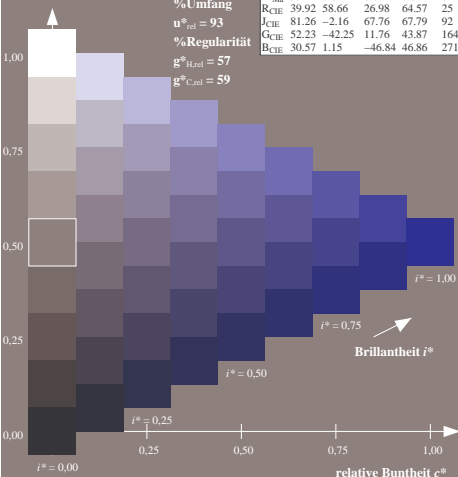
%Regularität

$g^*_{H,rel} = 57$

$g^*_{C,rel} = 59$

ORS18; adaptierte CIELAB-Daten

	$L^*=L^*_a$	a^*_a	b^*_a	$C^*_{ab,a}$	$h^*_{ab,a}$
O _{Ma}	47.94	65.39	50.52	82.63	38
Y _{Ma}	90.37	-10.26	91.75	92.32	96
L _{Ma}	50.9	-62.83	34.96	71.91	151
C _{Ma}	58.62	-30.34	-45.01	54.3	236
V _{Ma}	25.72	31.1	-44.4	54.22	305
M _{Ma}	48.13	75.28	-8.36	75.74	354
N _{Ma}	18.01	0.0	0.0	0.0	0
W _{Ma}	95.41	0.0	0.0	0.0	0
R _{CIE}	39.92	58.66	26.98	64.57	25
J _{CIE}	81.26	-2.16	67.76	67.79	92
G _{CIE}	52.23	-42.25	11.76	43.87	164
B _{CIE}	30.57	1.15	-46.84	46.86	271



ZG620-7N, 9stufige Reihen für konstanten CIELAB Buntton 305/360 = 0.847 (links) Seite 15/60

BAM-Prüfvorlage ZG62; Farbmetrik-Systeme, Seite 15/60

Eingabe: $rgb / cmy0$ set($rgb/cmyk$)color

D65: 9 und 16stufige Farbreihen für 10 Bunttöne

Ausgabe: Farbmetrisches Offset-Reflektiv-System ORS18

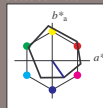
für Buntton $h^* = lab^*h = 305/360 = 0.847$

lab^*tch und lab^*nch

D65: Buntton V

LCH*Ma: 26 54 305

olv*Ma: 0.0 0.0 1.0



Dreiecks-Helligkeit r^*

%Umfang

$u^*_{rel} = 93$

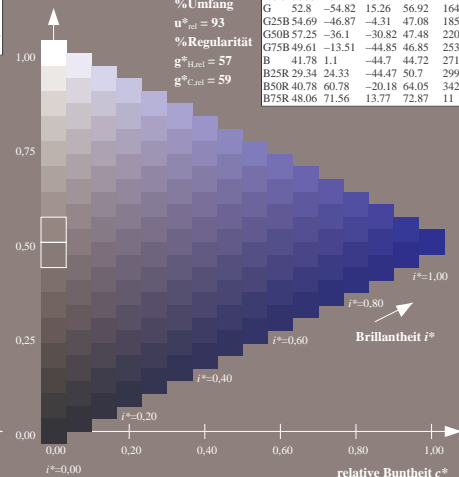
%Regularität

$g^*_{H,rel} = 57$

$g^*_{C,rel} = 59$

ORS18; adaptierte CIELAB-Daten

	$L^*=L^*_a$	a^*_a	b^*_a	$C^*_{ab,a}$	$h^*_{ab,a}$
R	48.0	68.58	31.54	75.48	25
R25J	50.11	61.52	52.63	80.96	41
R50J	62.87	38.77	65.02	75.71	59
R75J	74.87	17.37	76.69	78.63	77
J	86.19	-2.8	87.69	87.73	92
J25G	84.01	-18.73	82.6	84.7	103
J50G	71.17	-35.83	64.13	73.46	119
J75G	56.99	-54.71	43.72	70.05	141
G	52.8	-54.82	15.26	56.92	164
G25B	54.69	-46.87	-4.31	47.08	185
G50B	57.25	-36.1	-30.82	47.48	220
G75B	49.61	-13.51	-44.85	46.85	253
B	41.78	1.1	-44.7	44.72	271
B25R	29.34	24.33	-44.47	50.7	299
B50R	40.78	60.78	-20.18	64.05	342
B75R	48.06	71.56	13.77	72.87	411



ZG620-7N, 16stufige Reihen für konstanten CIELAB Buntton 305/360 = 0.847 (rechts)

BAM-Prüfvorlage ZG62; Farbmetrik-Systeme, Seite 15/60

Eingabe: $rgb / cmy0$ set($rgb/cmyk$)color

Ausgabe: $\rightarrow cmy0$ set($cmyk$)color

Eingabe: Farbmetrisches Offset-Reflektiv-System ORS18

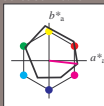
für Buntton $h^* = lab^*h = 354/360 = 0.982$

lab^*tch und lab^*nch

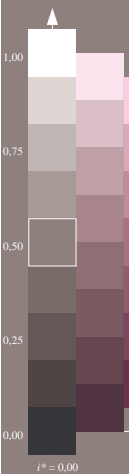
D65: Buntton M

LCH*Ma: 48 76 354

olv*Ma: 1.0 0.0 1.0



Dreiecks-Helligkeit r^*



%Umfang

$u^*_{rel} = 93$

%Regularität

$g^*_{H,rel} = 57$

$g^*_{C,rel} = 59$

ORS18; adaptierte CIELAB-Daten

	$L^*=L^*_a$	a^*_a	b^*_a	$C^*_{ab,a}$	$h^*_{ab,a}$
O _{Ma}	47.94	65.39	50.52	82.63	38
Y _{Ma}	90.37	-10.26	91.75	92.32	96
L _{Ma}	50.9	-62.83	34.96	71.91	151
C _{Ma}	58.62	-30.34	-45.01	54.3	236
V _{Ma}	25.72	31.1	-44.4	54.22	305
M _{Ma}	48.13	75.28	-8.36	75.74	354
N _{Ma}	18.01	0.0	0.0	0	0
W _{Ma}	95.41	0.0	0.0	0.0	0
R _{CIE}	39.92	58.66	26.98	64.57	25
J _{CIE}	81.26	-2.16	67.76	67.79	92
G _{CIE}	52.23	-42.25	11.76	43.87	164
B _{CIE}	30.57	1.15	-46.84	46.86	271

Ausgabe: Farbmetrisches Offset-Reflektiv-System ORS18

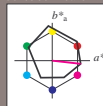
für Buntton $h^* = lab^*h = 354/360 = 0.982$

lab^*tch und lab^*nch

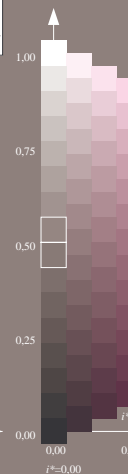
D65: Buntton M

LCH*Ma: 48 76 354

olv*Ma: 1.0 0.0 1.0



Dreiecks-Helligkeit r^*



%Umfang

$u^*_{rel} = 93$

%Regularität

$g^*_{H,rel} = 57$

$g^*_{C,rel} = 59$

ORS18; adaptierte CIELAB-Daten

	$L^*=L^*_a$	a^*_a	b^*_a	$C^*_{ab,a}$	$h^*_{ab,a}$
R	48.0	68.58	31.54	75.48	25
R25J	50.11	61.52	52.63	80.96	41
R50J	62.87	38.77	65.02	75.71	59
R75J	74.87	17.37	76.69	78.63	77
J	86.19	-2.8	87.69	87.73	92
J25G	84.01	-18.73	82.6	84.7	103
J50G	71.17	-35.83	64.13	73.46	119
J75G	56.99	-54.71	43.72	70.05	141
G	52.8	-54.82	15.26	56.92	164
G25B	54.69	-46.87	-4.31	47.08	185
G50B	57.25	-36.1	-30.82	47.48	220
G75B	49.61	-13.51	-44.85	46.85	253
B	41.78	1.1	-44.7	44.72	271
B25R	29.34	24.33	-44.47	50.7	299
B50R	40.78	60.78	-20.18	64.05	342
B75R	48.06	71.56	13.77	72.87	411

ZG620-7N, 9stufige Reihen für konstanten CIELAB Buntton 354/360 = 0.982 (links) Seite 16/60

BAM-Prüfvorlage ZG62; Farbmetrik-Systeme, Seite 16/60
Eingabe: $rgb / cmy0$ set($rgb/cmyk$)color
Ausgabe: $\rightarrow cmy0$ set($cmyk$)color

ZG620-7N, 16stufige Reihen für konstanten CIELAB Buntton 354/360 = 0.982 (rechts)

Eingabe: Farbmetrisches Offset-Reflektiv-System ORS18

für Buntton $h^* = lab^*h = 25/360 = 0.069$

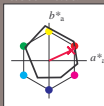
lab^*tch und lab^*nch

D65: Buntton R

LCH*Ma: 48 75 25

olv*Ma: 1.0 0.0 0.32

Dreiecks-Helligkeit t^*



%Umfang

$u^*_{rel} = 93$

%Regularität

$g^*_{H,rel} = 57$

$g^*_{C,rel} = 59$

ORS18; adaptierte CIELAB-Daten

	$L^*=L^*_a$	a^*_a	b^*_a	$C^*_{ab,a}$	$h^*_{ab,a}$
O _{Ma}	47.94	65.39	50.52	82.63	38
Y _{Ma}	90.37	-10.26	91.75	92.32	96
L _{Ma}	50.9	-62.83	34.96	71.91	151
C _{Ma}	58.62	-30.34	-45.01	54.3	236
V _{Ma}	25.72	31.1	-44.4	54.22	305
M _{Ma}	48.13	75.28	-8.36	75.74	354
N _{Ma}	18.01	0.0	0.0	0	0
W _{Ma}	95.41	0.0	0.0	0.0	0
R _{CIE}	39.92	58.66	26.98	64.57	25
J _{CIE}	81.26	-2.16	67.76	67.79	92
G _{CIE}	52.23	-42.25	11.76	43.87	164
B _{CIE}	30.57	1.15	-46.84	46.86	271

Ausgabe: Farbmetrisches Offset-Reflektiv-System ORS18

für Buntton $h^* = lab^*h = 25/360 = 0.069$

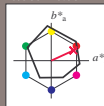
lab^*tch und lab^*nch

D65: Buntton R

LCH*Ma: 48 75 25

olv*Ma: 1.0 0.0 0.32

Dreiecks-Helligkeit t^*



%Umfang

$u^*_{rel} = 93$

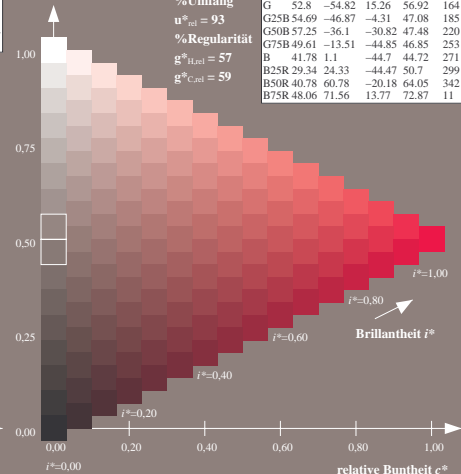
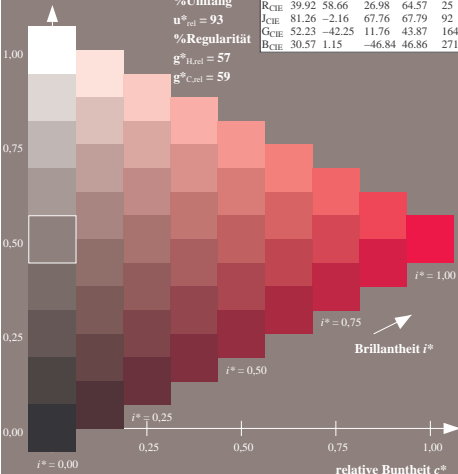
%Regularität

$g^*_{H,rel} = 57$

$g^*_{C,rel} = 59$

ORS18; adaptierte CIELAB-Daten

	$L^*=L^*_a$	a^*_a	b^*_a	$C^*_{ab,a}$	$h^*_{ab,a}$
R	48.0	68.58	31.54	75.48	25
R25J	50.11	61.52	52.63	80.96	41
R50J	62.87	38.77	65.02	75.71	59
R75J	74.87	17.37	76.69	78.63	77
J	86.19	-2.8	87.69	87.73	92
J25G	84.01	-18.73	82.6	84.7	103
J50G	71.17	-35.83	64.13	73.46	119
J75G	56.99	-54.71	43.72	70.05	141
G	52.8	-54.82	15.26	56.92	164
G25B	54.69	-46.87	-4.31	47.08	185
G50B	57.25	-36.1	-30.82	47.48	220
G75B	49.61	-13.51	-44.85	46.85	253
B	41.78	1.1	-44.7	44.72	271
B25R	29.34	24.33	-44.47	50.7	299
B50R	40.78	60.78	-20.18	64.05	342
B75R	48.06	71.56	13.77	72.87	411



ZG620-7N, 9stufige Reihen für konstanten CIELAB Buntton 25/360 = 0.069 (links) Seite 17/60

BAM-Prüfvorlage ZG62; Farbmetrik-Systeme, Seite 17/60

D65: 9 und 16stufige Farbreihen für 10 Bunttöne

ZG620-7N, 16stufige Reihen für konstanten CIELAB Buntton 25/360 = 0.069 (rechts)

Eingabe: $rgb / cmy0\ set(rgb/cmyk)color$

Ausgabe: $\rightarrow cmy0\ setcmykcolor$

Eingabe: Farbmetrisches Offset-Reflektiv-System ORS18

für Buntton $h^* = lab^*h = 92/360 = 0.255$

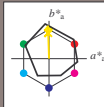
lab^*tch und lab^*nch

D65: Buntton J

LCH*Ma: 86 88 92

olv*Ma: 1.0 0.9 0.0

Dreiecks-Helligkeit t^*



%Umfang

$u^*_{rel} = 93$

%Regularität

$g^*_{H,rel} = 57$

$g^*_{C,rel} = 59$

ORS18; adaptierte CIELAB-Daten

	$L^*=L^*_a$	a^*_a	b^*_a	$C^*_{ab,a}$	$h^*_{ab,a}$
O _{Ma}	47.94	65.39	50.52	82.63	38
Y _{Ma}	90.37	-10.26	91.75	92.32	96
L _{Ma}	50.9	-62.83	34.96	71.91	151
C _{Ma}	58.62	-30.34	-45.01	54.3	236
V _{Ma}	25.72	31.1	-44.4	54.22	305
M _{Ma}	48.13	75.28	-8.36	75.74	354
N _{Ma}	18.01	0.0	0.0	0	0
W _{Ma}	95.41	0.0	0.0	0.0	0
R _{CIE}	39.92	58.66	26.98	64.57	25
J _{CIE}	81.26	-2.16	67.76	67.79	92
G _{CIE}	52.23	-42.25	11.76	43.87	164
B _{CIE}	30.57	1.15	-46.84	46.86	271

Ausgabe: Farbmetrisches Offset-Reflektiv-System ORS18

für Buntton $h^* = lab^*h = 92/360 = 0.255$

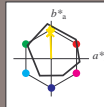
lab^*tch und lab^*nch

D65: Buntton J

LCH*Ma: 86 88 92

olv*Ma: 1.0 0.9 0.0

Dreiecks-Helligkeit t^*



%Umfang

$u^*_{rel} = 93$

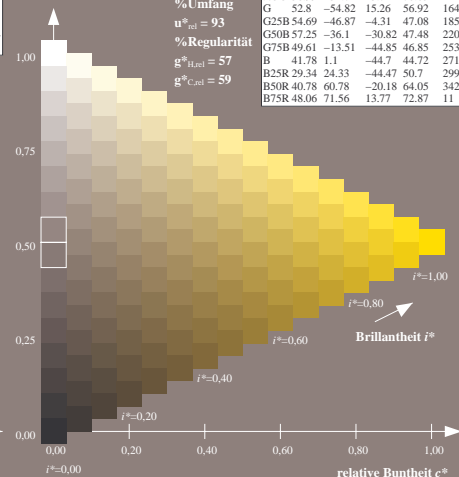
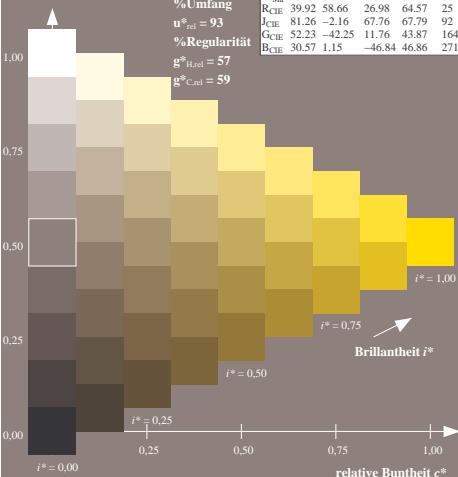
%Regularität

$g^*_{H,rel} = 57$

$g^*_{C,rel} = 59$

ORS18; adaptierte CIELAB-Daten

	$L^*=L^*_a$	a^*_a	b^*_a	$C^*_{ab,a}$	$h^*_{ab,a}$
R	48.0	68.58	31.54	75.48	25
R25J	50.11	61.52	52.63	80.96	41
R50J	62.87	38.77	65.02	75.71	59
R75J	74.87	17.37	76.69	78.63	77
J	86.19	-2.8	87.69	87.73	92
J25G	84.01	-18.73	82.6	84.7	103
J50G	71.17	-35.83	64.13	73.46	119
J75G	56.99	-54.71	43.72	70.05	141
G	52.8	-54.82	15.26	56.92	164
G25B	54.69	-46.87	-4.31	47.08	185
G50B	57.25	-36.1	-30.82	47.48	220
G75B	49.61	-13.51	-44.85	46.85	253
B	41.78	1.1	-44.7	44.72	271
B25R	29.34	24.33	-44.47	50.7	299
B50R	40.78	60.78	-20.18	64.05	342
B75R	48.06	71.56	13.77	72.87	411



ZG620-7N, 9stufige Reihen für konstanten CIELAB Buntton 92/360 = 0.255 (links) Seite 18/60

BAM-Prüfvorlage ZG62; Farbmetrik-Systeme, Seite 18/60 Eingabe: $rgb / cmy0$ set($rgb/cmyk$)color

D65: 9 und 16stufige Farbreihen für 10 Bunttöne

ZG620-7N, 16stufige Reihen für konstanten CIELAB Buntton 92/360 = 0.255 (rechts)

Ausgabe: $\rightarrow cmy0$ set($cmyk$)color

Eingabe: Farbmetrisches Offset-Reflektiv-System ORS18

für Buntton $h^* = lab^*h = 164/360 = 0.457$

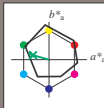
lab^*tch und lab^*nch

D65: Buntton G

LCH*Ma: 53 57 164

olv*Ma: 0.0 1.0 0.25

Dreiecks-Helligkeit t^*



%Umfang

$u^*_{rel} = 93$

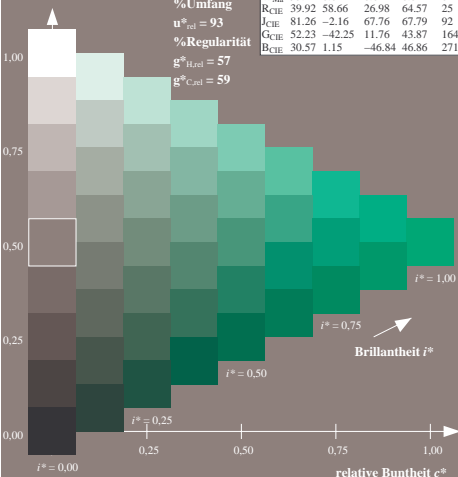
%Regularität

$g^*_{H,rel} = 57$

$g^*_{C,rel} = 59$

ORS18; adaptierte CIELAB-Daten

	$L^*=L^*_a$	a^*_a	b^*_a	$C^*_{ab,a}$	$h^*_{ab,a}$
O _{Ma}	47.94	65.39	50.52	82.63	38
Y _{Ma}	90.37	-10.26	91.75	92.32	96
L _{Ma}	50.9	-62.83	34.96	71.91	151
C _{Ma}	58.62	-30.34	-45.01	54.3	236
V _{Ma}	25.72	31.1	-44.4	54.22	305
M _{Ma}	48.13	75.28	-8.36	75.74	354
N _{Ma}	18.01	0.0	0.0	0.0	0
W _{Ma}	95.41	0.0	0.0	0.0	0
R _{CIE}	39.92	58.66	26.98	64.57	25
J _{CIE}	81.26	-2.16	67.76	67.79	92
G _{CIE}	52.23	-42.25	11.76	43.87	164
B _{CIE}	30.57	1.15	-46.84	46.86	271



Ausgabe: Farbmetrisches Offset-Reflektiv-System ORS18

für Buntton $h^* = lab^*h = 164/360 = 0.457$

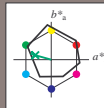
lab^*tch und lab^*nch

D65: Buntton G

LCH*Ma: 53 57 164

olv*Ma: 0.0 1.0 0.25

Dreiecks-Helligkeit t^*



%Umfang

$u^*_{rel} = 93$

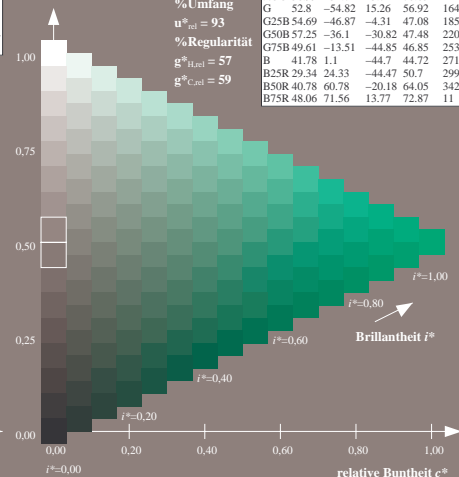
%Regularität

$g^*_{H,rel} = 57$

$g^*_{C,rel} = 59$

ORS18; adaptierte CIELAB-Daten

	$L^*=L^*_a$	a^*_a	b^*_a	$C^*_{ab,a}$	$h^*_{ab,a}$
R	48.0	68.58	31.54	75.48	25
R25J	50.11	61.52	52.63	80.96	41
R50J	62.87	38.77	65.02	75.71	59
R75J	74.87	17.37	76.69	78.63	77
J	86.19	-2.8	87.69	87.73	92
J25G	84.01	-18.73	82.6	84.7	103
J50G	71.17	-35.83	64.13	73.46	119
J75G	56.99	-54.71	43.72	70.05	141
G	52.8	-54.82	15.26	56.92	164
G25B	54.69	-46.87	-4.31	47.08	185
G50B	57.25	-36.1	-30.82	47.48	220
G75B	49.61	-13.51	-44.85	46.85	253
B	41.78	1.1	-44.7	44.72	271
B25R	29.34	24.33	-44.47	50.7	299
B50R	40.78	60.78	-20.18	64.05	342
B75R	48.06	71.56	13.77	72.87	411



ZG620-7N, 9stufige Reihen für konstanten CIELAB Buntton 164/360 = 0.457 (links) Seite 19/60

BAM-Prüfvorlage ZG62; Farbmetrik-Systeme, Seite 19/60 Eingabe: $rgb / cmy0$ set($rgb/cmyk$)color

D65: 9 und 16stufige Farbreihen für 10 Bunttöne

ZG620-7N, 16stufige Reihen für konstanten CIELAB Buntton 164/360 = 0.457 (rechts)

Ausgabe: $\rightarrow cmy0$ set($cmyk$)color

Eingabe: Farbmetrisches Offset-Reflektiv-System ORS18

für Buntton $h^* = lab^*h = 271/360 = 0.754$

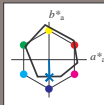
lab^*tch und lab^*nch

D65: Buntton B

LCH*Ma: 42 45 271

olv*Ma: 0.0 0.49 1.0

Dreiecks-Helligkeit t^*



%Umfang

$u^*_{rel} = 93$

%Regularität

$g^*_{H,rel} = 57$

$g^*_{C,rel} = 59$

ORS18; adaptierte CIELAB-Daten

	$L^*=L^*_a$	a^*_a	b^*_a	$C^*_{ab,a}$	$h^*_{ab,a}$
O _{Ma}	47.94	65.39	50.52	82.63	38
Y _{Ma}	90.37	-10.26	91.75	92.32	96
L _{Ma}	50.9	-62.83	34.96	71.91	151
C _{Ma}	58.62	-30.34	-45.01	54.3	236
V _{Ma}	25.72	31.1	-44.4	54.22	305
M _{Ma}	48.13	75.28	-8.36	75.74	354
N _{Ma}	18.01	0.0	0.0	0.0	0
W _{Ma}	95.41	0.0	0.0	0.0	0
R _{CIE}	39.92	58.66	26.98	64.57	25
J _{CIE}	81.26	-2.16	67.76	67.79	92
G _{CIE}	52.23	-42.25	11.76	43.87	164
B _{CIE}	30.57	1.15	-46.84	46.86	271

Ausgabe: Farbmetrisches Offset-Reflektiv-System ORS18

für Buntton $h^* = lab^*h = 271/360 = 0.754$

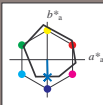
lab^*tch und lab^*nch

D65: Buntton B

LCH*Ma: 42 45 271

olv*Ma: 0.0 0.49 1.0

Dreiecks-Helligkeit t^*



%Umfang

$u^*_{rel} = 93$

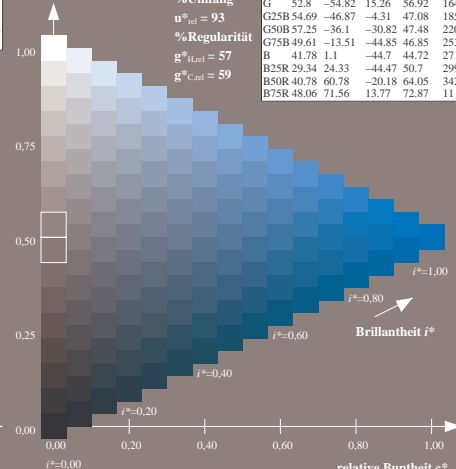
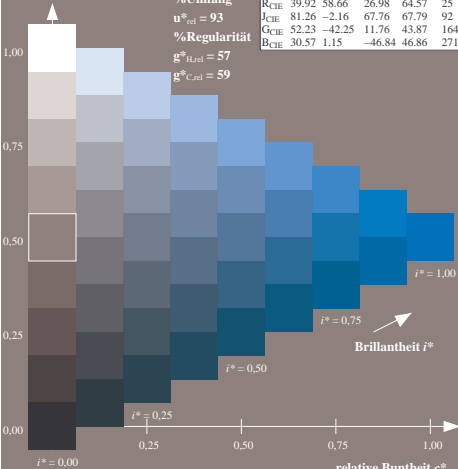
%Regularität

$g^*_{H,rel} = 57$

$g^*_{C,rel} = 59$

ORS18; adaptierte CIELAB-Daten

	$L^*=L^*_a$	a^*_a	b^*_a	$C^*_{ab,a}$	$h^*_{ab,a}$
R	48.0	68.58	31.54	75.48	25
R25J	50.11	61.52	52.63	80.96	41
R50J	62.87	38.77	65.02	75.71	59
R75J	74.87	17.37	76.69	78.63	77
J	86.19	-2.8	87.69	87.73	92
J25G	84.01	-18.73	82.6	84.7	103
J50G	71.17	-35.83	64.13	73.46	119
J75G	56.99	-54.71	43.72	70.05	141
G	52.8	-54.82	15.26	56.92	164
G25B	54.69	-46.87	-4.31	47.08	185
G50B	57.25	-36.1	-30.82	47.48	220
G75B	49.61	-13.51	-44.85	46.85	253
B	41.78	1.1	-44.7	44.72	271
B25R	29.34	24.33	-44.47	50.7	299
B50R	40.78	60.78	-20.18	64.05	342
B75R	48.06	71.56	13.77	72.87	411



ZG620-7N, 9stufige Reihen für konstanten CIELAB Buntton 271/360 = 0.754 (links)

ZG620-7N, 16stufige Reihen für konstanten CIELAB Buntton 271/360 = 0.754 (rechts)

BAM-Prüfvorlage ZG62; Farbmetrik-Systeme, Seite 20/60

Eingabe: $rgb / cmy0$ set($rgb/cmyk$)color

D65: 9 und 16stufige Farbreihen für 10 Bunttöne

Ausgabe: $\rightarrow cmy0^* setcmykcolor$

Siehe ähnliche Dateien: <http://www.ps.bam.de/ZG62/>; www.ps.bam.de/ZG.HTM
Technische Information: <http://www.ps.bam.de> Version 2.1, 10-1.1

BAM-Registrierung: 20071001-ZG62/L62G00N1.PS/.TXT
Anwendung für Beurteilung und Messung von Drucker- oder Monitorsystemen

BAM-Material-Code=na4na

Eingabe: Farbmetrisches Offset-Reflektiv-System ORS18

für Buntton $h^* = lab^*h = 38/360 = 0.105$

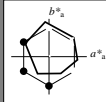
lab^*tch und lab^*nch

D65: Buntton O

LCH*Ma: 48 83 38

olv*Ma: 1.0 0.0 0.0

Dreiecks-Helligkeit t^*



%Umfang

$u^*_{rel} = 93$

%Regularität

$g^*_{H,rel} = 57$

$g^*_{C,rel} = 59$

ORS18; adaptierte CIELAB-Daten

	$L^*=L^*_a$	a^*_a	b^*_a	$C^*_{ab,a}$	$h^*_{ab,a}$
O _{Ma}	47.94	65.39	50.52	82.63	38
Y _{Ma}	90.37	-10.26	91.75	92.32	96
L _{Ma}	50.9	-62.83	34.96	71.91	151
C _{Ma}	58.62	-30.34	-45.01	54.3	236
V _{Ma}	25.72	31.1	-44.4	54.22	305
M _{Ma}	48.13	75.28	-8.36	75.74	354
N _{Ma}	18.01	0.0	0.0	0	0
W _{Ma}	95.41	0.0	0.0	0.0	0
R _{CIE}	39.92	58.66	26.98	64.57	25
J _{CIE}	81.26	-2.16	67.76	67.79	92
G _{CIE}	52.23	-42.25	11.76	43.87	164
B _{CIE}	30.57	1.15	-46.84	46.86	271

Ausgabe: Farbmetrisches Offset-Reflektiv-System ORS18

für Buntton $h^* = lab^*h = 38/360 = 0.105$

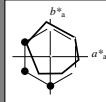
lab^*tch und lab^*nch

D65: Buntton O

LCH*Ma: 48 83 38

olv*Ma: 1.0 0.0 0.0

Dreiecks-Helligkeit t^*



%Umfang

$u^*_{rel} = 93$

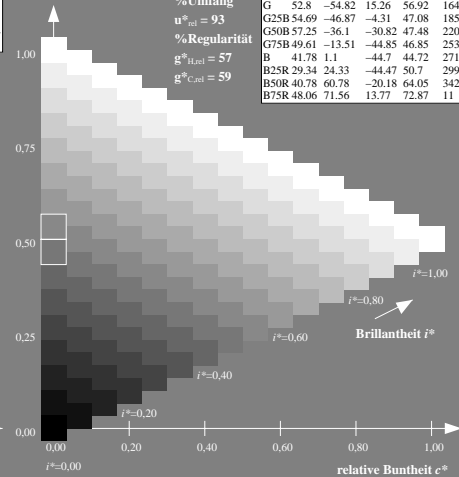
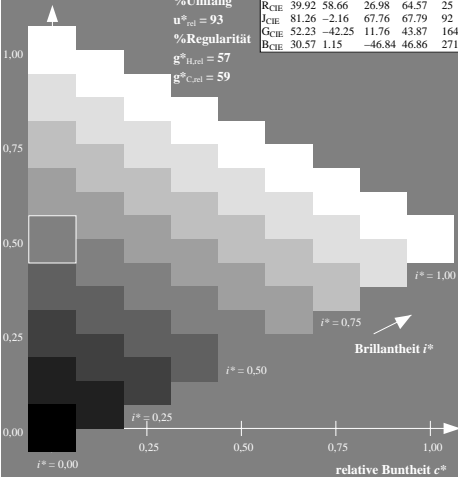
%Regularität

$g^*_{H,rel} = 57$

$g^*_{C,rel} = 59$

ORS18; adaptierte CIELAB-Daten

	$L^*=L^*_a$	a^*_a	b^*_a	$C^*_{ab,a}$	$h^*_{ab,a}$
R	48.0	68.58	31.54	75.48	25
R25J	50.11	61.52	52.63	80.96	41
R50J	62.87	38.77	65.02	75.71	59
R75J	74.87	17.37	76.69	78.63	77
J	86.19	-2.8	87.69	87.73	92
J25G	84.01	-18.73	82.6	84.7	103
J50G	71.17	-35.83	64.13	73.46	119
J75G	56.99	-54.71	43.72	70.05	141
G	52.8	-54.82	15.26	56.92	164
G25B	54.69	-46.87	-4.31	47.08	185
G50B	57.25	-36.1	-30.82	47.48	220
G75B	49.61	-13.51	-44.85	46.85	253
B	41.78	1.1	-44.7	44.72	271
B25R	29.34	24.33	-44.47	50.7	299
B50R	40.78	60.78	-20.18	64.05	342
B75R	48.06	71.56	13.77	72.87	411



ZG620-7N, 9stufige Reihen für konstanten CIELAB Buntton 38/360 = 0.105 (links) Seite 21/60

BAM-Prüfvorlage ZG62; Farbmetrik-Systeme, Seite 21/60 Eingabe: $rgb / cmy0$ set($rgb/cmyk$)color

D65: 9 und 16stufige Farbreihen für 10 Bunttöne

ZG620-7N, 16stufige Reihen für konstanten CIELAB Buntton 38/360 = 0.105 (rechts) c n

Ausgabe: $\rightarrow cmy0$ set($cmyk$)color

Siehe ähnliche Dateien: <http://www.ps.bam.de/ZG62/>; <http://www.ps.bam.de/ZG62/HTM>
Technische Information: <http://www.ps.bam.de> Version 2.1, 10-1.1

BAM-Registrierung: 20071001-ZG62/L62G00N1.PS/.TXT
Anwendung für Beurteilung und Messung von Drucker- oder Monitorsystemen

BAM-Material-Code=na4a

Eingabe: Farbmetrisches Offset-Reflektiv-System ORS18

für Buntton $h^* = lab^*h = 96/360 = 0.268$

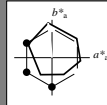
lab^*tch und lab^*nch

D65: Buntton Y

LCH*Ma: 90 92 96

olv*Ma: 1.0 1.0 0.0

Dreiecks-Helligkeit t^*



%Umfang

$u^*_{rel} = 93$

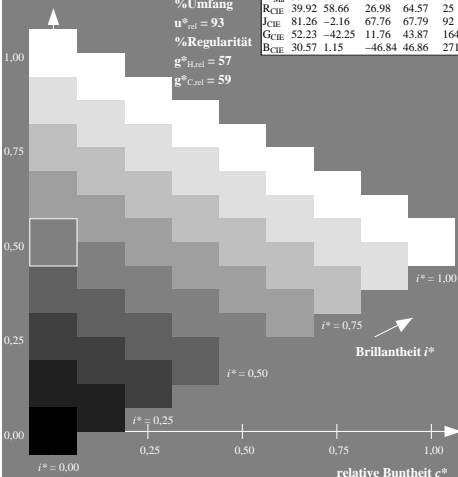
%Regularität

$g^*_{H,rel} = 57$

$g^*_{C,rel} = 59$

ORS18; adaptierte CIELAB-Daten

	$L^*=L^*_a$	a^*_a	b^*_a	$C^*_{ab,a}$	$h^*_{ab,a}$
O _{Ma}	47.94	65.39	50.52	82.63	38
Y _{Ma}	90.37	-10.26	91.75	92.32	96
L _{Ma}	50.9	-62.83	34.96	71.91	151
C _{Ma}	58.62	-30.34	-45.01	54.3	236
V _{Ma}	25.72	31.1	-44.4	54.22	305
M _{Ma}	48.13	75.28	-8.36	75.74	354
N _{Ma}	18.01	0.0	0.0	0.0	0
W _{Ma}	95.41	0.0	0.0	0.0	0
R _{CIE}	39.92	58.66	26.98	64.57	25
J _{CIE}	81.26	-2.16	67.76	67.79	92
G _{CIE}	52.23	-42.25	11.76	43.87	164
B _{CIE}	30.57	1.15	-46.84	46.86	271



ZG620-7N, 9stufige Reihen für konstanten CIELAB Buntton 96/360 = 0.268 (links) Seite 22/60

BAM-Prüfvorlage ZG62; Farbmetrik-Systeme, Seite 22/60

Eingabe: $rgb / cmy0$ set($rgb/cmyk/color$)

D65: 9 und 16stufige Farbreihen für 10 Bunttöne

Ausgabe: Farbmetrisches Offset-Reflektiv-System ORS18

für Buntton $h^* = lab^*h = 96/360 = 0.268$

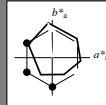
lab^*tch und lab^*nch

D65: Buntton Y

LCH*Ma: 90 92 96

olv*Ma: 1.0 1.0 0.0

Dreiecks-Helligkeit t^*



%Umfang

$u^*_{rel} = 93$

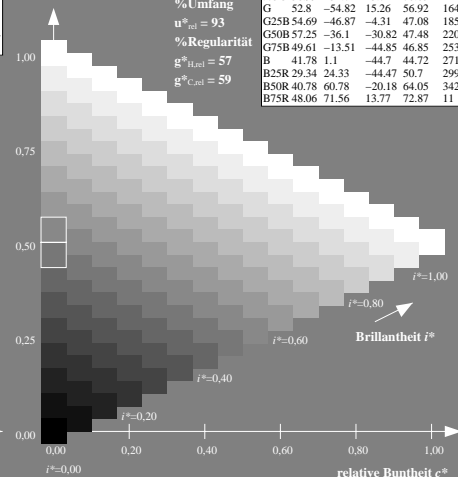
%Regularität

$g^*_{H,rel} = 57$

$g^*_{C,rel} = 59$

ORS18; adaptierte CIELAB-Daten

	$L^*=L^*_a$	a^*_a	b^*_a	$C^*_{ab,a}$	$h^*_{ab,a}$
R	48.0	68.58	31.54	75.48	25
R25J	50.11	61.52	52.63	80.96	41
R50J	62.87	38.77	65.02	75.71	59
R75J	74.87	17.37	76.69	78.63	77
J	86.19	-2.8	87.69	87.73	92
J25G	84.01	-18.73	82.6	84.7	103
J50G	71.17	-35.83	64.13	73.46	119
J75G	56.99	-54.71	43.72	70.05	141
G	52.8	-54.82	15.26	56.92	164
G25B	54.69	-46.87	-4.31	47.08	185
G50B	57.25	-36.1	-30.82	47.48	220
G75B	49.61	-13.51	-44.85	46.85	253
B	41.78	1.1	-44.7	44.72	271
B25R	29.34	24.33	-44.47	50.7	299
B50R	40.78	60.78	-20.18	64.05	342
B75R	48.06	71.56	13.77	72.87	411



ZG620-7N, 16stufige Reihen für konstanten CIELAB Buntton 96/360 = 0.268 (rechts) c n

Eingabe: $rgb / cmy0$ set($rgb/cmyk/color$)

Ausgabe: $\rightarrow cmy0$ set($cmyk/color$)

Eingabe: Farbmetrisches Offset-Reflektiv-System ORS18

für Buntton $h^* = lab^*h = 151/360 = 0.419$

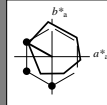
lab^*tch und lab^*nch

D65: Buntton L

LCH*Ma: 51 72 151

olv*Ma: 0.0 1.0 0.0

Dreiecks-Helligkeit i^*



%Umfang

$u^*_{rel} = 93$

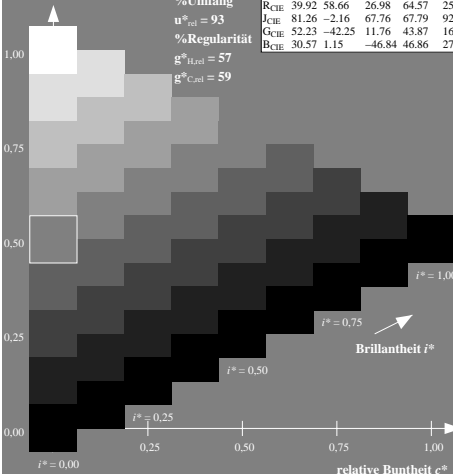
%Regularität

$g^*_{H,rel} = 57$

$g^*_{C,rel} = 59$

ORS18; adaptierte CIELAB-Daten

	$L^*=L^*_a$	a^*_a	b^*_a	$C^*_{ab,a}$	$h^*_{ab,a}$
O _{Ma}	47.94	65.39	50.52	82.63	38
Y _{Ma}	90.37	-10.26	91.75	92.32	96
L _{Ma}	50.9	-62.83	34.96	71.91	151
C _{Ma}	58.62	-30.34	-45.01	54.3	236
V _{Ma}	25.72	31.1	-44.4	54.22	305
M _{Ma}	48.13	75.28	-8.36	75.74	354
N _{Ma}	18.01	0.0	0.0	0	0
W _{Ma}	95.41	0.0	0.0	0.0	0
R _{CIE}	39.92	58.66	26.98	64.57	25
J _{CIE}	81.26	-2.16	67.76	67.79	92
G _{CIE}	52.23	-42.25	11.76	43.87	164
B _{CIE}	30.57	1.15	-46.84	46.86	271



Ausgabe: Farbmetrisches Offset-Reflektiv-System ORS18

für Buntton $h^* = lab^*h = 151/360 = 0.419$

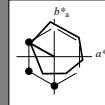
lab^*tch und lab^*nch

D65: Buntton L

LCH*Ma: 51 72 151

olv*Ma: 0.0 1.0 0.0

Dreiecks-Helligkeit i^*



%Umfang

$u^*_{rel} = 93$

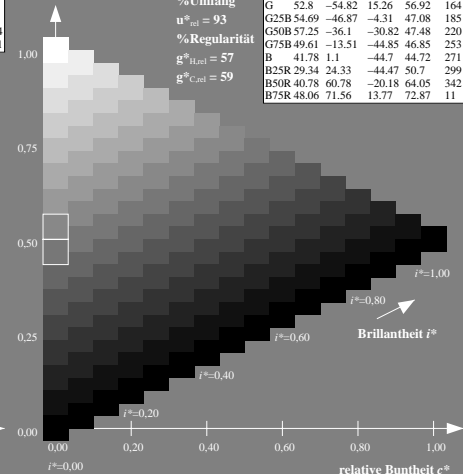
%Regularität

$g^*_{H,rel} = 57$

$g^*_{C,rel} = 59$

ORS18; adaptierte CIELAB-Daten

	$L^*=L^*_a$	a^*_a	b^*_a	$C^*_{ab,a}$	$h^*_{ab,a}$
R	48.0	68.58	31.54	75.48	25
R25J	50.11	61.52	52.63	80.96	41
R50J	62.87	38.77	65.02	75.71	59
R75J	74.87	17.37	76.69	78.63	77
J	86.19	-2.8	87.69	87.73	92
J25G	84.01	-18.73	82.6	84.7	103
J50G	71.17	-35.83	64.13	73.46	119
J75G	56.99	-54.71	43.72	70.05	141
G	52.8	-54.82	15.26	56.92	164
G25B	54.69	-46.87	-4.31	47.08	185
G50B	57.25	-36.1	-30.82	47.48	220
G75B	49.61	-13.51	-44.85	46.85	253
B	41.78	1.1	-44.7	44.72	271
B25R	29.34	24.33	-44.47	50.7	299
B50R	40.78	60.78	-20.18	64.05	342
B75R	48.06	71.56	13.77	72.87	411



ZG620-7N, 9stufige Reihen für konstanten CIELAB Buntton 151/360 = 0.419 (links) Seite 23/60

BAM-Prüfvorlage ZG62; Farbmetrik-Systeme, Seite 23/60

Eingabe: $rgb / cmy0$ set($rgb/cmyk$)color

D65: 9 und 16stufige Farbreihen für 10 Bunttöne

ZG620-7N, 16stufige Reihen für konstanten CIELAB Buntton 151/360 = 0.419 (rechts) c n

Eingabe: $rgb / cmy0$ set($rgb/cmyk$)color

Ausgabe: $\rightarrow cmy0$ set($cmyk$)color

Eingabe: Farbmetrisches Offset-Refektiv-System ORS18

für Buntton $h^* = lab^*h = 236/360 = 0.656$

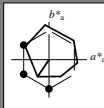
lab^*tch und lab^*nch

D65: Buntton C

LCH*Ma: 59 54 236

olv*Ma: 0.0 1.0 1.0

Dreiecks-Helligkeit i^*



%Umfang

$u^*_{rel} = 93$

%Regularität

$g^*_{H,rel} = 57$

$g^*_{C,rel} = 59$

ORS18; adaptierte CIELAB-Daten

	$L^*=L^*_a$	a^*_a	b^*_a	$C^*_{ab,a}$	$h^*_{ab,a}$
O _{Ma}	47.94	65.39	50.52	82.63	38
Y _{Ma}	90.37	-10.26	91.75	92.32	96
L _{Ma}	50.9	-62.83	34.96	71.91	151
C _{Ma}	58.62	-30.34	-45.01	54.3	236
V _{Ma}	25.72	31.1	-44.4	54.22	305
M _{Ma}	48.13	75.28	-8.36	75.74	354
N _{Ma}	18.01	0.0	0.0	0	0
W _{Ma}	95.41	0.0	0.0	0.0	0
R _{CIE}	39.92	58.66	26.98	64.57	25
J _{CIE}	81.26	-2.16	67.76	67.79	92
G _{CIE}	52.23	-42.25	11.76	43.87	164
B _{CIE}	30.57	1.15	-46.84	46.86	271

Ausgabe: Farbmetrisches Offset-Refektiv-System ORS18

für Buntton $h^* = lab^*h = 236/360 = 0.656$

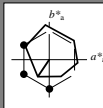
lab^*tch und lab^*nch

D65: Buntton C

LCH*Ma: 59 54 236

olv*Ma: 0.0 1.0 1.0

Dreiecks-Helligkeit i^*



%Umfang

$u^*_{rel} = 93$

%Regularität

$g^*_{H,rel} = 57$

$g^*_{C,rel} = 59$

ORS18; adaptierte CIELAB-Daten

	$L^*=L^*_a$	a^*_a	b^*_a	$C^*_{ab,a}$	$h^*_{ab,a}$
R	48.0	68.58	31.54	75.48	25
R25J	50.11	61.52	52.63	80.96	41
R50J	62.87	38.77	65.02	75.71	59
R75J	74.87	17.37	76.69	78.63	77
J	86.19	-2.8	87.69	87.73	92
J25G	84.01	-18.73	82.6	84.7	103
J50G	71.17	-35.83	64.13	73.46	119
J75G	56.99	-54.71	43.72	70.05	141
G	52.8	-54.82	15.26	56.92	164
G25B	54.69	-46.87	-4.31	47.08	185
G50B	57.25	-36.1	-30.82	47.48	220
G75B	49.61	-13.51	-44.85	46.85	253
B	41.78	1.1	-44.7	44.72	271
B25R	29.34	24.33	-44.47	50.7	299
B50R	40.78	60.78	-20.18	64.05	342
B75R	48.06	71.56	13.77	72.87	411

ZG620-7N, 9stufige Reihen für konstanten CIELAB Buntton 236/360 = 0.656 (links)

BAM-Prüfvorlage ZG62; Farbmetrik-Systeme, Seite 24/60

D65: 9 und 16stufige Farbreihen für 10 Bunttöne

ZG620-7N, 16stufige Reihen für konstanten CIELAB Buntton 236/360 = 0.656 (rechts)

Eingabe: $rgb / cmy0\ set(rgb/cmyk)color$

Ausgabe: $\rightarrow cmy0\ setcmykcolor$

Eingabe: Farbmetrisches Offset-Reflektiv-System ORS18

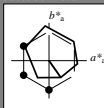
für Buntton $h^* = lab^*h = 305/360 = 0.847$

lab^*tch und lab^*nch

D65: Buntton V

LCH*Ma: 26 54 305

ol*Ma: 0.0 0.0 1.0



Dreiecks-Helligkeit i^*

%Umfang

$u^*_{rel} = 93$

%Regularität

$g^*_{H,rel} = 57$

$g^*_{C,rel} = 59$

ORS18; adaptierte CIELAB-Daten

	$L^*=L^*_a$	a^*_a	b^*_a	$C^*_{ab,a}$	$h^*_{ab,a}$
O _{Ma}	47.94	65.39	50.52	82.63	38
Y _{Ma}	90.37	-10.26	91.75	92.32	96
L _{Ma}	50.9	-62.83	34.96	71.91	151
C _{Ma}	58.62	-30.34	-45.01	54.3	236
V _{Ma}	25.72	31.1	-44.4	54.22	305
M _{Ma}	48.13	75.28	-8.36	75.74	354
N _{Ma}	18.01	0.0	0.0	0	0
W _{Ma}	95.41	0.0	0.0	0.0	0
R _{CIE}	39.92	58.66	26.98	64.57	25
J _{CIE}	81.26	-2.16	67.76	67.79	92
G _{CIE}	52.23	-42.25	11.76	43.87	164
B _{CIE}	30.57	1.15	-46.84	46.86	271

Ausgabe: Farbmetrisches Offset-Reflektiv-System ORS18

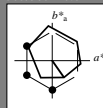
für Buntton $h^* = lab^*h = 305/360 = 0.847$

lab^*tch und lab^*nch

D65: Buntton V

LCH*Ma: 26 54 305

ol*Ma: 0.0 0.0 1.0



Dreiecks-Helligkeit i^*

%Umfang

$u^*_{rel} = 93$

%Regularität

$g^*_{H,rel} = 57$

$g^*_{C,rel} = 59$

ORS18; adaptierte CIELAB-Daten

	$L^*=L^*_a$	a^*_a	b^*_a	$C^*_{ab,a}$	$h^*_{ab,a}$
R	48.0	68.58	31.54	75.48	25
R25J	50.11	61.52	52.63	80.96	41
R50J	62.87	38.77	65.02	75.71	59
R75J	74.87	17.37	76.69	78.63	77
J	86.19	-2.8	87.69	87.73	92
J25G	84.01	-18.73	82.6	84.7	103
J50G	71.17	-35.83	64.13	73.46	119
J75G	56.99	-54.71	43.72	70.05	141
G	52.8	-54.82	15.26	56.92	164
G25B	54.69	-46.87	-4.31	47.08	185
G50B	57.25	-36.1	-30.82	47.48	220
G75B	49.61	-13.51	-44.85	46.85	253
B	41.78	1.1	-44.7	44.72	271
B25R	29.34	24.33	-44.47	50.7	299
B50R	40.78	60.78	-20.18	64.05	342
B75R	48.06	71.56	13.77	72.87	411

ZG620-7N, 9stufige Reihen für konstanten CIELAB Buntton 305/360 = 0.847 (links)

BAM-Prüfvorlage ZG62; Farbmetrik-Systeme, Seite 25/60

D65: 9 und 16stufige Farbreihen für 10 Bunttöne

ZG620-7N, 16stufige Reihen für konstanten CIELAB Buntton 305/360 = 0.847 (rechts)

Eingabe: $rgb / cmy0$ set($rgb/cmyk$)color

Ausgabe: $\rightarrow cmy0$ set($cmyk$)color

Eingabe: Farbmetrisches Offset-Reflektiv-System ORS18

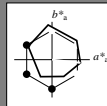
für Buntton $h^* = lab^*h = 354/360 = 0.982$

lab^*tch und lab^*nch

D65: Buntton M

LCH*Ma: 48 76 354

olv*Ma: 1.0 0.0 1.0



Dreiecks-Helligkeit t^*

%Umfang

$u^*_{rel} = 93$

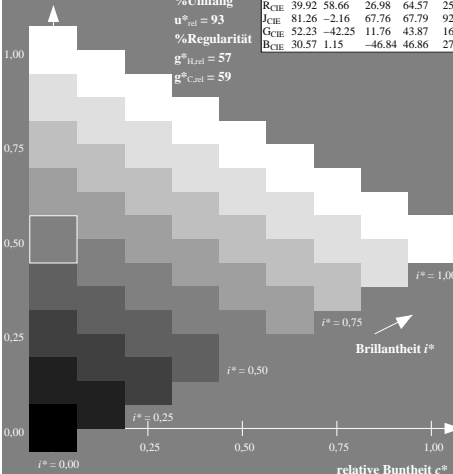
%Regularität

$g^*_{H,rel} = 57$

$g^*_{C,rel} = 59$

ORS18; adaptierte CIELAB-Daten

	$L^*=L^*_a$	a^*_a	b^*_a	$C^*_{ab,a}$	$h^*_{ab,a}$
O _{Ma}	47.94	65.39	50.52	82.63	38
Y _{Ma}	90.37	-10.26	91.75	92.32	96
L _{Ma}	50.9	-62.83	34.96	71.91	151
C _{Ma}	58.62	-30.34	-45.01	54.3	236
V _{Ma}	25.72	31.1	-44.4	54.22	305
M _{Ma}	48.13	75.28	-8.36	75.74	354
N _{Ma}	18.01	0.0	0.0	0.0	0
W _{Ma}	95.41	0.0	0.0	0.0	0
R _{CIE}	39.92	58.66	26.98	64.57	25
J _{CIE}	81.26	-2.16	67.76	67.79	92
G _{CIE}	52.23	-42.25	11.76	43.87	164
B _{CIE}	30.57	1.15	-46.84	46.86	271



ZG620-7N, 9stufige Reihen für konstanten CIELAB Buntton 354/360 = 0.982 (links) Seite 26/60

BAM-Prüfvorlage ZG62; Farbmetrik-Systeme, Seite 26/60

Eingabe: $rgb / cmy0$ set($rgb/cmyk$)color

D65: 9 und 16stufige Farbreihen für 10 Bunttöne

Ausgabe: Farbmetrisches Offset-Reflektiv-System ORS18

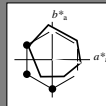
für Buntton $h^* = lab^*h = 354/360 = 0.982$

lab^*tch und lab^*nch

D65: Buntton M

LCH*Ma: 48 76 354

olv*Ma: 1.0 0.0 1.0



Dreiecks-Helligkeit t^*

%Umfang

$u^*_{rel} = 93$

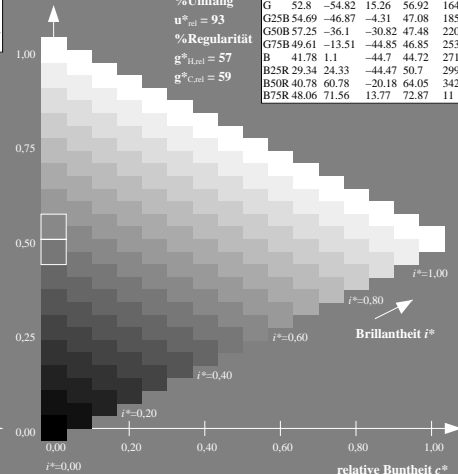
%Regularität

$g^*_{H,rel} = 57$

$g^*_{C,rel} = 59$

ORS18; adaptierte CIELAB-Daten

	$L^*=L^*_a$	a^*_a	b^*_a	$C^*_{ab,a}$	$h^*_{ab,a}$
R	48.0	68.58	31.54	75.48	25
R25J	50.11	61.52	52.63	80.96	41
R50J	62.87	38.77	65.02	75.71	59
R75J	74.87	17.37	76.69	78.63	77
J	86.19	-2.8	87.69	87.73	92
J25G	84.01	-18.73	82.6	84.7	103
J50G	71.17	-35.83	64.13	73.46	119
J75G	56.99	-54.71	43.72	70.05	141
G	52.8	-54.82	15.26	56.92	164
G25B	54.69	-46.87	-4.31	47.08	185
G50B	57.25	-36.1	-30.82	47.48	220
G75B	49.61	-13.51	-44.85	46.85	253
B	41.78	1.1	-44.7	44.72	271
B25R	29.34	24.33	-44.47	50.7	299
B50R	40.78	60.78	-20.18	64.05	342
B75R	48.06	71.56	13.77	72.87	411



ZG620-7N, 16stufige Reihen für konstanten CIELAB Buntton 354/360 = 0.982 (rechts) c n

Eingabe: $rgb / cmy0$ set($rgb/cmyk$)color

Ausgabe: $\rightarrow cmy0$ set($cmyk$)color

Eingabe: Farbmetrisches Offset-Reflektiv-System ORS18

für Buntton $h^* = lab^*h = 25/360 = 0.069$

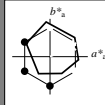
lab^*tch und lab^*nch

D65: Buntton R

LCH*Ma: 48 75 25

olv*Ma: 1.0 0.0 0.32

Dreiecks-Helligkeit i^*



%Umfang

$u^*_{rel} = 93$

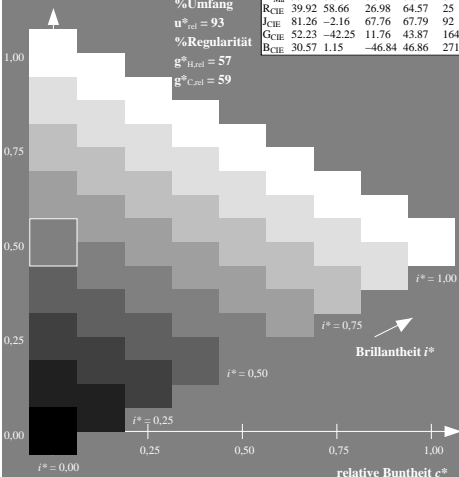
%Regularität

$g^*_{H,rel} = 57$

$g^*_{C,rel} = 59$

ORS18; adaptierte CIELAB-Daten

	$L^*=L^*_a$	a^*_a	b^*_a	$C^*_{ab,a}$	$h^*_{ab,a}$
O _{Ma}	47.94	65.39	50.52	82.63	38
Y _{Ma}	90.37	-10.26	91.75	92.32	96
L _{Ma}	50.9	-62.83	34.96	71.91	151
C _{Ma}	58.62	-30.34	-45.01	54.3	236
V _{Ma}	25.72	31.1	-44.4	54.22	305
M _{Ma}	48.13	75.28	-8.36	75.74	354
N _{Ma}	18.01	0.0	0.0	0.0	0
W _{Ma}	95.41	0.0	0.0	0.0	0
R _{CIE}	39.92	58.66	26.98	64.57	25
J _{CIE}	81.26	-2.16	67.76	67.79	92
G _{CIE}	52.23	-42.25	11.76	43.87	164
B _{CIE}	30.57	1.15	-46.84	46.86	271



ZG620-7N, 9stufige Reihen für konstanten CIELAB Buntton 25/360 = 0.069 (links) Seite 27/60

BAM-Prüfvorlage ZG62; Farbmetrik-Systeme, Seite 27/60

Eingabe: $rgb / cmy0$ set($rgb/cmyk/color$)

D65: 9 und 16stufige Farbreihen für 10 Bunttöne

Ausgabe: Farbmetrisches Offset-Reflektiv-System ORS18

für Buntton $h^* = lab^*h = 25/360 = 0.069$

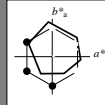
lab^*tch und lab^*nch

D65: Buntton R

LCH*Ma: 48 75 25

olv*Ma: 1.0 0.0 0.32

Dreiecks-Helligkeit i^*



%Umfang

$u^*_{rel} = 93$

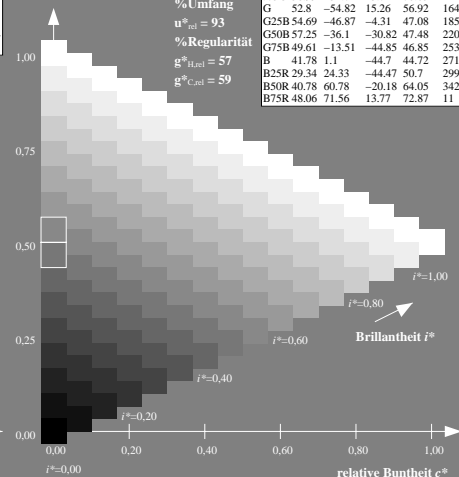
%Regularität

$g^*_{H,rel} = 57$

$g^*_{C,rel} = 59$

ORS18; adaptierte CIELAB-Daten

	$L^*=L^*_a$	a^*_a	b^*_a	$C^*_{ab,a}$	$h^*_{ab,a}$
R	48.0	68.58	31.54	75.48	25
R25J	50.11	61.52	52.63	80.96	41
R50J	62.87	38.77	65.02	75.71	59
R75J	74.87	17.37	76.69	78.63	77
J	86.19	-2.8	87.69	87.73	92
J25G	84.01	-18.73	82.6	84.7	103
J50G	71.17	-35.83	64.13	73.46	119
J75G	56.99	-54.71	43.72	70.05	141
G	52.8	-54.82	15.26	56.92	164
G25B	54.69	-46.87	-4.31	47.08	185
G50B	57.25	-36.1	-30.82	47.48	220
G75B	49.61	-13.51	-44.85	46.85	253
B	41.78	1.1	-44.7	44.72	271
B25R	29.34	24.33	-44.47	50.7	299
B50R	40.78	60.78	-20.18	64.05	342
B75R	48.06	71.56	13.77	72.87	411



ZG620-7N, 16stufige Reihen für konstanten CIELAB Buntton 25/360 = 0.069 (rechts) c n

Eingabe: $rgb / cmy0$ set($rgb/cmyk/color$)

Ausgabe: $\rightarrow cmy0$ set($cmyk/color$)

Eingabe: Farbmetrisches Offset-Reflektiv-System ORS18

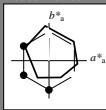
für Buntton $h^* = lab^*h = 92/360 = 0.255$

lab^*tch und lab^*nch

D65: Buntton J

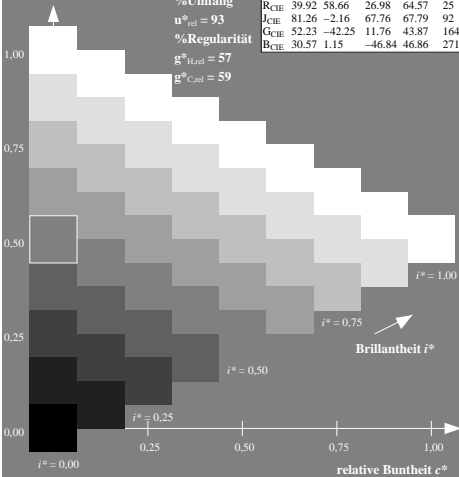
LCH*Ma: 86 88 92

olv*Ma: 1.0 0.9 0.0



Dreiecks-Helligkeit i^*

%Umfang
 $u^*_{rel} = 93$
%Regularität
 $g^*_{H,rel} = 57$
 $g^*_{C,rel} = 59$



ORS18; adaptierte CIELAB-Daten					
	$L^*=L^*_a$	a^*_a	b^*_a	$C^*_{ab,a}$	$h^*_{ab,a}$
O _{Ma}	47.94	65.39	50.52	82.63	38
Y _{Ma}	90.37	-10.26	91.75	92.32	96
L _{Ma}	50.9	-62.83	34.96	71.91	151
C _{Ma}	58.62	-30.34	-45.01	54.3	236
V _{Ma}	25.72	31.1	-44.4	54.22	305
M _{Ma}	48.13	75.28	-8.36	75.74	354
N _{Ma}	18.01	0.0	0.0	0.0	0
W _{Ma}	95.41	0.0	0.0	0.0	0
R _{CIE}	39.92	58.66	26.98	64.57	25
J _{CIE}	81.26	-2.16	67.76	67.79	92
G _{CIE}	52.23	-42.25	11.76	43.87	164
B _{CIE}	30.57	1.15	-46.84	46.86	271

Ausgabe: Farbmetrisches Offset-Reflektiv-System ORS18

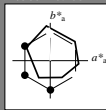
für Buntton $h^* = lab^*h = 92/360 = 0.255$

lab^*tch und lab^*nch

D65: Buntton J

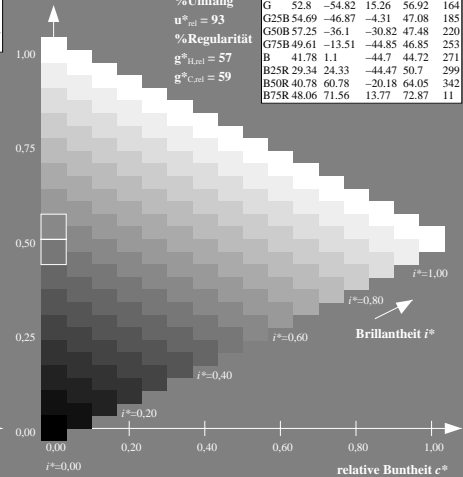
LCH*Ma: 86 88 92

olv*Ma: 1.0 0.9 0.0



Dreiecks-Helligkeit i^*

%Umfang
 $u^*_{rel} = 93$
%Regularität
 $g^*_{H,rel} = 57$
 $g^*_{C,rel} = 59$



ORS18; adaptierte CIELAB-Daten					
	$L^*=L^*_a$	a^*_a	b^*_a	$C^*_{ab,a}$	$h^*_{ab,a}$
R	48.0	68.58	31.54	75.48	25
R25J	50.11	61.52	52.63	80.96	41
R50J	62.87	38.77	65.02	75.71	59
R75J	74.87	17.37	76.69	78.63	77
J	86.19	-2.8	87.69	87.73	92
J25G	84.01	-18.73	82.6	84.7	103
J50G	71.17	-35.83	64.13	73.46	119
J75G	56.99	-54.71	43.72	70.05	141
G	52.8	-54.82	15.26	56.92	164
G25B	54.69	-46.87	-4.31	47.08	185
G50B	57.25	-36.1	-30.82	47.48	220
G75B	49.61	-13.51	-44.85	46.85	253
B	41.78	1.1	-44.7	44.72	271
B25R	29.34	24.33	-44.47	50.7	299
B50R	40.78	60.78	-20.18	64.05	342
B75R	48.06	71.56	13.77	72.87	411

ZG620-7N, 9stufige Reihen für konstanten CIELAB Buntton 92/360 = 0.255 (links) Seite 28/60

BAM-Prüfvorlage ZG62; Farbmetrik-Systeme, Seite 28/60 Eingabe: $rgb / cmy0$ set($rgb/cmyk/color$)
D65: 9 und 16stufige Farbreihen für 10 Bunttöne Ausgabe: $\rightarrow cmy0$ set($cmyk/color$)

ZG620-7N, 16stufige Reihen für konstanten CIELAB Buntton 92/360 = 0.255 (rechts) c n

BAM-Registrierung: 20071001-ZG62/L62G00N1.PS/.TXT
Anwendung für Beurteilung und Messung von Drucker- oder Monitorsystemen
BAM-Material-Code=na4a

Siehe ähnliche Dateien: <http://www.ps.bam.de/ZG62/>; <http://www.ps.bam.de/ZG62.L62G00N1.PS/.TXT>
Technische Information: <http://www.ps.bam.de> Version 2.1, 10-1.1

Eingabe: Farbmetrisches Offset-Reflektiv-System ORS18

für Buntton $h^* = lab^*h = 164/360 = 0.457$

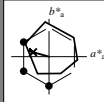
lab^*tch und lab^*nch

D65: Buntton G

LCH*Ma: 53 57 164

olv*Ma: 0.0 1.0 0.25

Dreiecks-Helligkeit i^*



%Umfang

$u^*_{rel} = 93$

%Regularität

$g^*_{H,rel} = 57$

$g^*_{C,rel} = 59$

ORS18; adaptierte CIELAB-Daten

	$L^*=L^*_a$	a^*_a	b^*_a	$C^*_{ab,a}$	$h^*_{ab,a}$
O _{Ma}	47.94	65.39	50.52	82.63	38
Y _{Ma}	90.37	-10.26	91.75	92.32	96
L _{Ma}	50.9	-62.83	34.96	71.91	151
C _{Ma}	58.62	-30.34	-45.01	54.3	236
V _{Ma}	25.72	31.1	-44.4	54.22	305
M _{Ma}	48.13	75.28	-8.36	75.74	354
N _{Ma}	18.01	0.0	0.0	0	0
W _{Ma}	95.41	0.0	0.0	0.0	0
R _{CIE}	39.92	58.66	26.98	64.57	25
J _{CIE}	81.26	-2.16	67.76	67.79	92
G _{CIE}	52.23	-42.25	11.76	43.87	164
B _{CIE}	30.57	1.15	-46.84	46.86	271

Ausgabe: Farbmetrisches Offset-Reflektiv-System ORS18

für Buntton $h^* = lab^*h = 164/360 = 0.457$

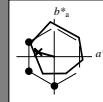
lab^*tch und lab^*nch

D65: Buntton G

LCH*Ma: 53 57 164

olv*Ma: 0.0 1.0 0.25

Dreiecks-Helligkeit i^*



%Umfang

$u^*_{rel} = 93$

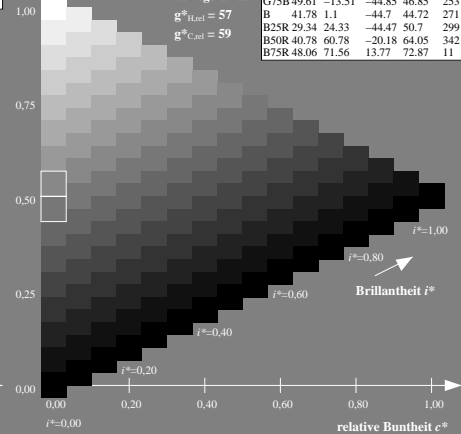
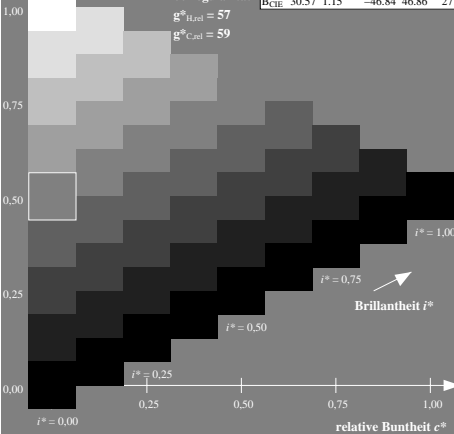
%Regularität

$g^*_{H,rel} = 57$

$g^*_{C,rel} = 59$

ORS18; adaptierte CIELAB-Daten

	$L^*=L^*_a$	a^*_a	b^*_a	$C^*_{ab,a}$	$h^*_{ab,a}$
R	48.0	68.58	31.54	75.48	25
R25J	50.11	61.52	52.63	80.96	41
R50J	62.87	38.77	65.02	75.71	59
R75J	74.87	17.37	76.69	78.63	77
J	86.19	-2.8	87.69	87.73	92
J25G	84.01	-18.73	82.6	84.7	103
J50G	71.17	-35.83	64.13	73.46	119
J75G	56.99	-54.71	43.72	70.05	141
G	52.8	-54.82	15.26	56.92	164
G25B	54.69	-46.87	-4.31	47.08	185
G50B	57.25	-36.1	-30.82	47.48	220
G75B	49.61	-13.51	-44.85	46.85	253
B	41.78	1.1	-44.7	44.72	271
B25R	29.34	24.33	-44.47	50.7	299
B50R	40.78	60.78	-20.18	64.05	342
B75R	48.06	71.56	13.77	72.87	411



ZG620-7N, 9stufige Reihen für konstanten CIELAB Buntton 164/360 = 0.457 (links)

ZG620-7N, 16stufige Reihen für konstanten CIELAB Buntton 164/360 = 0.457 (rechts)

BAM-Prüfvorlage ZG62; Farbmetrik-Systeme, Seite 29/60

Eingabe: $rgb / cmy0\ set(rgb/cmyk)color$

D65: 9 und 16stufige Farbreihen für 10 Bunttöne

Ausgabe: $\rightarrow cmy0\ setcmykcolor$

Eingabe: Farbmetrisches Offset-Reflektiv-System ORS18

für Buntton $h^* = lab^*h = 271/360 = 0.754$

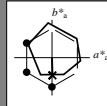
lab^*tch und lab^*nch

D65: Buntton B

LCH*Ma: 42 45 271

olv*Ma: 0.0 0.49 1.0

Dreiecks-Helligkeit i^*



%Umfang

$u^*_{rel} = 93$

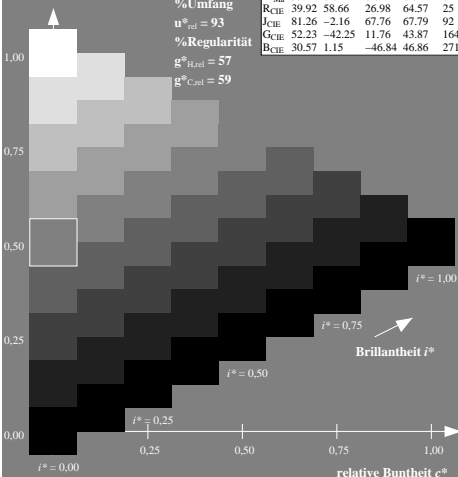
%Regularität

$g^*_{H,rel} = 57$

$g^*_{C,rel} = 59$

ORS18; adaptierte CIELAB-Daten

	$L^*=L^*_a$	a^*_a	b^*_a	$C^*_{ab,a}$	$h^*_{ab,a}$
O _{Ma}	47.94	65.39	50.52	82.63	38
Y _{Ma}	90.37	-10.26	91.75	92.32	96
L _{Ma}	50.9	-62.83	34.96	71.91	151
C _{Ma}	58.62	-30.34	-45.01	54.3	236
V _{Ma}	25.72	31.1	-44.4	54.22	305
M _{Ma}	48.13	75.28	-8.36	75.74	354
N _{Ma}	18.01	0.0	0.0	0	0
W _{Ma}	95.41	0.0	0.0	0.0	0
R _{CIE}	39.92	58.66	26.98	64.57	25
J _{CIE}	81.26	-2.16	67.76	67.79	92
G _{CIE}	52.23	-42.25	11.76	43.87	164
B _{CIE}	30.57	1.15	-46.84	46.86	271



Ausgabe: Farbmetrisches Offset-Reflektiv-System ORS18

für Buntton $h^* = lab^*h = 271/360 = 0.754$

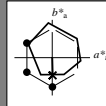
lab^*tch und lab^*nch

D65: Buntton B

LCH*Ma: 42 45 271

olv*Ma: 0.0 0.49 1.0

Dreiecks-Helligkeit i^*



%Umfang

$u^*_{rel} = 93$

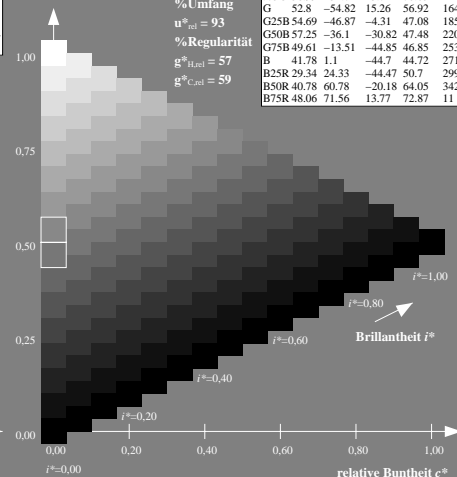
%Regularität

$g^*_{H,rel} = 57$

$g^*_{C,rel} = 59$

ORS18; adaptierte CIELAB-Daten

	$L^*=L^*_a$	a^*_a	b^*_a	$C^*_{ab,a}$	$h^*_{ab,a}$
R	48.0	68.58	31.54	75.48	25
R25J	50.11	61.52	52.63	80.96	41
R50J	62.87	38.77	65.02	75.71	59
R75J	74.87	17.37	76.69	78.63	77
J	86.19	-2.8	87.69	87.73	92
J25G	84.01	-18.73	82.6	84.7	103
J50G	71.17	-35.83	64.13	73.46	119
J75G	56.99	-54.71	43.72	70.05	141
G	52.8	-54.82	15.26	56.92	164
G25B	54.69	-46.87	-4.31	47.08	185
G50B	57.25	-36.1	-30.82	47.48	220
G75B	49.61	-13.51	-44.85	46.85	253
B	41.78	1.1	-44.7	44.72	271
B25R	29.34	24.33	-44.47	50.7	299
B50R	40.78	60.78	-20.18	64.05	342
B75R	48.06	71.56	13.77	72.87	411



ZG620-7N, 9stufige Reihen für konstanten CIELAB Buntton 271/360 = 0.754 (links) Seite 30/60

BAM-Prüfvorlage ZG62; Farbmetrik-Systeme, Seite 30/60

D65: 9 und 16stufige Farbreihen für 10 Bunttöne

ZG620-7N, 16stufige Reihen für konstanten CIELAB Buntton 271/360 = 0.754 (rechts) c n

Eingabe: $rgb / cmy0\ set(rgb/cmyk)color$

Ausgabe: $\rightarrow cmy0\ set(cmyk)color$

Eingabe: Farbmetrisches Offset-Reflektiv-System ORS18

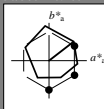
für Buntton $h^* = lab^*h = 38/360 = 0.105$

lab^*tch und lab^*nch

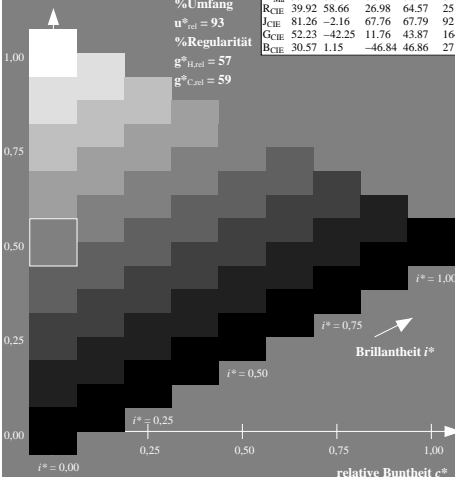
D65: Buntton O

LCH*Ma: 48 83 38

olv*Ma: 1.0 0.0 0.0



Dreiecks-Helligkeit r^*



ORS18; adaptierte CIELAB-Daten

	$L^*=L_a^*$	a^*_a	b^*_a	$C^*_{ab,a}$	$h^*_{ab,a}$
O _{Ma}	47.94	65.39	50.52	82.63	38
Y _{Ma}	90.37	-10.26	91.75	92.32	96
L _{Ma}	50.9	-62.83	34.96	71.91	151
C _{Ma}	58.62	-30.34	-45.01	54.3	236
V _{Ma}	25.72	31.1	-44.4	54.22	305
M _{Ma}	48.13	75.28	-8.36	75.74	354
N _{Ma}	18.01	0.0	0.0	0	0
W _{Ma}	95.41	0.0	0.0	0.0	0
R _{CIE}	39.92	58.66	26.98	64.57	25
J _{CIE}	81.26	-2.16	67.76	67.79	92
G _{CIE}	52.23	-42.25	11.76	43.87	164
B _{CIE}	30.57	1.15	-46.84	46.86	271

Ausgabe: Farbmetrisches Offset-Reflektiv-System ORS18

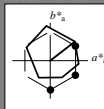
für Buntton $h^* = lab^*h = 38/360 = 0.105$

lab^*tch und lab^*nch

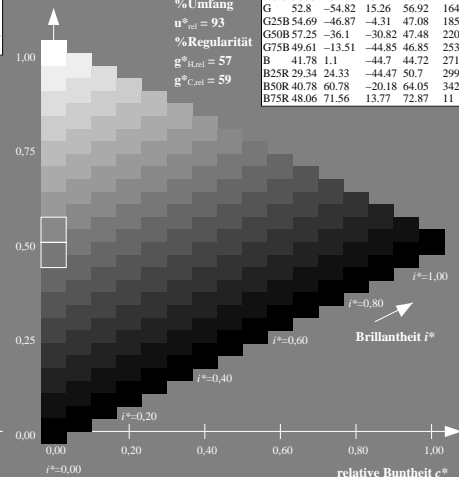
D65: Buntton O

LCH*Ma: 48 83 38

olv*Ma: 1.0 0.0 0.0



Dreiecks-Helligkeit r^*



ORS18; adaptierte CIELAB-Daten

	$L^*=L_a^*$	a^*_a	b^*_a	$C^*_{ab,a}$	$h^*_{ab,a}$
R	48.0	68.58	31.54	75.48	25
R25J	50.11	61.52	52.63	80.96	41
R50J	62.87	38.77	65.02	75.71	59
R75J	74.87	17.37	76.69	78.63	77
J	86.19	-2.8	87.69	87.73	92
J25G	84.01	-18.73	82.6	84.7	103
J50G	71.17	-35.83	64.13	73.46	119
J75G	56.99	-54.71	43.72	70.05	141
G	52.8	-54.82	15.26	56.92	164
G25B	54.69	-46.87	-4.31	47.08	185
G50B	57.25	-36.1	-30.82	47.48	220
G75B	49.61	-13.51	-44.85	46.85	253
B	41.78	1.1	-44.7	44.72	271
B25R	29.34	24.33	-44.47	50.7	299
B50R	40.78	60.78	-20.18	64.05	342
B75R	48.06	71.56	13.77	72.87	411

ZG620-7N, 9stufige Reihen für konstanten CIELAB Buntton 38/360 = 0.105 (links) Seite 31/60

BAM-Prüfvorlage ZG62; Farbmetrik-Systeme, Seite 31/60 Eingabe: $rgb / cmy0$ set($rgb/cmykcolor$)
D65: 9 und 16stufige Farbreihen für 10 Bunttöne

ZG620-7N, 16stufige Reihen für konstanten CIELAB Buntton 38/360 = 0.105 (rechts) m n

Ausgabe: $\rightarrow cmy0$ set($cmykcolor$)

Eingabe: Farbmetrisches Offset-Reflektiv-System ORS18

für Buntton $h^* = lab^*h = 96/360 = 0.268$

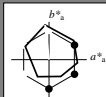
lab^*tch und lab^*nch

D65: Buntton Y

LCH*Ma: 90 92 96

olv*Ma: 1.0 1.0 0.0

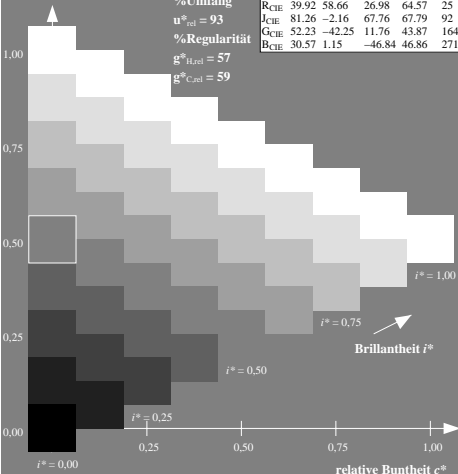
Dreiecks-Helligkeit t^*



%Umfang
 $u^*_{rel} = 93$
%Regularität
 $g^*_{H,rel} = 57$
 $g^*_{C,rel} = 59$

ORS18; adaptierte CIELAB-Daten

	$L^*=L^*_a$	a^*_a	b^*_a	$C^*_{ab,a}$	$h^*_{ab,a}$
O _{Ma}	47.94	65.39	50.52	82.63	38
Y _{Ma}	90.37	-10.26	91.75	92.32	96
L _{Ma}	50.9	-62.83	34.96	71.91	151
C _{Ma}	58.62	-30.34	-45.01	54.3	236
V _{Ma}	25.72	31.1	-44.4	54.22	305
M _{Ma}	48.13	75.28	-8.36	75.74	354
N _{Ma}	18.01	0.0	0.0	0	0
W _{Ma}	95.41	0.0	0.0	0.0	0
R _{CIE}	39.92	58.66	26.98	64.57	25
J _{CIE}	81.26	-2.16	67.76	67.79	92
G _{CIE}	52.23	-42.25	11.76	43.87	164
B _{CIE}	30.57	1.15	-46.84	46.86	271



ZG620-7N, 9stufige Reihen für konstanten CIELAB Buntton 96/360 = 0.268 (links) Seite 32/60

BAM-Prüfvorlage ZG62; Farbmetrik-Systeme, Seite 32/60

D65: 9 und 16stufige Farbreihen für 10 Bunttöne

Ausgabe: Farbmetrisches Offset-Reflektiv-System ORS18

für Buntton $h^* = lab^*h = 96/360 = 0.268$

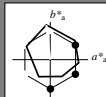
lab^*tch und lab^*nch

D65: Buntton Y

LCH*Ma: 90 92 96

olv*Ma: 1.0 1.0 0.0

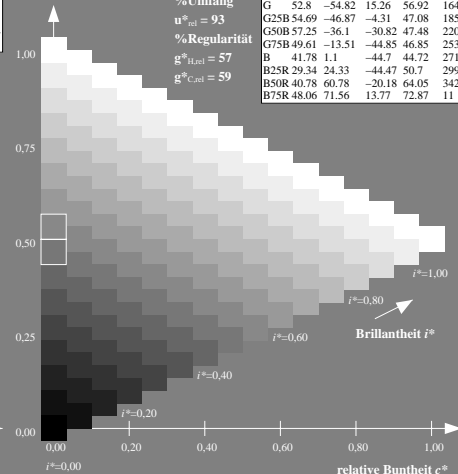
Dreiecks-Helligkeit t^*



%Umfang
 $u^*_{rel} = 93$
%Regularität
 $g^*_{H,rel} = 57$
 $g^*_{C,rel} = 59$

ORS18; adaptierte CIELAB-Daten

	$L^*=L^*_a$	a^*_a	b^*_a	$C^*_{ab,a}$	$h^*_{ab,a}$
R	48.0	68.58	31.54	75.48	25
R25J	50.11	61.52	52.63	80.96	41
R50J	62.87	38.77	65.02	75.71	59
R75J	74.87	17.37	76.69	78.63	77
J	86.19	-2.8	87.69	87.73	92
J25G	84.01	-18.73	82.6	84.7	103
J50G	71.17	-35.83	64.13	73.46	119
J75G	56.99	-54.71	43.72	70.05	141
G	52.8	-54.82	15.26	56.92	164
G25B	54.69	-46.87	-4.31	47.08	185
G50B	57.25	-36.1	-30.82	47.48	220
G75B	49.61	-13.51	-44.85	46.85	253
B	41.78	1.1	-44.7	44.72	271
B25R	29.34	24.33	-44.47	50.7	299
B50R	40.78	60.78	-20.18	64.05	342
B75R	48.06	71.56	13.77	72.87	411



ZG620-7N, 16stufige Reihen für konstanten CIELAB Buntton 96/360 = 0.268 (rechts) m n

Eingabe: $rgb / cmy0$ set($rgb/cmyk$)color

Ausgabe: $\rightarrow cmy0$ set($cmyk$)color

Eingabe: Farbmetrisches Offset-Reflektiv-System ORS18

für Buntton $h^* = lab^*h = 151/360 = 0.419$

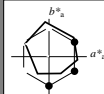
lab^*tch und lab^*nch

D65: Buntton L

LCH*Ma: 51 72 151

olv*Ma: 0.0 1.0 0.0

Dreiecks-Helligkeit t^*



%Umfang

$u^*_{rel} = 93$

%Regularität

$g^*_{H,rel} = 57$

$g^*_{C,rel} = 59$

ORS18; adaptierte CIELAB-Daten

	$L^*=L^*_a$	a^*_a	b^*_a	$C^*_{ab,a}$	$h^*_{ab,a}$
O _{Ma}	47.94	65.39	50.52	82.63	38
Y _{Ma}	90.37	-10.26	91.75	92.32	96
L _{Ma}	50.9	-62.83	34.96	71.91	151
C _{Ma}	58.62	-30.34	-45.01	54.3	236
V _{Ma}	25.72	31.1	-44.4	54.22	305
M _{Ma}	48.13	75.28	-8.36	75.74	354
N _{Ma}	18.01	0.0	0.0	0	0
W _{Ma}	95.41	0.0	0.0	0.0	0
R _{CIE}	39.92	58.66	26.98	64.57	25
J _{CIE}	81.26	-2.16	67.76	67.79	92
G _{CIE}	52.23	-42.25	11.76	43.87	164
B _{CIE}	30.57	1.15	-46.84	46.86	271

Ausgabe: Farbmetrisches Offset-Reflektiv-System ORS18

für Buntton $h^* = lab^*h = 151/360 = 0.419$

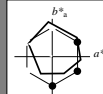
lab^*tch und lab^*nch

D65: Buntton L

LCH*Ma: 51 72 151

olv*Ma: 0.0 1.0 0.0

Dreiecks-Helligkeit t^*



%Umfang

$u^*_{rel} = 93$

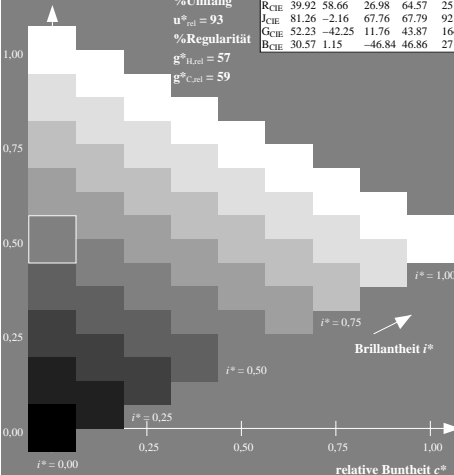
%Regularität

$g^*_{H,rel} = 57$

$g^*_{C,rel} = 59$

ORS18; adaptierte CIELAB-Daten

	$L^*=L^*_a$	a^*_a	b^*_a	$C^*_{ab,a}$	$h^*_{ab,a}$
R	48.0	68.58	31.54	75.48	25
R25J	50.11	61.52	52.63	80.96	41
R50J	62.87	38.77	65.02	75.71	59
R75J	74.87	17.37	76.69	78.63	77
J	86.19	-2.8	87.69	87.73	92
J25G	84.01	-18.73	82.6	84.7	103
J50G	71.17	-35.83	64.13	73.46	119
J75G	56.99	-54.71	43.72	70.05	141
G	52.8	-54.82	15.26	56.92	164
G25B	54.69	-46.87	-4.31	47.08	185
G50B	57.25	-36.1	-30.82	47.48	220
G75B	49.61	-13.51	-44.85	46.85	253
B	41.78	1.1	-44.7	44.72	271
B25R	29.34	24.33	-44.47	50.7	299
B50R	40.78	60.78	-20.18	64.05	342
B75R	48.06	71.56	13.77	72.87	411

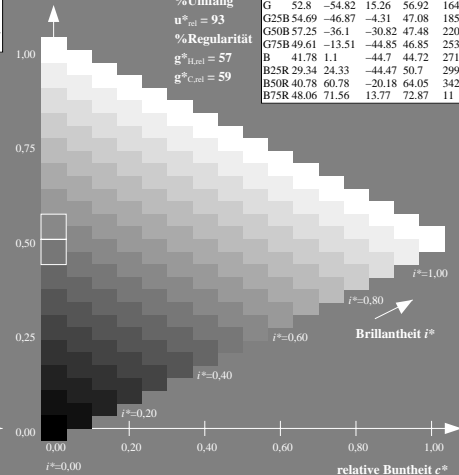


ZG620-7N, 9stufige Reihen für konstanten CIELAB Buntton 151/360 = 0.419 (links) Seite 33/60

BAM-Prüfvorlage ZG62; Farbmetrik-Systeme, Seite 33/60

Eingabe: $rgb / cmy0$ set($rgb/cmyk/color$)

D65: 9 und 16stufige Farbreihen für 10 Bunttöne



ZG620-7N, 16stufige Reihen für konstanten CIELAB Buntton 151/360 = 0.419 (rechts) m n

Eingabe: $rgb / cmy0$ set($rgb/cmyk/color$)

Ausgabe: $\rightarrow cmy0$ set($cmyk/color$)

Eingabe: Farbmetrisches Offset-Reflektiv-System ORS18

für Buntton $h^* = lab^*h = 236/360 = 0.656$

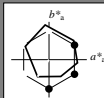
lab^*tch und lab^*nch

D65: Buntton C

LCH*Ma: 59 54 236

olv*Ma: 0.0 1.0 1.0

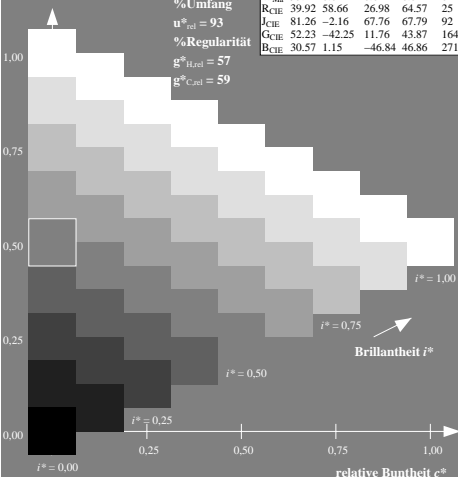
Dreiecks-Helligkeit i^*



%Umfang
 $u^*_{rel} = 93$
%Regularität
 $g^*_{H,rel} = 57$
 $g^*_{C,rel} = 59$

ORS18; adaptierte CIELAB-Daten

	$L^*=L^*_a$	a^*_a	b^*_a	$C^*_{ab,a}$	$h^*_{ab,a}$
O _{Ma}	47.94	65.39	50.52	82.63	38
Y _{Ma}	90.37	-10.26	91.75	92.32	96
L _{Ma}	50.9	-62.83	34.96	71.91	151
C _{Ma}	58.62	-30.34	-45.01	54.3	236
V _{Ma}	25.72	31.1	-44.4	54.22	305
M _{Ma}	48.13	75.28	-8.36	75.74	354
N _{Ma}	18.01	0.0	0.0	0	0
W _{Ma}	95.41	0.0	0.0	0.0	0
R _{CIE}	39.92	58.66	26.98	64.57	25
J _{CIE}	81.26	-2.16	67.76	67.79	92
G _{CIE}	52.23	-42.25	11.76	43.87	164
B _{CIE}	30.57	1.15	-46.84	46.86	271



Ausgabe: Farbmetrisches Offset-Reflektiv-System ORS18

für Buntton $h^* = lab^*h = 236/360 = 0.656$

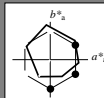
lab^*tch und lab^*nch

D65: Buntton C

LCH*Ma: 59 54 236

olv*Ma: 0.0 1.0 1.0

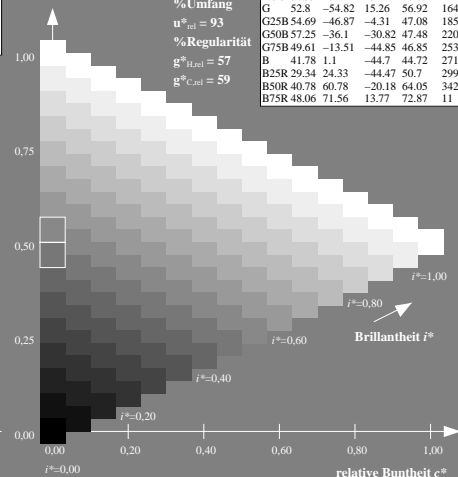
Dreiecks-Helligkeit i^*



%Umfang
 $u^*_{rel} = 93$
%Regularität
 $g^*_{H,rel} = 57$
 $g^*_{C,rel} = 59$

ORS18; adaptierte CIELAB-Daten

	$L^*=L^*_a$	a^*_a	b^*_a	$C^*_{ab,a}$	$h^*_{ab,a}$
R	48.0	68.58	31.54	75.48	25
R25J	50.11	61.52	52.63	80.96	41
R50J	62.87	38.77	65.02	75.71	59
R75J	74.87	17.37	76.69	78.63	77
J	86.19	-2.8	87.69	87.73	92
J25G	84.01	-18.73	82.6	84.7	103
J50G	71.17	-35.83	64.13	73.46	119
J75G	56.99	-54.71	43.72	70.05	141
G	52.8	-54.82	15.26	56.92	164
G25B	54.69	-46.87	-4.31	47.08	185
G50B	57.25	-36.1	-30.82	47.48	220
G75B	49.61	-13.51	-44.85	46.85	253
B	41.78	1.1	-44.7	44.72	271
B25R	29.34	24.33	-44.47	50.7	299
B50R	40.78	60.78	-20.18	64.05	342
B75R	48.06	71.56	13.77	72.87	411



ZG620-7N, 9stufige Reihen für konstanten CIELAB Buntton 236/360 = 0.656 (links)

BAM-Prüfvorlage ZG62; Farbmetrik-Systeme, Seite 34/60

D65: 9 und 16stufige Farbreihen für 10 Bunttöne

ZG620-7N, 16stufige Reihen für konstanten CIELAB Buntton 236/360 = 0.656 (rechts)

Eingabe: $rgb / cmy0$ set($rgb/cmyk$)color

Ausgabe: $\rightarrow cmy0$ set($cmyk$)color

Eingabe: Farbmetrisches Offset-Reflektiv-System ORS18

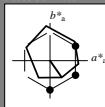
für Buntton $h^* = lab^*h = 305/360 = 0.847$

lab^*tch und lab^*nch

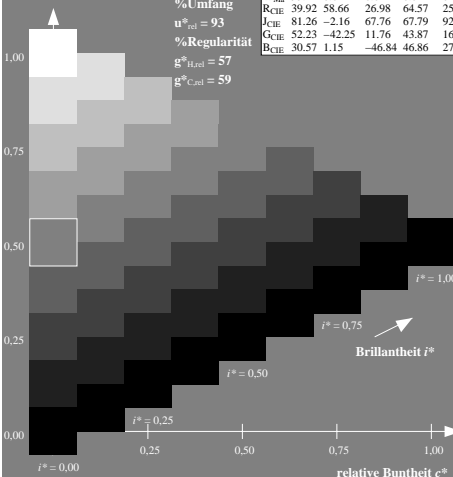
D65: Buntton V

LCH*Ma: 26 54 305

olv*Ma: 0.0 0.0 1.0



Dreiecks-Helligkeit t^*



%Umfang
 $u^*_{rel} = 93$
%Regularität
 $g^*_{H,rel} = 57$
 $g^*_{C,rel} = 59$

ORS18; adaptierte CIELAB-Daten

	$L^* = L^*_a$	a^*_a	b^*_a	$C^*_{ab,a}$	$h^*_{ab,a}$
O _{Ma}	47.94	65.39	50.52	82.63	38
Y _{Ma}	90.37	-10.26	91.75	92.32	96
L _{Ma}	50.9	-62.83	34.96	71.91	151
C _{Ma}	58.62	-30.34	-45.01	54.3	236
V _{Ma}	25.72	31.1	-44.4	54.22	305
M _{Ma}	48.13	75.28	-8.36	75.74	354
N _{Ma}	18.01	0.0	0.0	0	0
W _{Ma}	95.41	0.0	0.0	0.0	0
R _{CIE}	39.92	58.66	26.98	64.57	25
J _{CIE}	81.26	-2.16	67.76	67.79	92
G _{CIE}	52.23	-42.25	11.76	43.87	164
B _{CIE}	30.57	1.15	-46.84	46.86	271

Ausgabe: Farbmetrisches Offset-Reflektiv-System ORS18

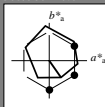
für Buntton $h^* = lab^*h = 305/360 = 0.847$

lab^*tch und lab^*nch

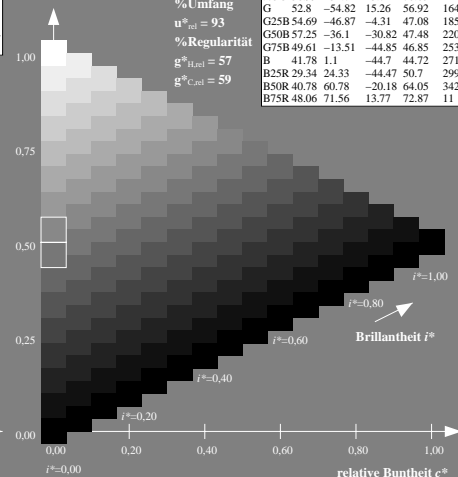
D65: Buntton V

LCH*Ma: 26 54 305

olv*Ma: 0.0 0.0 1.0



Dreiecks-Helligkeit t^*



%Umfang
 $u^*_{rel} = 93$
%Regularität
 $g^*_{H,rel} = 57$
 $g^*_{C,rel} = 59$

ORS18; adaptierte CIELAB-Daten

	$L^* = L^*_a$	a^*_a	b^*_a	$C^*_{ab,a}$	$h^*_{ab,a}$
R	48.0	68.58	31.54	75.48	25
R25J	50.11	61.52	52.63	80.96	41
R50J	62.87	38.77	65.02	75.71	59
R75J	74.87	17.37	76.69	78.63	77
J	86.19	-2.8	87.69	87.73	92
J25G	84.01	-18.73	82.6	84.7	103
J50G	71.17	-35.83	64.13	73.46	119
J75G	56.99	-54.71	43.72	70.05	141
G	52.8	-54.82	15.26	56.92	164
G25B	54.69	-46.87	-4.31	47.08	185
G50B	57.25	-36.1	-30.82	47.48	220
G75B	49.61	-13.51	-44.85	46.85	253
B	41.78	1.1	-44.7	44.72	271
B25R	29.34	24.33	-44.47	50.7	299
B50R	40.78	60.78	-20.18	64.05	342
B75R	48.06	71.56	13.77	72.87	411

ZG620-7N, 9stufige Reihen für konstanten CIELAB Buntton 305/360 = 0.847 (links)

BAM-Prüfvorlage ZG62; Farbmetrik-Systeme, Seite 35/60
Eingabe: $rgb / cmy0$ set($rgb/cmyk$)color
Ausgabe: $\rightarrow cmy0^* setcmykcolor$

ZG620-7N, 16stufige Reihen für konstanten CIELAB Buntton 305/360 = 0.847 (rechts)

Siehe ähnliche Dateien: <http://www.ps.bam.de/ZG62/>; <http://www.ps.bam.de/ZG62.HTM>
Technische Information: <http://www.ps.bam.de> Version 2.1, 10-1.1

BAM-Registrierung: 20071001-ZG62/L62G00N1.PS/.TXT
Anwendung für Beurteilung und Messung von Drucker- oder Monitorsystemen

BAM-Material-Code=na4a

Eingabe: Farbmetrisches Offset-Reflektiv-System ORS18

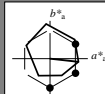
für Buntton $h^* = lab^*h = 354/360 = 0.982$

lab^*tch und lab^*nch

D65: Buntton M

LCH*Ma: 48 76 354

olv*Ma: 1.0 0.0 1.0



Dreiecks-Helligkeit t^*

%Umfang

$u^*_{rel} = 93$

%Regularität

$g^*_{H,rel} = 57$

$g^*_{C,rel} = 59$

ORS18; adaptierte CIELAB-Daten

	$L^* = L^*_a$	a^*_a	b^*_a	$C^*_{ab,a}$	$h^*_{ab,a}$
O _{Ma}	47.94	65.39	50.52	82.63	38
Y _{Ma}	90.37	-10.26	91.75	92.32	96
L _{Ma}	50.9	-62.83	34.96	71.91	151
C _{Ma}	58.62	-30.34	-45.01	54.3	236
V _{Ma}	25.72	31.1	-44.4	54.22	305
M _{Ma}	48.13	75.28	-8.36	75.74	354
N _{Ma}	18.01	0.0	0.0	0	0
W _{Ma}	95.41	0.0	0.0	0.0	0
R _{CIE}	39.92	58.66	26.98	64.57	25
J _{CIE}	81.26	-2.16	67.76	67.79	92
G _{CIE}	52.23	-42.25	11.76	43.87	164
B _{CIE}	30.57	1.15	-46.84	46.86	271

Ausgabe: Farbmetrisches Offset-Reflektiv-System ORS18

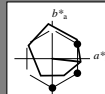
für Buntton $h^* = lab^*h = 354/360 = 0.982$

lab^*tch und lab^*nch

D65: Buntton M

LCH*Ma: 48 76 354

olv*Ma: 1.0 0.0 1.0



Dreiecks-Helligkeit t^*

%Umfang

$u^*_{rel} = 93$

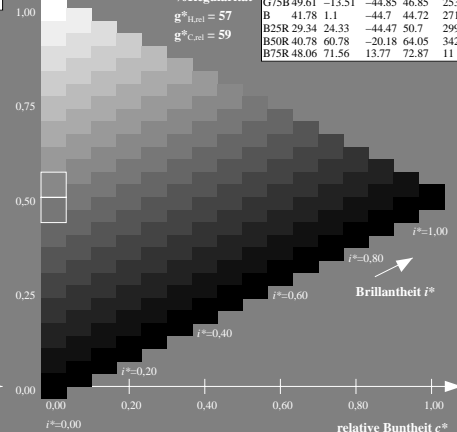
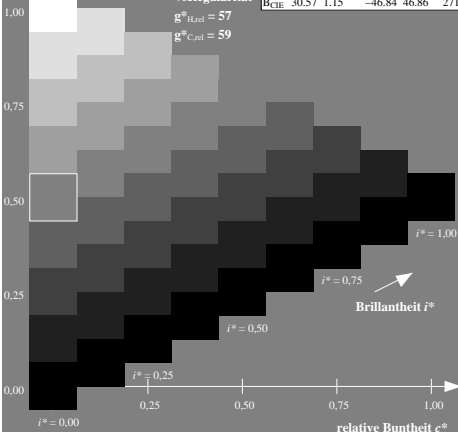
%Regularität

$g^*_{H,rel} = 57$

$g^*_{C,rel} = 59$

ORS18; adaptierte CIELAB-Daten

	$L^* = L^*_a$	a^*_a	b^*_a	$C^*_{ab,a}$	$h^*_{ab,a}$
R	48.0	68.58	31.54	75.48	25
R25J	50.11	61.52	52.63	80.96	41
R50J	62.87	38.77	65.02	75.71	59
R75J	74.87	17.37	76.69	78.63	77
J	86.19	-2.8	87.69	87.73	92
J25G	84.01	-18.73	82.6	84.7	103
J50G	71.17	-35.83	64.13	73.46	119
J75G	56.99	-54.71	43.72	70.05	141
G	52.8	-54.82	15.26	56.92	164
G25B	54.69	-46.87	-4.31	47.08	185
G50B	57.25	-36.1	-30.82	47.48	220
G75B	49.61	-13.51	-44.85	46.85	253
B	41.78	1.1	-44.7	44.72	271
B25R	29.34	24.33	-44.47	50.7	299
B50R	40.78	60.78	-20.18	64.05	342
B75R	48.06	71.56	13.77	72.87	411



ZG620-7N, 9stufige Reihen für konstanten CIELAB Buntton 354/360 = 0.982 (links) Seite 36/60

BAM-Prüfvorlage ZG62; Farbmetrik-Systeme, Seite 36/60 Eingabe: $rgb / cmy0$ set($rgb/cmyk$)color

D65: 9 und 16stufige Farbreihen für 10 Bunttöne

ZG620-7N, 16stufige Reihen für konstanten CIELAB Buntton 354/360 = 0.982 (rechts) m n

Ausgabe: $\rightarrow cmy0^* set(cmyk)color$

Eingabe: Farbmetrisches Offset-Reflektiv-System ORS18

für Buntton $h^* = lab^*h = 25/360 = 0.069$

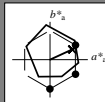
lab^*tch und lab^*nch

D65: Buntton R

LCH*Ma: 48 75 25

olv*Ma: 1.0 0.0 0.32

Dreiecks-Helligkeit i^*



%Umfang

$u^*_{rel} = 93$

%Regularität

$g^*_{H,rel} = 57$

$g^*_{C,rel} = 59$

ORS18; adaptierte CIELAB-Daten

	$L^*=L^*_a$	a^*_a	b^*_a	$C^*_{ab,a}$	$h^*_{ab,a}$
O _{Ma}	47.94	65.39	50.52	82.63	38
Y _{Ma}	90.37	-10.26	91.75	92.32	96
L _{Ma}	50.9	-62.83	34.96	71.91	151
C _{Ma}	58.62	-30.34	-45.01	54.3	236
V _{Ma}	25.72	31.1	-44.4	54.22	305
M _{Ma}	48.13	75.28	-8.36	75.74	354
N _{Ma}	18.01	0.0	0.0	0	0
W _{Ma}	95.41	0.0	0.0	0.0	0
R _{CIE}	39.92	58.66	26.98	64.57	25
J _{CIE}	81.26	-2.16	67.76	67.79	92
G _{CIE}	52.23	-42.25	11.76	43.87	164
B _{CIE}	30.57	1.15	-46.84	46.86	271

Ausgabe: Farbmetrisches Offset-Reflektiv-System ORS18

für Buntton $h^* = lab^*h = 25/360 = 0.069$

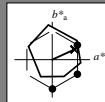
lab^*tch und lab^*nch

D65: Buntton R

LCH*Ma: 48 75 25

olv*Ma: 1.0 0.0 0.32

Dreiecks-Helligkeit i^*



%Umfang

$u^*_{rel} = 93$

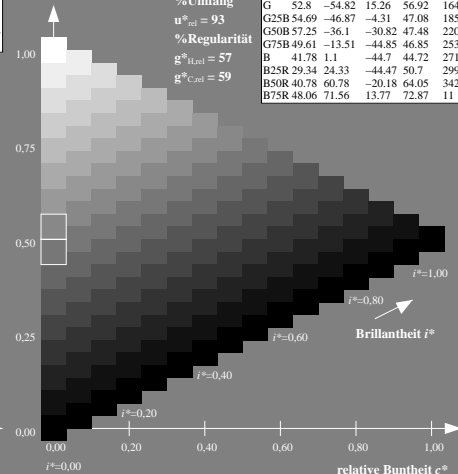
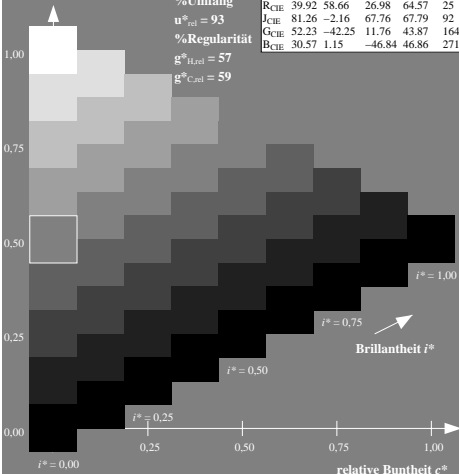
%Regularität

$g^*_{H,rel} = 57$

$g^*_{C,rel} = 59$

ORS18; adaptierte CIELAB-Daten

	$L^*=L^*_a$	a^*_a	b^*_a	$C^*_{ab,a}$	$h^*_{ab,a}$
R	48.0	68.58	31.54	75.48	25
R25J	50.11	61.52	52.63	80.96	41
R50J	62.87	38.77	65.02	75.71	59
R75J	74.87	17.37	76.69	78.63	77
J	86.19	-2.8	87.69	87.73	92
J25G	84.01	-18.73	82.6	84.7	103
J50G	71.17	-35.83	64.13	73.46	119
J75G	56.99	-54.71	43.72	70.05	141
G	52.8	-54.82	15.26	56.92	164
G25B	54.69	-46.87	-4.31	47.08	185
G50B	57.25	-36.1	-30.82	47.48	220
G75B	49.61	-13.51	-44.85	46.85	253
B	41.78	1.1	-44.7	44.72	271
B25R	29.34	24.33	-44.47	50.7	299
B50R	40.78	60.78	-20.18	64.05	342
B75R	48.06	71.56	13.77	72.87	411



ZG620-7N, 9stufige Reihen für konstanten CIELAB Buntton 25/360 = 0.069 (links) Seite 37/60

BAM-Prüfvorlage ZG62; Farbmetrik-Systeme, Seite 37/60 Eingabe: $rgb / cmy0$ set($rgb / cmyk$)color
D65: 9 und 16stufige Farbreihen für 10 Bunttöne

ZG620-7N, 16stufige Reihen für konstanten CIELAB Buntton 25/360 = 0.069 (rechts) m n

Ausgabe: $\rightarrow cmy0^* set(cmyk)color$

Siehe ähnliche Dateien: <http://www.ps.bam.de/ZG62/>; <http://www.ps.bam.de/ZG62.HTM>
Technische Information: <http://www.ps.bam.de> Version 2.1, 10-1.1

BAM-Registrierung: 20071001-ZG62/L62G00N1.PS/.TXT
Anwendung für Beurteilung und Messung von Drucker- oder Monitorsystemen

BAM-Material-Code=na4a

Eingabe: Farbmetrisches Offset-Reflektiv-System ORS18

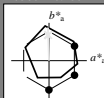
für Buntton $h^* = lab^*h = 92/360 = 0.255$

lab^*tch und lab^*nch

D65: Buntton J

LCH*Ma: 86 88 92

olv*Ma: 1.0 0.9 0.0



Dreiecks-Helligkeit i^*

%Umfang

$u^*_{rel} = 93$

%Regularität

$g^*_{H,rel} = 57$

$g^*_{C,rel} = 59$

ORS18; adaptierte CIELAB-Daten

	$L^*=L^*_a$	a^*_a	b^*_a	$C^*_{ab,a}$	$h^*_{ab,a}$
O _{Ma}	47.94	65.39	50.52	82.63	38
Y _{Ma}	90.37	-10.26	91.75	92.32	96
L _{Ma}	50.9	-62.83	34.96	71.91	151
C _{Ma}	58.62	-30.34	-45.01	54.3	236
V _{Ma}	25.72	31.1	-44.4	54.22	305
M _{Ma}	48.13	75.28	-8.36	75.74	354
N _{Ma}	18.01	0.0	0.0	0	0
W _{Ma}	95.41	0.0	0.0	0.0	0
R _{CIE}	39.92	58.66	26.98	64.57	25
J _{CIE}	81.26	-2.16	67.76	67.79	92
G _{CIE}	52.23	-42.25	11.76	43.87	164
B _{CIE}	30.57	1.15	-46.84	46.86	271

Ausgabe: Farbmetrisches Offset-Reflektiv-System ORS18

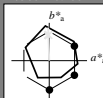
für Buntton $h^* = lab^*h = 92/360 = 0.255$

lab^*tch und lab^*nch

D65: Buntton J

LCH*Ma: 86 88 92

olv*Ma: 1.0 0.9 0.0



Dreiecks-Helligkeit i^*

%Umfang

$u^*_{rel} = 93$

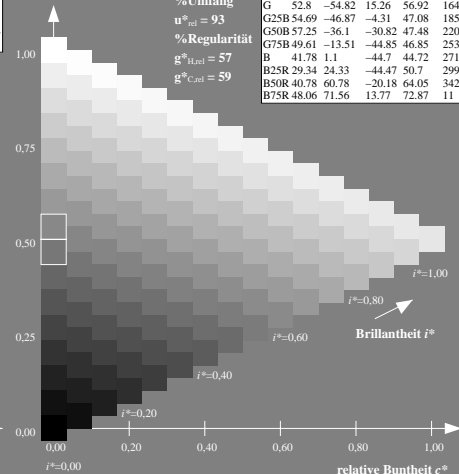
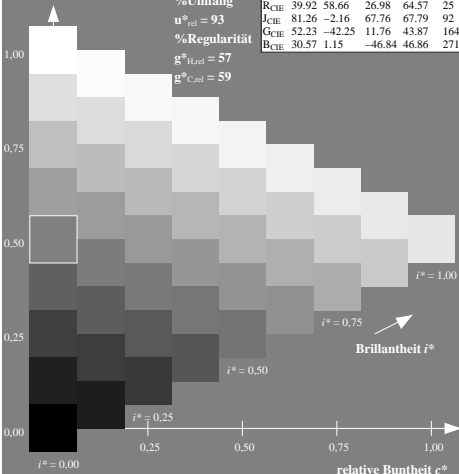
%Regularität

$g^*_{H,rel} = 57$

$g^*_{C,rel} = 59$

ORS18; adaptierte CIELAB-Daten

	$L^*=L^*_a$	a^*_a	b^*_a	$C^*_{ab,a}$	$h^*_{ab,a}$
R	48.0	68.58	31.54	75.48	25
R25J	50.11	61.52	52.63	80.96	41
R50J	62.87	38.77	65.02	75.71	59
R75J	74.87	17.37	76.69	78.63	77
J	86.19	-2.8	87.69	87.73	92
J25G	84.01	-18.73	82.6	84.7	103
J50G	71.17	-35.83	64.13	73.46	119
J75G	56.99	-54.71	43.72	70.05	141
G	52.8	-54.82	15.26	56.92	164
G25B	54.69	-46.87	-4.31	47.08	185
G50B	57.25	-36.1	-30.82	47.48	220
G75B	49.61	-13.51	-44.85	46.85	253
B	41.78	1.1	-44.7	44.72	271
B25R	29.34	24.33	-44.47	50.7	299
B50R	40.78	60.78	-20.18	64.05	342
B75R	48.06	71.56	13.77	72.87	411



ZG620-7N, 9stufige Reihen für konstanten CIELAB Buntton 92/360 = 0.255 (links)

BAM-Prüfvorlage ZG62; Farbmetrik-Systeme, Seite 38/60

D65: 9 und 16stufige Farbreihen für 10 Bunttöne

ZG620-7N, 16stufige Reihen für konstanten CIELAB Buntton 92/360 = 0.255 (rechts)

Eingabe: $rgb / cmy0\ set(rgb/cmyk/color$

Ausgabe: $\rightarrow cmy0\ set(cmyk/color$

Eingabe: Farbmetrisches Offset-Reflektiv-System ORS18

für Buntton $h^* = lab^*h = 164/360 = 0.457$

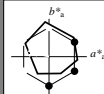
lab^*tch und lab^*nch

D65: Buntton G

LCH*Ma: 53 57 164

olv*Ma: 0.0 1.0 0.25

Dreiecks-Helligkeit t^*



%Umfang

$u^*_{rel} = 93$

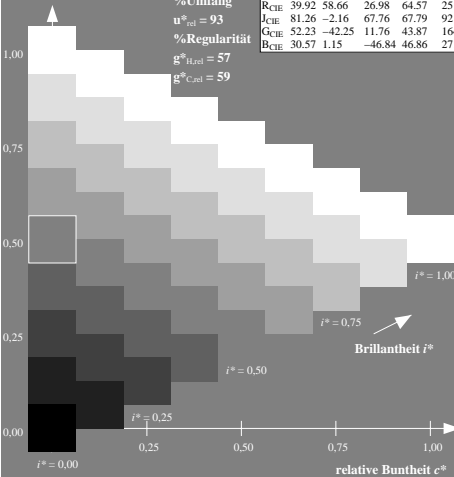
%Regularität

$g^*_{H,rel} = 57$

$g^*_{C,rel} = 59$

ORS18; adaptierte CIELAB-Daten

	$L^*=L^*_a$	a^*_a	b^*_a	$C^*_{ab,a}$	$h^*_{ab,a}$
O _{Ma}	47.94	65.39	50.52	82.63	38
Y _{Ma}	90.37	-10.26	91.75	92.32	96
L _{Ma}	50.9	-62.83	34.96	71.91	151
C _{Ma}	58.62	-30.34	-45.01	54.3	236
V _{Ma}	25.72	31.1	-44.4	54.22	305
M _{Ma}	48.13	75.28	-8.36	75.74	354
N _{Ma}	18.01	0.0	0.0	0	0
W _{Ma}	95.41	0.0	0.0	0.0	0
R _{CIE}	39.92	58.66	26.98	64.57	25
J _{CIE}	81.26	-2.16	67.76	67.79	92
G _{CIE}	52.23	-42.25	11.76	43.87	164
B _{CIE}	30.57	1.15	-46.84	46.86	271



Ausgabe: Farbmetrisches Offset-Reflektiv-System ORS18

für Buntton $h^* = lab^*h = 164/360 = 0.457$

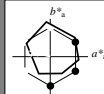
lab^*tch und lab^*nch

D65: Buntton G

LCH*Ma: 53 57 164

olv*Ma: 0.0 1.0 0.25

Dreiecks-Helligkeit t^*



%Umfang

$u^*_{rel} = 93$

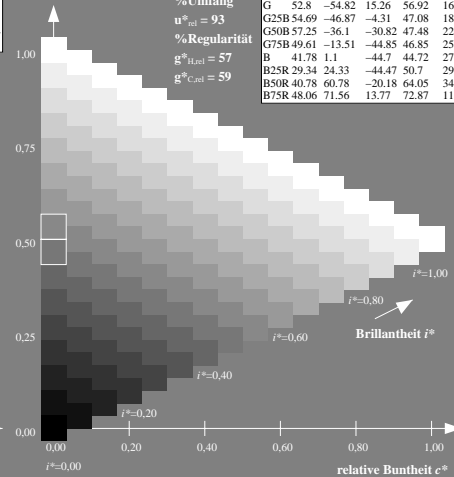
%Regularität

$g^*_{H,rel} = 57$

$g^*_{C,rel} = 59$

ORS18; adaptierte CIELAB-Daten

	$L^*=L^*_a$	a^*_a	b^*_a	$C^*_{ab,a}$	$h^*_{ab,a}$
R	48.0	68.58	31.54	75.48	25
R25J	50.11	61.52	52.63	80.96	41
R50J	62.87	38.77	65.02	75.71	59
R75J	74.87	17.37	76.69	78.63	77
J	86.19	-2.8	87.69	87.73	92
J25G	84.01	-18.73	82.6	84.7	103
J50G	71.17	-35.83	64.13	73.46	119
J75G	56.99	-54.71	43.72	70.05	141
G	52.8	-54.82	15.26	56.92	164
G25B	54.69	-46.87	-4.31	47.08	185
G50B	57.25	-36.1	-30.82	47.48	220
G75B	49.61	-13.51	-44.85	46.85	253
B	41.78	1.1	-44.7	44.72	271
B25R	29.34	24.33	-44.47	50.7	299
B50R	40.78	60.78	-20.18	64.05	342
B75R	48.06	71.56	13.77	72.87	411



ZG620-7N, 9stufige Reihen für konstanten CIELAB Buntton 164/360 = 0.457 (links) Seite 39/60

BAM-Prüfvorlage ZG62; Farbmetrik-Systeme, Seite 39/60

D65: 9 und 16stufige Farbreihen für 10 Bunttöne

ZG620-7N, 16stufige Reihen für konstanten CIELAB Buntton 164/360 = 0.457 (rechts) m n

Eingabe: $rgb / cmy0$ set($rgb/cmyk$)color

Ausgabe: $\rightarrow cmy0^* set(cmyk)color$

Eingabe: Farbmetrisches Offset-Reflektiv-System ORS18

für Buntton $h^* = lab^*h = 271/360 = 0.754$

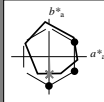
lab^*tch und lab^*nch

D65: Buntton B

LCH*Ma: 42 45 271

olv*Ma: 0.0 0.49 1.0

Dreiecks-Helligkeit t^*



%Umfang

$u^*_{rel} = 93$

%Regularität

$g^*_{H,rel} = 57$

$g^*_{C,rel} = 59$

ORS18; adaptierte CIELAB-Daten

	$L^*=L^*_a$	a^*_a	b^*_a	$C^*_{ab,a}$	$h^*_{ab,a}$
O _{Ma}	47.94	65.39	50.52	82.63	38
Y _{Ma}	90.37	-10.26	91.75	92.32	96
L _{Ma}	50.9	-62.83	34.96	71.91	151
C _{Ma}	58.62	-30.34	-45.01	54.3	236
V _{Ma}	25.72	31.1	-44.4	54.22	305
M _{Ma}	48.13	75.28	-8.36	75.74	354
N _{Ma}	18.01	0.0	0.0	0.0	0
W _{Ma}	95.41	0.0	0.0	0.0	0
R _{CIE}	39.92	58.66	26.98	64.57	25
J _{CIE}	81.26	-2.16	67.76	67.79	92
G _{CIE}	52.23	-42.25	11.76	43.87	164
B _{CIE}	30.57	1.15	-46.84	46.86	271

Ausgabe: Farbmetrisches Offset-Reflektiv-System ORS18

für Buntton $h^* = lab^*h = 271/360 = 0.754$

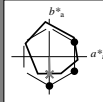
lab^*tch und lab^*nch

D65: Buntton B

LCH*Ma: 42 45 271

olv*Ma: 0.0 0.49 1.0

Dreiecks-Helligkeit t^*



%Umfang

$u^*_{rel} = 93$

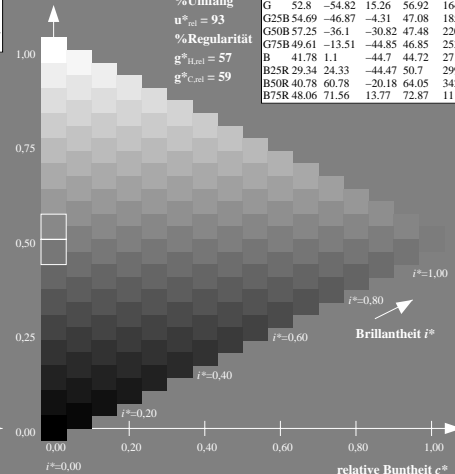
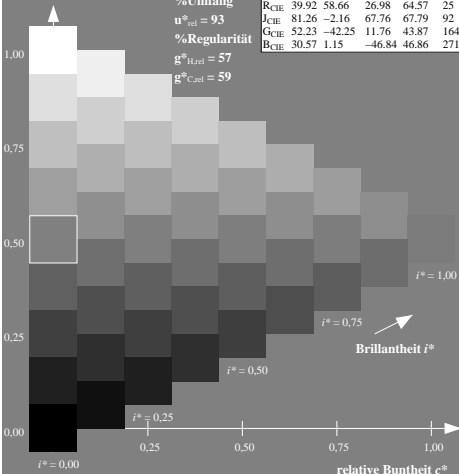
%Regularität

$g^*_{H,rel} = 57$

$g^*_{C,rel} = 59$

ORS18; adaptierte CIELAB-Daten

	$L^*=L^*_a$	a^*_a	b^*_a	$C^*_{ab,a}$	$h^*_{ab,a}$
R	48.0	68.58	31.54	75.48	25
R25J	50.11	61.52	52.63	80.96	41
R50J	62.87	38.77	65.02	75.71	59
R75J	74.87	17.37	76.69	78.63	77
J	86.19	-2.8	87.69	87.73	92
J25G	84.01	-18.73	82.6	84.7	103
J50G	71.17	-35.83	64.13	73.46	119
J75G	56.99	-54.71	43.72	70.05	141
G	52.8	-54.82	15.26	56.92	164
G25B	54.69	-46.87	-4.31	47.08	185
G50B	57.25	-36.1	-30.82	47.48	220
G75B	49.61	-13.51	-44.85	46.85	253
B	41.78	1.1	-44.7	44.72	271
B25R	29.34	24.33	-44.47	50.7	299
B50R	40.78	60.78	-20.18	64.05	342
B75R	48.06	71.56	13.77	72.87	411



ZG620-7N, 9stufige Reihen für konstanten CIELAB Buntton 271/360 = 0.754 (links) Seite 40/60

BAM-Prüfvorlage ZG62; Farbmetrik-Systeme, Seite 40/60 Eingabe: $rgb / cmy0$ set($rgb/cmyk$)color

D65: 9 und 16stufige Farbreihen für 10 Bunttöne

ZG620-7N, 16stufige Reihen für konstanten CIELAB Buntton 271/360 = 0.754 (rechts) m n

Ausgabe: $\rightarrow cmy0^* setcmykcolor$

Siehe ähnliche Dateien: <http://www.ps.bam.de/ZG62/>; <http://www.ps.bam.de/ZG62L62G00N1.PS/.TXT>

Technische Information: <http://www.ps.bam.de> Version 2.1, 10-1.1

BAM-Registrierung: 20071001-ZG62L62G00N1.PS/.TXT
Anwendung für Beurteilung und Messung von Drucker- oder Monitorsystemen

BAM-Material-Code=na4a

Eingabe: Farbmetrisches Offset-Reflektiv-System ORS18

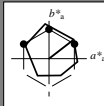
für Buntton $h^* = lab^*h = 38/360 = 0.105$

lab^*tch und lab^*nch

D65: Buntton O

LCH*Ma: 48 83 38

olv*Ma: 1.0 0.0 0.0



Dreiecks-Helligkeit i^*

%Umfang

$u^*_{rel} = 93$

%Regularität

$g^*_{H,rel} = 57$

$g^*_{C,rel} = 59$

ORS18; adaptierte CIELAB-Daten

	$L^*=L^*_a$	a^*_a	b^*_a	$C^*_{ab,a}$	$h^*_{ab,a}$
O _{Ma}	47.94	65.39	50.52	82.63	38
Y _{Ma}	90.37	-10.26	91.75	92.32	96
L _{Ma}	50.9	-62.83	34.96	71.91	151
C _{Ma}	58.62	-30.34	-45.01	54.3	236
V _{Ma}	25.72	31.1	-44.4	54.22	305
M _{Ma}	48.13	75.28	-8.36	75.74	354
N _{Ma}	18.01	0.0	0.0	0	0
W _{Ma}	95.41	0.0	0.0	0.0	0
R _{CIE}	39.92	58.66	26.98	64.57	25
J _{CIE}	81.26	-2.16	67.76	67.79	92
G _{CIE}	52.23	-42.25	11.76	43.87	164
B _{CIE}	30.57	1.15	-46.84	46.86	271

Ausgabe: Farbmetrisches Offset-Reflektiv-System ORS18

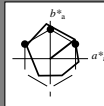
für Buntton $h^* = lab^*h = 38/360 = 0.105$

lab^*tch und lab^*nch

D65: Buntton O

LCH*Ma: 48 83 38

olv*Ma: 1.0 0.0 0.0



Dreiecks-Helligkeit i^*

%Umfang

$u^*_{rel} = 93$

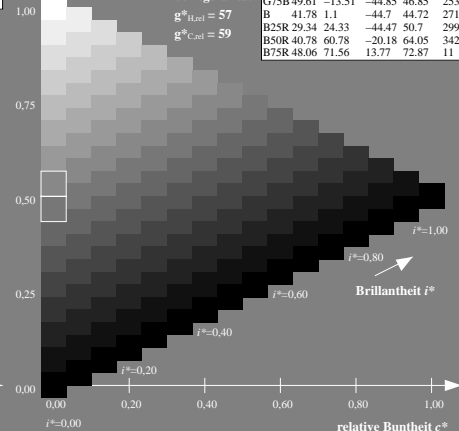
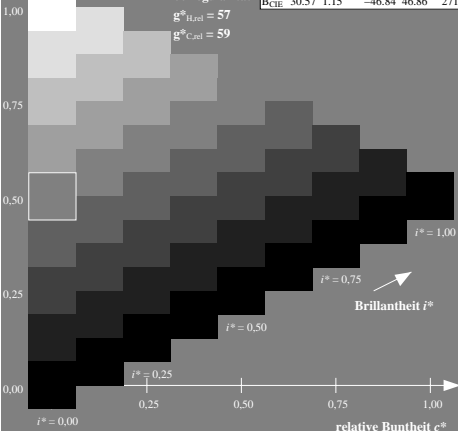
%Regularität

$g^*_{H,rel} = 57$

$g^*_{C,rel} = 59$

ORS18; adaptierte CIELAB-Daten

	$L^*=L^*_a$	a^*_a	b^*_a	$C^*_{ab,a}$	$h^*_{ab,a}$
R	48.0	68.58	31.54	75.48	25
R25J	50.11	61.52	52.63	80.96	41
R50J	62.87	38.77	65.02	75.71	59
R75J	74.87	17.37	76.69	78.63	77
J	86.19	-2.8	87.69	87.73	92
J25G	84.01	-18.73	82.6	84.7	103
J50G	71.17	-35.83	64.13	73.46	119
J75G	56.99	-54.71	43.72	70.05	141
G	52.8	-54.82	15.26	56.92	164
G25B	54.69	-46.87	-4.31	47.08	185
G50B	57.25	-36.1	-30.82	47.48	220
G75B	49.61	-13.51	-44.85	46.85	253
B	41.78	1.1	-44.7	44.72	271
B25R	29.34	24.33	-44.47	50.7	299
B50R	40.78	60.78	-20.18	64.05	342
B75R	48.06	71.56	13.77	72.87	411



ZG620-7N, 9stufige Reihen für konstanten CIELAB Buntton 38/360 = 0.105 (links) Seite 41/60

BAM-Prüfvorlage ZG62; Farbmetrik-Systeme, Seite 41/60 Eingabe: $rgb / cmy0$ set($rgb/cmyk$)color

D65: 9 und 16stufige Farbreihen für 10 Bunttöne

ZG620-7N, 16stufige Reihen für konstanten CIELAB Buntton 38/360 = 0.105 (rechts) yn

Ausgabe: $\rightarrow cmy0$ set($cmyk$)color

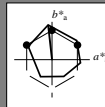
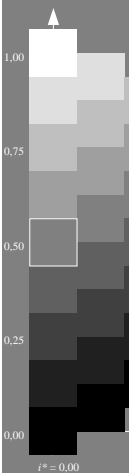
Eingabe: Farbmetrisches Offset-Reflektiv-System ORS18

für Buntton $h^* = lab^*h = 96/360 = 0.268$ lab^*tch und lab^*nch

D65: Buntton Y

LCH*Ma: 90 92 96

ol*Ma: 1.0 1.0 0.0

Dreiecks-Helligkeit i^* 

%Umfang

 $u^*_{rel} = 93$

%Regularität

 $g^*_{H,rel} = 57$ $g^*_{C,rel} = 59$

ORS18; adaptierte CIELAB-Daten

	$L^*=L^*_a$	a^*_a	b^*_a	$C^*_{ab,a}$	$h^*_{ab,a}$
O _{Ma}	47.94	65.39	50.52	82.63	38
Y _{Ma}	90.37	-10.26	91.75	92.32	96
L _{Ma}	50.9	-62.83	34.96	71.91	151
C _{Ma}	58.62	-30.34	-45.01	54.3	236
V _{Ma}	25.72	31.1	-44.4	54.22	305
M _{Ma}	48.13	75.28	-8.36	75.74	354
N _{Ma}	18.01	0.0	0.0	0	0
W _{Ma}	95.41	0.0	0.0	0.0	0
R _{CIE}	39.92	58.66	26.98	64.57	25
J _{CIE}	81.26	-2.16	67.76	67.79	92
G _{CIE}	52.23	-42.25	11.76	43.87	164
B _{CIE}	30.57	1.15	-46.84	46.86	271

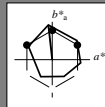
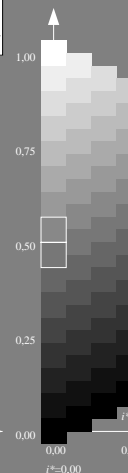
Ausgabe: Farbmetrisches Offset-Reflektiv-System ORS18

für Buntton $h^* = lab^*h = 96/360 = 0.268$ lab^*tch und lab^*nch

D65: Buntton Y

LCH*Ma: 90 92 96

ol*Ma: 1.0 1.0 0.0

Dreiecks-Helligkeit i^* 

%Umfang

 $u^*_{rel} = 93$

%Regularität

 $g^*_{H,rel} = 57$ $g^*_{C,rel} = 59$

ORS18; adaptierte CIELAB-Daten

	$L^*=L^*_a$	a^*_a	b^*_a	$C^*_{ab,a}$	$h^*_{ab,a}$
R	48.0	68.58	31.54	75.48	25
R25J	50.11	61.52	52.63	80.96	41
R50J	62.87	38.77	65.02	75.71	59
R75J	74.87	17.37	76.69	78.63	77
J	86.19	-2.8	87.69	87.73	92
J25G	84.01	-18.73	82.6	84.7	103
J50G	71.17	-35.83	64.13	73.46	119
J75G	56.99	-54.71	43.72	70.05	141
G	52.8	-54.82	15.26	56.92	164
G25B	54.69	-46.87	-4.31	47.08	185
G50B	57.25	-36.1	-30.82	47.48	220
G75B	49.61	-13.51	-44.85	46.85	253
B	41.78	1.1	-44.7	44.72	271
B25R	29.34	24.33	-44.47	50.7	299
B50R	40.78	60.78	-20.18	64.05	342
B75R	48.06	71.56	13.77	72.87	411

ZG620-7N, 9stufige Reihen für konstanten CIELAB Buntton 96/360 = 0.268 (links)

Seite 42/60

BAM-Prüfvorlage ZG62; Farbmetrik-Systeme, Seite 42/60

Eingabe: $rgb / cmy0$ set($rgb/cmyk$)color

D65: 9 und 16stufige Farbreihen für 10 Bunttöne

ZG620-7N, 16stufige Reihen für konstanten CIELAB Buntton 96/360 = 0.268 (rechts)

yn

Ausgabe: $\rightarrow cmy0$ set($cmyk$)color

Eingabe: Farbmetrisches Offset-Reflektiv-System ORS18

für Buntton $h^* = lab^*h = 151/360 = 0.419$

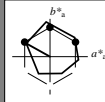
lab^*tch und lab^*nch

D65: Buntton L

LCH*Ma: 51 72 151

olv*Ma: 0.0 1.0 0.0

Dreiecks-Helligkeit i^*



%Umfang

$u^*_{rel} = 93$

%Regularität

$g^*_{H,rel} = 57$

$g^*_{C,rel} = 59$

ORS18; adaptierte CIELAB-Daten

	$L^*=L^*_a$	a^*_a	b^*_a	$C^*_{ab,a}$	$h^*_{ab,a}$
O _{Ma}	47.94	65.39	50.52	82.63	38
Y _{Ma}	90.37	-10.26	91.75	92.32	96
L _{Ma}	50.9	-62.83	34.96	71.91	151
C _{Ma}	58.62	-30.34	-45.01	54.3	236
V _{Ma}	25.72	31.1	-44.4	54.22	305
M _{Ma}	48.13	75.28	-8.36	75.74	354
N _{Ma}	18.01	0.0	0.0	0	0
W _{Ma}	95.41	0.0	0.0	0.0	0
R _{CIE}	39.92	58.66	26.98	64.57	25
J _{CIE}	81.26	-2.16	67.76	67.79	92
G _{CIE}	52.23	-42.25	11.76	43.87	164
B _{CIE}	30.57	1.15	-46.84	46.86	271

Ausgabe: Farbmetrisches Offset-Reflektiv-System ORS18

für Buntton $h^* = lab^*h = 151/360 = 0.419$

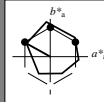
lab^*tch und lab^*nch

D65: Buntton L

LCH*Ma: 51 72 151

olv*Ma: 0.0 1.0 0.0

Dreiecks-Helligkeit i^*



%Umfang

$u^*_{rel} = 93$

%Regularität

$g^*_{H,rel} = 57$

$g^*_{C,rel} = 59$

ORS18; adaptierte CIELAB-Daten

	$L^*=L^*_a$	a^*_a	b^*_a	$C^*_{ab,a}$	$h^*_{ab,a}$
R	48.0	68.58	31.54	75.48	25
R25J	50.11	61.52	52.63	80.96	41
R50J	62.87	38.77	65.02	75.71	59
R75J	74.87	17.37	76.69	78.63	77
J	86.19	-2.8	87.69	87.73	92
J25G	84.01	-18.73	82.6	84.7	103
J50G	71.17	-35.83	64.13	73.46	119
J75G	56.99	-54.71	43.72	70.05	141
G	52.8	-54.82	15.26	56.92	164
G25B	54.69	-46.87	-4.31	47.08	185
G50B	57.25	-36.1	-30.82	47.48	220
G75B	49.61	-13.51	-44.85	46.85	253
B	41.78	1.1	-44.7	44.72	271
B25R	29.34	24.33	-44.47	50.7	299
B50R	40.78	60.78	-20.18	64.05	342
B75R	48.06	71.56	13.77	72.87	411

ZG620-7N, 9stufige Reihen für konstanten CIELAB Buntton 151/360 = 0.419 (links) Seite 43/60

BAM-Prüfvorlage ZG62; Farbmetrik-Systeme, Seite 43/60 Eingabe: $rgb / cmy0$ set($rgb/cmyk$)color

D65: 9 und 16stufige Farbreihen für 10 Bunttöne

ZG620-7N, 16stufige Reihen für konstanten CIELAB Buntton 151/360 = 0.419 (rechts) yn

Eingabe: $rgb / cmy0$ set($rgb/cmyk$)color

Ausgabe: $\rightarrow cmy0$ set($cmyk$)color

Eingabe: Farbmetrisches Offset-Reflektiv-System ORS18

für Buntton $h^* = lab^*h = 236/360 = 0.656$

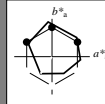
lab^*tch und lab^*nch

D65: Buntton C

LCH*Ma: 59 54 236

olv*Ma: 0.0 1.0 1.0

Dreiecks-Helligkeit i^*



%Umfang

$u^*_{rel} = 93$

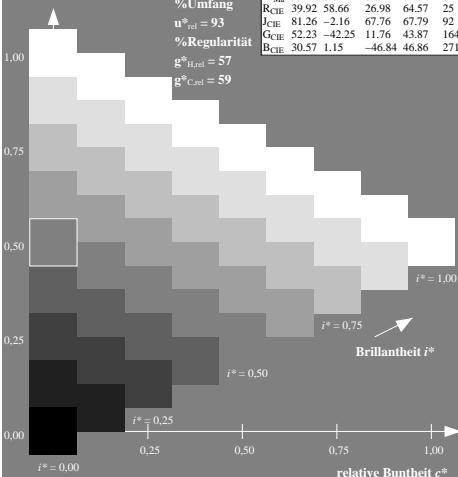
%Regularität

$g^*_{H,rel} = 57$

$g^*_{C,rel} = 59$

ORS18; adaptierte CIELAB-Daten

	$L^*=L^*_a$	a^*_a	b^*_a	$C^*_{ab,a}$	$h^*_{ab,a}$
O _{Ma}	47.94	65.39	50.52	82.63	38
Y _{Ma}	90.37	-10.26	91.75	92.32	96
L _{Ma}	50.9	-62.83	34.96	71.91	151
C _{Ma}	58.62	-30.34	-45.01	54.3	236
V _{Ma}	25.72	31.1	-44.4	54.22	305
M _{Ma}	48.13	75.28	-8.36	75.74	354
N _{Ma}	18.01	0.0	0.0	0.0	0
W _{Ma}	95.41	0.0	0.0	0.0	0
R _{CIE}	39.92	58.66	26.98	64.57	25
J _{CIE}	81.26	-2.16	67.76	67.79	92
G _{CIE}	52.23	-42.25	11.76	43.87	164
B _{CIE}	30.57	1.15	-46.84	46.86	271



ZG620-7N, 9stufige Reihen für konstanten CIELAB Buntton 236/360 = 0.656 (links) Seite 44/60

BAM-Prüfvorlage ZG62; Farbmetrik-Systeme, Seite 44/60 Eingabe: $rgb / cmy0$ set($rgb/cmyk/color$)

D65: 9 und 16stufige Farbreihen für 10 Bunttöne

Ausgabe: Farbmetrisches Offset-Reflektiv-System ORS18

für Buntton $h^* = lab^*h = 236/360 = 0.656$

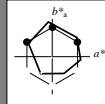
lab^*tch und lab^*nch

D65: Buntton C

LCH*Ma: 59 54 236

olv*Ma: 0.0 1.0 1.0

Dreiecks-Helligkeit i^*



%Umfang

$u^*_{rel} = 93$

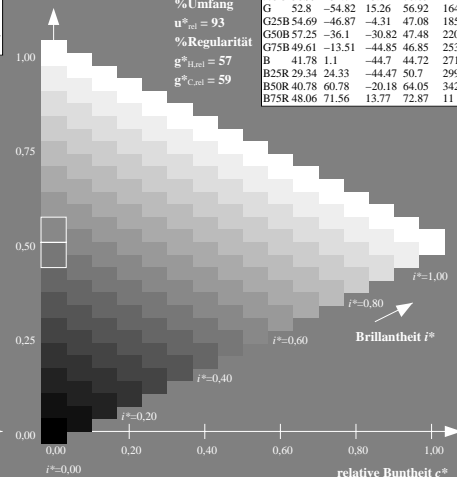
%Regularität

$g^*_{H,rel} = 57$

$g^*_{C,rel} = 59$

ORS18; adaptierte CIELAB-Daten

	$L^*=L^*_a$	a^*_a	b^*_a	$C^*_{ab,a}$	$h^*_{ab,a}$
R	48.0	68.58	31.54	75.48	25
R25J	50.11	61.52	52.63	80.96	41
R50J	62.87	38.77	65.02	75.71	59
R75J	74.87	17.37	76.69	78.63	77
J	86.19	-2.8	87.69	87.73	92
J25G	84.01	-18.73	82.6	84.7	103
J50G	71.17	-35.83	64.13	73.46	119
J75G	56.99	-54.71	43.72	70.05	141
G	52.8	-54.82	15.26	56.92	164
G25B	54.69	-46.87	-4.31	47.08	185
G50B	57.25	-36.1	-30.82	47.48	220
G75B	49.61	-13.51	-44.85	46.85	253
B	41.78	1.1	-44.7	44.72	271
B25R	29.34	24.33	-44.47	50.7	299
B50R	40.78	60.78	-20.18	64.05	342
B75R	48.06	71.56	13.77	72.87	411



ZG620-7N, 16stufige Reihen für konstanten CIELAB Buntton 236/360 = 0.656 (rechts) yn

Eingabe: $rgb / cmy0$ set($rgb/cmyk/color$)

Ausgabe: $\rightarrow cmy0$ set($cmyk/color$)

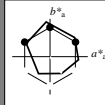
Eingabe: Farbmetrisches Offset-Reflektiv-System ORS18

für Buntton $h^* = lab^*h = 305/360 = 0.847$ lab^*tch und lab^*nch

D65: Buntton V

LCH*Ma: 26 54 305

olv*Ma: 0.0 0.0 1.0

Dreiecks-Helligkeit i^* 

%Umfang

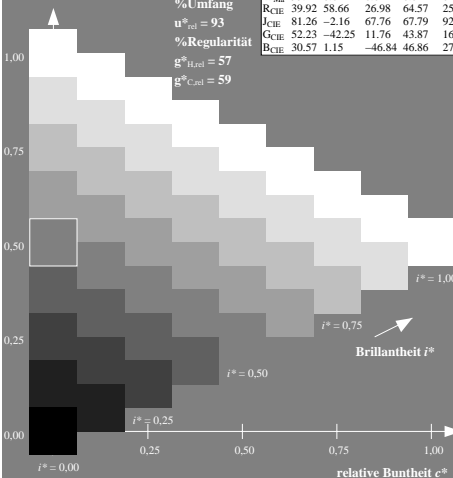
 $u^*_{rel} = 93$

%Regularität

 $g^*_{H,rel} = 57$ $g^*_{C,rel} = 59$

ORS18; adaptierte CIELAB-Daten

	$L^*=L^*_a$	a^*_a	b^*_a	$C^*_{ab,a}$	$h^*_{ab,a}$
O _{Ma}	47.94	65.39	50.52	82.63	38
Y _{Ma}	90.37	-10.26	91.75	92.32	96
L _{Ma}	50.9	-62.83	34.96	71.91	151
C _{Ma}	58.62	-30.34	-45.01	54.3	236
V _{Ma}	25.72	31.1	-44.4	54.22	305
M _{Ma}	48.13	75.28	-8.36	75.74	354
N _{Ma}	18.01	0.0	0.0	0	0
W _{Ma}	95.41	0.0	0.0	0.0	0
R _{CIE}	39.92	58.66	26.98	64.57	25
J _{CIE}	81.26	-2.16	67.76	67.79	92
G _{CIE}	52.23	-42.25	11.76	43.87	164
B _{CIE}	30.57	1.15	-46.84	46.86	271



ZG620-7N, 9stufige Reihen für konstanten CIELAB Buntton 305/360 = 0.847 (links)

Seite 45/60

BAM-Prüfvorlage ZG62; Farbmetrik-Systeme, Seite 45/60

Eingabe: $rgb / cmy0$ set($rgb/cmyk$)color

D65: 9 und 16stufige Farbreihen für 10 Bunttöne

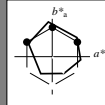
Ausgabe: Farbmetrisches Offset-Reflektiv-System ORS18

für Buntton $h^* = lab^*h = 305/360 = 0.847$ lab^*tch und lab^*nch

D65: Buntton V

LCH*Ma: 26 54 305

olv*Ma: 0.0 0.0 1.0

Dreiecks-Helligkeit i^* 

%Umfang

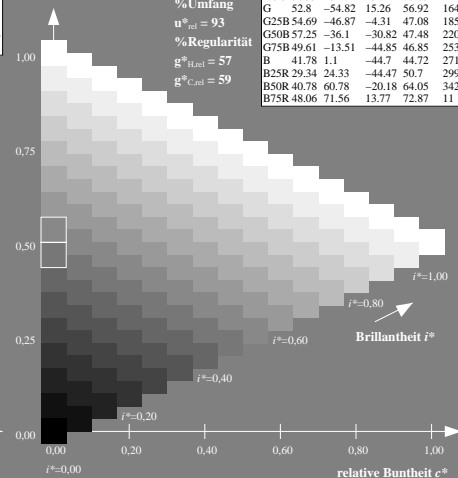
 $u^*_{rel} = 93$

%Regularität

 $g^*_{H,rel} = 57$ $g^*_{C,rel} = 59$

ORS18; adaptierte CIELAB-Daten

	$L^*=L^*_a$	a^*_a	b^*_a	$C^*_{ab,a}$	$h^*_{ab,a}$
R	48.0	68.58	31.54	75.48	25
R25J	50.11	61.52	52.63	80.96	41
R50J	62.87	38.77	65.02	75.71	59
R75J	74.87	17.37	76.69	78.63	77
J	86.19	-2.8	87.69	87.73	92
J25G	84.01	-18.73	82.6	84.7	103
J50G	71.17	-35.83	64.13	73.46	119
J75G	56.99	-54.71	43.72	70.05	141
G	52.8	-54.82	15.26	56.92	164
G25B	54.69	-46.87	-4.31	47.08	185
G50B	57.25	-36.1	-30.82	47.48	220
G75B	49.61	-13.51	-44.85	46.85	253
B	41.78	1.1	-44.7	44.72	271
B25R	29.34	24.33	-44.47	50.7	299
B50R	40.78	60.78	-20.18	64.05	342
B75R	48.06	71.56	13.77	72.87	411



ZG620-7N, 16stufige Reihen für konstanten CIELAB Buntton 305/360 = 0.847 (rechts)

yn

Eingabe: $rgb / cmy0$ set($rgb/cmyk$)colorAusgabe: $\rightarrow cmy0$ set($cmyk$)color

Eingabe: Farbmetrisches Offset-Reflektiv-System ORS18

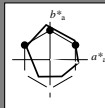
für Buntton $h^* = lab^*h = 354/360 = 0.982$

lab^*ch und lab^*nch

D65: Buntton M

LCH*Ma: 48 76 354

olv*Ma: 1.0 0.0 1.0



Dreiecks-Helligkeit i^*

%Umfang

$u^*_{rel} = 93$

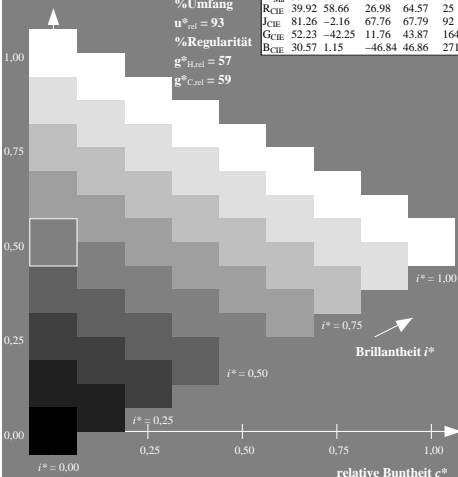
%Regularität

$g^*_{H,rel} = 57$

$g^*_{C,rel} = 59$

ORS18; adaptierte CIELAB-Daten

	$L^*=L^*_a$	a^*_a	b^*_a	$C^*_{ab,a}$	$h^*_{ab,a}$
O _{Ma}	47.94	65.39	50.52	82.63	38
Y _{Ma}	90.37	-10.26	91.75	92.32	96
L _{Ma}	50.9	-62.83	34.96	71.91	151
C _{Ma}	58.62	-30.34	-45.01	54.3	236
V _{Ma}	25.72	31.1	-44.4	54.22	305
M _{Ma}	48.13	75.28	-8.36	75.74	354
N _{Ma}	18.01	0.0	0.0	0.0	0
W _{Ma}	95.41	0.0	0.0	0.0	0
R _{CIE}	39.92	58.66	26.98	64.57	25
J _{CIE}	81.26	-2.16	67.76	67.79	92
G _{CIE}	52.23	-42.25	11.76	43.87	164
B _{CIE}	30.57	1.15	-46.84	46.86	271



Ausgabe: Farbmetrisches Offset-Reflektiv-System ORS18

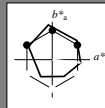
für Buntton $h^* = lab^*h = 354/360 = 0.982$

lab^*ch und lab^*nch

D65: Buntton M

LCH*Ma: 48 76 354

olv*Ma: 1.0 0.0 1.0



Dreiecks-Helligkeit i^*

%Umfang

$u^*_{rel} = 93$

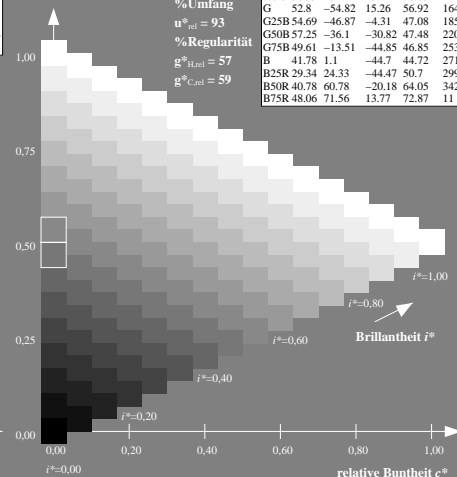
%Regularität

$g^*_{H,rel} = 57$

$g^*_{C,rel} = 59$

ORS18; adaptierte CIELAB-Daten

	$L^*=L^*_a$	a^*_a	b^*_a	$C^*_{ab,a}$	$h^*_{ab,a}$
R	48.0	68.58	31.54	75.48	25
R25J	50.11	61.52	52.63	80.96	41
R50J	62.87	38.77	65.02	75.71	59
R75J	74.87	17.37	76.69	78.63	77
J	86.19	-2.8	87.69	87.73	92
J25G	84.01	-18.73	82.6	84.7	103
J50G	71.17	-35.83	64.13	73.46	119
J75G	56.99	-54.71	43.72	70.05	141
G	52.8	-54.82	15.26	56.92	164
G25B	54.69	-46.87	-4.31	47.08	185
G50B	57.25	-36.1	-30.82	47.48	220
G75B	49.61	-13.51	-44.85	46.85	253
B	41.78	1.1	-44.7	44.72	271
B25R	29.34	24.33	-44.47	50.7	299
B50R	40.78	60.78	-20.18	64.05	342
B75R	48.06	71.56	13.77	72.87	411



ZG620-7N, 9stufige Reihen für konstanten CIELAB Buntton 354/360 = 0.982 (links) Seite 46/60

BAM-Prüfvorlage ZG62; Farbmetrik-Systeme, Seite 46/60 Eingabe: $rgb / cmy0$ set($rgb/cmyk$)color

D65: 9 und 16stufige Farbreihen für 10 Bunttöne

ZG620-7N, 16stufige Reihen für konstanten CIELAB Buntton 354/360 = 0.982 (rechts) yn

Ausgabe: $\rightarrow cmy0$ set($cmyk$)color

Eingabe: Farbmetrisches Offset-Reflektiv-System ORS18

für Buntton $h^* = lab^*h = 25/360 = 0.069$

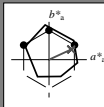
lab^*tch und lab^*nch

D65: Buntton R

LCH*Ma: 48 75 25

olv*Ma: 1.0 0.0 0.32

Dreiecks-Helligkeit t^*



%Umfang

$u^*_{rel} = 93$

%Regularität

$g^*_{H,rel} = 57$

$g^*_{C,rel} = 59$

ORS18; adaptierte CIELAB-Daten

	$L^*=L^*_a$	a^*_a	b^*_a	$C^*_{ab,a}$	$h^*_{ab,a}$
O _{Ma}	47.94	65.39	50.52	82.63	38
Y _{Ma}	90.37	-10.26	91.75	92.32	96
L _{Ma}	50.9	-62.83	34.96	71.91	151
C _{Ma}	58.62	-30.34	-45.01	54.3	236
V _{Ma}	25.72	31.1	-44.4	54.22	305
M _{Ma}	48.13	75.28	-8.36	75.74	354
N _{Ma}	18.01	0.0	0.0	0	0
W _{Ma}	95.41	0.0	0.0	0.0	0
R _{CIE}	39.92	58.66	26.98	64.57	25
J _{CIE}	81.26	-2.16	67.76	67.79	92
G _{CIE}	52.23	-42.25	11.76	43.87	164
B _{CIE}	30.57	1.15	-46.84	46.86	271

Ausgabe: Farbmetrisches Offset-Reflektiv-System ORS18

für Buntton $h^* = lab^*h = 25/360 = 0.069$

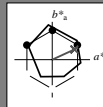
lab^*tch und lab^*nch

D65: Buntton R

LCH*Ma: 48 75 25

olv*Ma: 1.0 0.0 0.32

Dreiecks-Helligkeit t^*



%Umfang

$u^*_{rel} = 93$

%Regularität

$g^*_{H,rel} = 57$

$g^*_{C,rel} = 59$

ORS18; adaptierte CIELAB-Daten

	$L^*=L^*_a$	a^*_a	b^*_a	$C^*_{ab,a}$	$h^*_{ab,a}$
R	48.0	68.58	31.54	75.48	25
R25J	50.11	61.52	52.63	80.96	41
R50J	62.87	38.77	65.02	75.71	59
R75J	74.87	17.37	76.69	78.63	77
J	86.19	-2.8	87.69	87.73	92
J25G	84.01	-18.73	82.6	84.7	103
J50G	71.17	-35.83	64.13	73.46	119
J75G	56.99	-54.71	43.72	70.05	141
G	52.8	-54.82	15.26	56.92	164
G25B	54.69	-46.87	-4.31	47.08	185
G50B	57.25	-36.1	-30.82	47.48	220
G75B	49.61	-13.51	-44.85	46.85	253
B	41.78	1.1	-44.7	44.72	271
B25R	29.34	24.33	-44.47	50.7	299
B50R	40.78	60.78	-20.18	64.05	342
B75R	48.06	71.56	13.77	72.87	411

ZG620-7N, 9stufige Reihen für konstanten CIELAB Buntton 25/360 = 0.069 (links) Seite 47/60

BAM-Prüfvorlage ZG62; Farbmetrik-Systeme, Seite 47/60

Eingabe: $rgb / cmy0$ set($rgb/cmyk$)color

D65: 9 und 16stufige Farbreihen für 10 Bunttöne

ZG620-7N, 16stufige Reihen für konstanten CIELAB Buntton 25/360 = 0.069 (rechts) yn

Eingabe: $rgb / cmy0$ set($rgb/cmyk$)color

Ausgabe: $\rightarrow cmy0$ set($cmyk$)color

Eingabe: Farbmetrisches Offset-Reflektiv-System ORS18

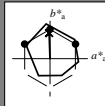
für Buntton $h^* = lab^*h = 92/360 = 0.255$

lab^*ich und lab^*nch

D65: Buntton J

LCH*Ma: 86 88 92

olv*Ma: 1.0 0.9 0.0



Dreiecks-Helligkeit i^*

%Umfang

$u^*_{rel} = 93$

%Regularität

$g^*_{H,rel} = 57$

$g^*_{C,rel} = 59$

ORS18; adaptierte CIELAB-Daten

	$L^*=L^*_a$	a^*_a	b^*_a	$C^*_{ab,a}$	$h^*_{ab,a}$
O _{Ma}	47.94	65.39	50.52	82.63	38
Y _{Ma}	90.37	-10.26	91.75	92.32	96
L _{Ma}	50.9	-62.83	34.96	71.91	151
C _{Ma}	58.62	-30.34	-45.01	54.3	236
V _{Ma}	25.72	31.1	-44.4	54.22	305
M _{Ma}	48.13	75.28	-8.36	75.74	354
N _{Ma}	18.01	0.0	0.0	0	0
W _{Ma}	95.41	0.0	0.0	0.0	0
R _{CIE}	39.92	58.66	26.98	64.57	25
J _{CIE}	81.26	-2.16	67.76	67.79	92
G _{CIE}	52.23	-42.25	11.76	43.87	164
B _{CIE}	30.57	1.15	-46.84	46.86	271

Ausgabe: Farbmetrisches Offset-Reflektiv-System ORS18

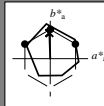
für Buntton $h^* = lab^*h = 92/360 = 0.255$

lab^*ich und lab^*nch

D65: Buntton J

LCH*Ma: 86 88 92

olv*Ma: 1.0 0.9 0.0



Dreiecks-Helligkeit i^*

%Umfang

$u^*_{rel} = 93$

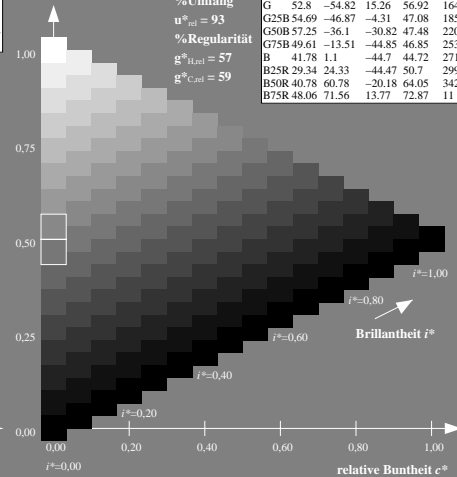
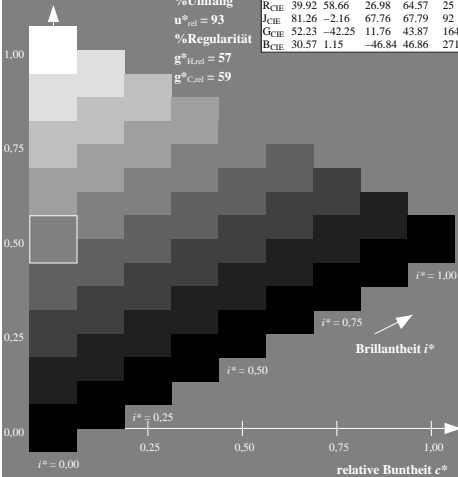
%Regularität

$g^*_{H,rel} = 57$

$g^*_{C,rel} = 59$

ORS18; adaptierte CIELAB-Daten

	$L^*=L^*_a$	a^*_a	b^*_a	$C^*_{ab,a}$	$h^*_{ab,a}$
R	48.0	68.58	31.54	75.48	25
R25J	50.11	61.52	52.63	80.96	41
R50J	62.87	38.77	65.02	75.71	59
R75J	74.87	17.37	76.69	78.63	77
J	86.19	-2.8	87.69	87.73	92
J25G	84.01	-18.73	82.6	84.7	103
J50G	71.17	-35.83	64.13	73.46	119
J75G	56.99	-54.71	43.72	70.05	141
G	52.8	-54.82	15.26	56.92	164
G25B	54.69	-46.87	-4.31	47.08	185
G50B	57.25	-36.1	-30.82	47.48	220
G75B	49.61	-13.51	-44.85	46.85	253
B	41.78	1.1	-44.7	44.72	271
B25R	29.34	24.33	-44.47	50.7	299
B50R	40.78	60.78	-20.18	64.05	342
B75R	48.06	71.56	13.77	72.87	411



ZG620-7N, 9stufige Reihen für konstanten CIELAB Buntton 92/360 = 0.255 (links) Seite 48/60

BAM-Prüfvorlage ZG62; Farbmetrik-Systeme, Seite 48/60 Eingabe: $rgb / cmy0$ set($rgb/cmyk$)color

D65: 9 und 16stufige Farbreihen für 10 Bunttöne

ZG620-7N, 16stufige Reihen für konstanten CIELAB Buntton 92/360 = 0.255 (rechts) yn

Ausgabe: $\rightarrow cmy0$ set($cmyk$)color

Siehe ähnliche Dateien: <http://www.ps.bam.de/ZG62/>; <http://www.ps.bam.de/ZG62/HTM>
Technische Information: <http://www.ps.bam.de> Version 2.1, 10-1.1

BAM-Registrierung: 20071001-ZG62/L62G00N1.PS/.TXT
Anwendung für Beurteilung und Messung von Drucker- oder Monitorsystemen

BAM-Material-Code=na4a

Eingabe: Farbmetrisches Offset-Reflektiv-System ORS18

für Buntton $h^* = lab^*h = 164/360 = 0.457$

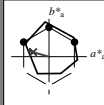
lab^*tch und lab^*nch

D65: Buntton G

LCH*Ma: 53 57 164

olv*Ma: 0.0 1.0 0.25

Dreiecks-Helligkeit t^*



%Umfang

$u^*_{rel} = 93$

%Regularität

$g^*_{H,rel} = 57$

$g^*_{C,rel} = 59$

ORS18; adaptierte CIELAB-Daten

	$L^*=L^*_a$	a^*_a	b^*_a	$C^*_{ab,a}$	$h^*_{ab,a}$
O _{Ma}	47.94	65.39	50.52	82.63	38
Y _{Ma}	90.37	-10.26	91.75	92.32	96
L _{Ma}	50.9	-62.83	34.96	71.91	151
C _{Ma}	58.62	-30.34	-45.01	54.3	236
V _{Ma}	25.72	31.1	-44.4	54.22	305
M _{Ma}	48.13	75.28	-8.36	75.74	354
N _{Ma}	18.01	0.0	0.0	0	0
W _{Ma}	95.41	0.0	0.0	0.0	0
R _{CIE}	39.92	58.66	26.98	64.57	25
J _{CIE}	81.26	-2.16	67.76	67.79	92
G _{CIE}	52.23	-42.25	11.76	43.87	164
B _{CIE}	30.57	1.15	-46.84	46.86	271

Ausgabe: Farbmetrisches Offset-Reflektiv-System ORS18

für Buntton $h^* = lab^*h = 164/360 = 0.457$

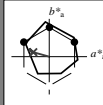
lab^*tch und lab^*nch

D65: Buntton G

LCH*Ma: 53 57 164

olv*Ma: 0.0 1.0 0.25

Dreiecks-Helligkeit t^*



%Umfang

$u^*_{rel} = 93$

%Regularität

$g^*_{H,rel} = 57$

$g^*_{C,rel} = 59$

ORS18; adaptierte CIELAB-Daten

	$L^*=L^*_a$	a^*_a	b^*_a	$C^*_{ab,a}$	$h^*_{ab,a}$
R	48.0	68.58	31.54	75.48	25
R25J	50.11	61.52	52.63	80.96	41
R50J	62.87	38.77	65.02	75.71	59
R75J	74.87	17.37	76.69	78.63	77
J	86.19	-2.8	87.69	87.73	92
J25G	84.01	-18.73	82.6	84.7	103
J50G	71.17	-35.83	64.13	73.46	119
J75G	56.99	-54.71	43.72	70.05	141
G	52.8	-54.82	15.26	56.92	164
G25B	54.69	-46.87	-4.31	47.08	185
G50B	57.25	-36.1	-30.82	47.48	220
G75B	49.61	-13.51	-44.85	46.85	253
B	41.78	1.1	-44.7	44.72	271
B25R	29.34	24.33	-44.47	50.7	299
B50R	40.78	60.78	-20.18	64.05	342
B75R	48.06	71.56	13.77	72.87	411

ZG620-7N, 9stufige Reihen für konstanten CIELAB Buntton 164/360 = 0.457 (links) Seite 49/60

BAM-Prüfvorlage ZG62; Farbmetrik-Systeme, Seite 49/60
Eingabe: $rgb / cmy0$ set($rgb/cmyk$)color
D65: 9 und 16stufige Farbreihen für 10 Bunttöne

ZG620-7N, 16stufige Reihen für konstanten CIELAB Buntton 164/360 = 0.457 (rechts) yn

Ausgabe: $\rightarrow cmy0$ set($cmyk$)color

Eingabe: Farbmetrisches Offset-Reflektiv-System ORS18

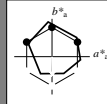
für Buntton $h^* = lab^*h = 271/360 = 0.754$

lab^*tch und lab^*nch

D65: Buntton B

LCH*Ma: 42 45 271

olv*Ma: 0.0 0.49 1.0



Dreiecks-Helligkeit t^*

%Umfang

$u^*_{rel} = 93$

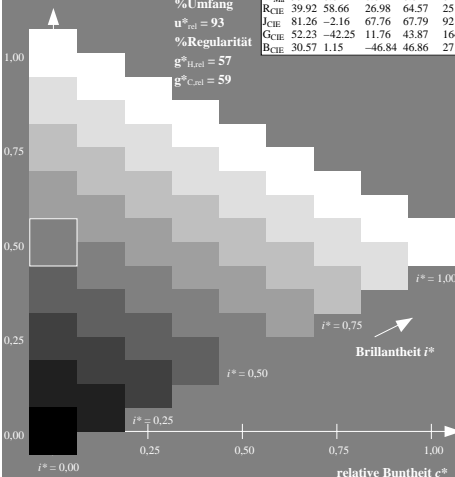
%Regularität

$g^*_{H,rel} = 57$

$g^*_{C,rel} = 59$

ORS18; adaptierte CIELAB-Daten

	$L^*=L^*_a$	a^*_a	b^*_a	$C^*_{ab,a}$	$h^*_{ab,a}$
O _{Ma}	47.94	65.39	50.52	82.63	38
Y _{Ma}	90.37	-10.26	91.75	92.32	96
L _{Ma}	50.9	-62.83	34.96	71.91	151
C _{Ma}	58.62	-30.34	-45.01	54.3	236
V _{Ma}	25.72	31.1	-44.4	54.22	305
M _{Ma}	48.13	75.28	-8.36	75.74	354
N _{Ma}	18.01	0.0	0.0	0.0	0
W _{Ma}	95.41	0.0	0.0	0.0	0
R _{CIE}	39.92	58.66	26.98	64.57	25
J _{CIE}	81.26	-2.16	67.76	67.79	92
G _{CIE}	52.23	-42.25	11.76	43.87	164
B _{CIE}	30.57	1.15	-46.84	46.86	271



Brillantheit i^*

Ausgabe: Farbmetrisches Offset-Reflektiv-System ORS18

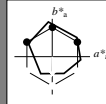
für Buntton $h^* = lab^*h = 271/360 = 0.754$

lab^*tch und lab^*nch

D65: Buntton B

LCH*Ma: 42 45 271

olv*Ma: 0.0 0.49 1.0



Dreiecks-Helligkeit t^*

%Umfang

$u^*_{rel} = 93$

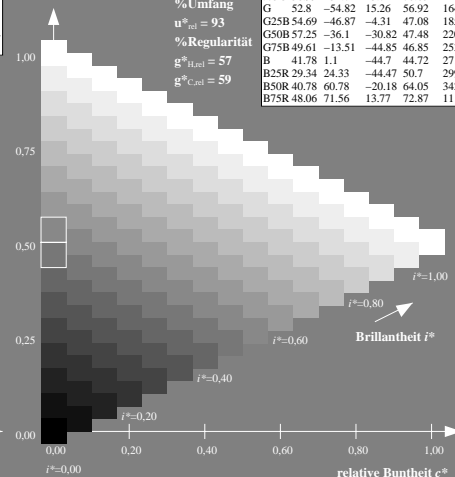
%Regularität

$g^*_{H,rel} = 57$

$g^*_{C,rel} = 59$

ORS18; adaptierte CIELAB-Daten

	$L^*=L^*_a$	a^*_a	b^*_a	$C^*_{ab,a}$	$h^*_{ab,a}$
R	48.0	68.58	31.54	75.48	25
R25J	50.11	61.52	52.63	80.96	41
R50J	62.87	38.77	65.02	75.71	59
R75J	74.87	17.37	76.69	78.63	77
J	86.19	-2.8	87.69	87.73	92
J25G	84.01	-18.73	82.6	84.7	103
J50G	71.17	-35.83	64.13	73.46	119
J75G	56.99	-54.71	43.72	70.05	141
G	52.8	-54.82	15.26	56.92	164
G25B	54.69	-46.87	-4.31	47.08	185
G50B	57.25	-36.1	-30.82	47.48	220
G75B	49.61	-13.51	-44.85	46.85	253
B	41.78	1.1	-44.7	44.72	271
B25R	29.34	24.33	-44.47	50.7	299
B50R	40.78	60.78	-20.18	64.05	342
B75R	48.06	71.56	13.77	72.87	411



Brillantheit i^*

ZG620-7N, 9stufige Reihen für konstanten CIELAB Buntton 271/360 = 0.754 (links) Seite 50/60

BAM-Prüfvorlage ZG62; Farbmetrik-Systeme, Seite 50/60

D65: 9 und 16stufige Farbreihen für 10 Bunttöne

ZG620-7N, 16stufige Reihen für konstanten CIELAB Buntton 271/360 = 0.754 (rechts) yn

Eingabe: $rgb / cmy0$ set($rgb/cmyk/color$)

Ausgabe: $\rightarrow cmy0$ set($cmyk/color$)

